

МИНИСТЕРСТВО ГЕОЛОГИИ СССР  
СЕВЕРО-ВОСТОЧНОЕ ПРОИЗВОДСТВЕННОЕ ГЕОЛОГИЧЕСКОЕ  
ОБЪЕДИНЕНИЕ

Уч. № 0:

ГОСУДАРСТВЕННАЯ  
ГЕОЛОГИЧЕСКАЯ  
КАРТА СССР

МАСШТАБА 1:200 000

СЕРИЯ АНАДЫРСКАЯ

Листы: Q-59-X (верховье р.Анадырь),  
Q-59-XI, XII (г.Куйвикэй)

Объяснительная записка

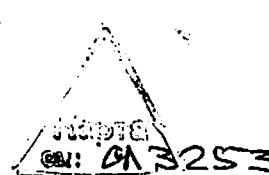
Составители: Б.В.Вяткин, В.И.Чубаров  
Редактор Г.М.Сосунов.

Утверждено Научно-редакционным советом Мингео СССР при ВСЕГЕИ

9 июня 1983 г., протокол № 18



14202



## О Г Л А В Л Е Н И Е

	Стр.
Введение . . . . .	5
Геологическая изученность . . . . .	6
Стратиграфия . . . . .	9
Инtrузивные образования . . . . .	53
Тектоника . . . . .	76
Геоморфология . . . . .	88
Полезные ископаемые . . . . .	93
Подземные воды . . . . .	100
Оценка перспектив района . . . . .	102
Литература . . . . .	106
Приложение . . . . .	110

## ВВЕДЕНИЕ

Рассматриваемая территория находится в Анадырском и Чачинском районах Чукотского автономного округа Магаданской области РСФСР. Большая ее часть расположена в пределах Анадырского плоскогорья, где абсолютные высоты достигают 600–900 м, а относительные высоты – 300–400 м. На юго-востоке обособляется равнинный участок Бельской впадины, расположенный на высотах 100–200 м.

Реки принадлежат бассейну р.Анадырь. Наиболее крупные водотоки – Прудкувеем, Энываам, Анадырь. Уклоны их в горной части составляют 0,001–0,0018, в равнинной – 0,0005–0,001. Основной паводок проходит в июне. К середине лета уровень воды падает на 2–3 м. Средняя скорость течения 1,6 м/с. По р.Прудкувеем возможно передвижение на моторных лодках, по рекам Энываам и Анадырь – сплав на резиновых лодках. В межень все водотоки, за исключением р.Прудкувеем, переходны в брод. Бельская впадина изобилует озерами.

Климат района резко континентальный с продолжительной (7,5 месяцев) очень морозной зимой /16/ и коротким холодным летом (продолжительность безморозного периода не более 75 дней). Среднемесячная температура января  $-34^{\circ}$ , минимальная температура  $-53^{\circ}$ . Лето пасмурное и дождливое. Среднемесячная температура июля  $+12^{\circ}$ , максимальная достигает  $+30^{\circ}$ , среднегодовая температура  $-14^{\circ}$ . Годовая сумма осадков 300–400 мм, большая их часть выпадает летом. Снежный покров повсеместно лежится в середине октября, сходит – в середине марта, высота его составляет 70–80 см. Зимой преобладают северо-восточные ветры (до 25 м/с). Ледостав на реках происходит в середине октября, вскрытие – в начале июня. Район располагается в зоне вечной мерзлоты. Мощность мерзлых пород – 150–200 м. Глубина оттаяки грунта в летний период составляет 0,2–2 м.

Для района характерно сочетание растительности горных пустынь, осоково-пушицевой кочкарной тундры, пойменных чозениево-тополевых лесов и прирусловых зарослей кустарников. Горные пустыни занимают верхние части склонов и водоразделы Анадырского плоскогорья. На пологих нижних частях развита осоково-пушицевая кочкарная тундра. Чозениево-тополевые леса произрастают вдоль рек Энзываам и Брумкувеем в восточной части района. Они пригодны для получения топлива. Средняя высота деревьев 15 м, диаметр стволов - 0,2 м. Территория Бельской впадины занята растительностью осоково-пушицевой кочкарной тундры и полигональных болот. Ивицовые прирусловые заросли кустарников развиты повсеместно вдоль ручьев и рек.

В экономическом отношении район не освоен и используется только для выпаса оленей. Оседлое население и дороги отсутствуют. Ближайший населенный пункт - метеостанция, расположенная в 30 км выше описываемой территории на берегу р.Энзываам. В районе возможно передвижение гусеничного транспорта, летом - использование вьючного. Обнаженность в пределах Анадырского плоскогорья удовлетворительная. Водоразделы и склоны покрыты элювиально-делювиальными образованиями, коренные обнажения редки и наблюдаются в подмытых бортах речных долин. Благоприятным местом для изучения геологического строения территории является каньонообразный отрезок долины р.Энзываам в среднем ее течении. Район доступен повсеместно. Наиболее благоприятные сроки проведения геологических исследований и поисковых работ - с середины июня до конца сентября.

## ГЕОЛОГИЧЕСКАЯ ИЗУЧЕННОСТЬ

Первые сведения о геологическом строении района получены в 1912-1913 гг. П.И.Полевым, отметившим широкое развитие эффузивов в бассейнах рек Анадырь и Энзываам.

В 1957-1958 гг. были произведены геологосъемочные работы в масштабе 1:500 000 в восточной части района В.Ф.Карпичевым /26,27/, в западной - В.Ф.Белым /22/, разработавшими первые схемы стратиграфии и магматизма для обширной территории между речьями Анадырь, Ания и Раучана. Стратиграфические построения В.Ф.Белого /22/ приняты за основу при последующих геологических съемках. В пределах площади листов им закартированы углены-ская, калензываамская, пыкараамская, хоэквумская, эргываамская и энзываамская свиты. Интрузивные образования разделены

на гранит-порфирь, диориты, габбро, гранодиорит-порфирь и субвулканические тела и дайки различного возраста. В ряде мест им же выявлены гидротермально-измененные породы и обнаружены единичные зерна золота в шлиховых пробах из аллювия р.Кайэнзываам. В.Ф.Карпичевым закартированы различные по составу позднемеловые и третичные вулканиты и четвертичные отложения. В шлихах из аллювия верховьев рек Куйвивеем и Куйвыэрэтвеем обнаружены единичные зерна золота.

В 1960 г. И.П.Васецким составлен лист Q-59 Государственной геологической карты СССР масштаба 1:1 000 000 (редактор Б.А. Снатков). На рассматриваемой территории им показаны сенон-датская эргываамская и палеогеновая энзываамская свиты, а также нерасчлененные ранне- и позднемеловые вулканогенные образования. Среди интрузивных пород выделены позднемеловые гранит-порфирь и гранодиориты /5/.

В 1965 г. в бассейне р.Кайэнзываам (Q-59-X,XI) А.П.Преловским /28/ и в 1968 г. в бассейнах рек Энзываам и Брумкувеем (Q-59-XII) В.Г.Желтовским /25/ при геологосъемочных работах в масштабе 1:200 000 в вулканитах пыкараамской и эргываамской свит обнаружены кварцевые жилы с золото-серебряной минерализацией, что позволило им положительно оценить перспективы территории на золото.

В 1972-1977 гг. была проведена групповая геологическая съемка масштаба 1:200 000 и геологическое доизучение ранее занятых в этом масштабе площадей под руководством В.И.Чубарова при участии В.И.Кривоносова, С.С.Жукова, Б.В.Вяткина и др. /32/.

Геофизические работы были начаты в 1961 г. проведением аэромагнитной съемки масштаба 1:200 000 под руководством А.А.Ворощилова /23/, в результате которой выявлены резко различные по характеристике аномального магнитного поля области, отражающие продольную тектоническую зональность Охотско-Чукотского вулканогенного пояса (ОЧВП) в целом. В 1974 г. Р.А.Скориковы /30/ и в 1975 г. В.М.Амерхановым /21/ выполнена аэромагнитная съемка масштаба 1:50 000. По ее данным выделены отдельные вулканоструктуры и ряд интрузивных и субвулканических тел.

В 1970 г. проведена гравиметрическая съемка масштаба 1:1 000 000 под руководством Б.А.Редькина /29/, а в 1978-1979 гг. южная часть территории листа Q-59-XI,XII была охвачена гравиметрической съемкой масштаба 1:200 000 под руководством В.А.Бобровникова /23/. В результате этих работ выделены аномальные области с различным характером гравитационного поля, отвечающие основным тектоническим элементам ОЧВП.

В 1972 г. в бассейне среднего течения р. Энзываам В.Ф. Белый провел тематические исследования, в результате которых он сделал вывод об альб-сеноманском возрасте вулканитов ОЧВП /2/. Ранее им высказывалось мнение, что их формирование происходило с альба до палеогена /1,22/. Последние представления В.Ф. Белого нашли отражение в решениях 2-го Магаданского межведомственного регионального стратиграфического совещания по докембрию и фанерозое Северо-Востока СССР /15/.

В 1981 г. Н.И. Филатовой и др. /31/ составлена космопотекологическая карта масштаба 1:1 000 000, на которой нашли отражение основные тектонические структуры района.

В 1980 г. утверждена НРС Мингео СССР при ВСЕГЕИ новая сводная легенда к Анадырской серии листов Государственной геологической карты СССР масштаба 1:200 000.

Листы Q-59-X, Q-59-XI, XII геологической карты составлены Б.В. Вяткиным и В.И. Чубаровым в 1980–1982 гг. по материалам полистной и групповой геологической съемки масштаба 1:200 000 с учетом результатов гравиметрической съемки масштаба 1:1 000 000, аэромагнитной съемки масштабов 1:200 000 и 1:50 000, дешифрирования аэрофотоснимков масштаба 1:23 000 и 1:30 000, радиолокационных снимков масштаба 1:180 000, народнохозяйственных космоснимков мелкого и среднего масштабов и космоснимков ИСЗ серии "Метеор".

Растительные остатки определены А.Ф. Еримовой, Г.Г. Филипповой (Центральная комплексная тематическая экспедиция СВ ПГО), В.Ф. Белым (Анадырская экспедиция СВ ПГО). Палинологические прогибы исследовались А.Г. Захаровой, Н.Б. Верховской (Анадырская экспедиция СВ ПГО), И.В. Кистеровой (Центральная лаборатория СВ ПГО), Г.А. Баскович (ЦКТЭ СВ ПГО). Химические анализы произведены аналитиками ЦП СВ ПГО: П.В. Артеменко, В.И. Нетребко, В.Ф. Игнатовой /22/, Н.И. Морозовой /26/, И.В. Кондрашиной /28/, Г.П. Кораблевой, З.И. Карпичевой, Х.Х. Базиевым /25/, Х.Х. Базиевым /32, 1973 г./, Т.П. Поповой, В.К. Козловым /32, 1974 г./, М.В. Кондрашиной, С.Г. Савченко /32, 1975 г./, Т.П. Поповой, З.М. Лешиной /32, 1977 г./. Радиологические определения возраста горных пород произведены Д.Д. Скобелевым и В.И. Кисенко (ЦП Западно-Сибирского ПГО), И.А. Загрузиной (Северо-Восточный комплексный научно-исследовательский институт ДВНЦ АН СССР).

На Государственной геологической карте масштаба 1:200 000 в отличие от изданной в 1960 г. Государственной геологической карты масштаба 1:1 000 000 вместо нерасчлененных ранне- и позднемеловых образований показаны угатынская, пыкараамская, ха-

леньмуваамская и коэквуньская свиты, датированные альб-сеноманом; выделены сеноманская эмунэрэтская и сенонская вапанайская свиты; эргываамская свита отнесена к сеноману, энзываамская – к сенону, верхняя часть энзываамской – к палеогену. Кроме того, более детально расчленены четвертичные отложения, интрузивные и субвулканические образования, показаны проявление, пункты минерализации золота и серебра, а также шлиховые ореолы золота и киновари.

С соседними с севера листами Государственной геологической карты СССР масштаба 1:200 000 имеются следующие неувязки. Несласно легенде к Анадырской серии листов вместо мильгувеемской свиты, показанной вдоль южной границы листов Q-59-IU /14/ Q-59-U, UI /9/, на листах Q-59-X, Q-59-XI, XII изображены коэквуньская, эмунэрэтская и эргываамская свиты; вулканиты отнесенные на листе Q-59-U, UI /9/ к палеогену, на листе Q-59-XI, XII включены в состав верхней подсвиты эмунэрэтской свиты, так как на этой территории они перекрываются эргываамской свитой /32/; нерасчлененная на смежных с севера листах /9, 14/ пыкараамская свита на рассматриваемых листах изображена расчлененной на нижнюю и верхнюю подсвиты; угатынская свита, отнесенная на листе Q-59-IU /14/ к раннему мелу, и пыкараамская свита, датированная на листах Q-59-IU /14/ и Q-59-U, UI /9/ поздним мелом, на листах Q-59-X, Q-59-XI, XII показаны ранне-позднемеловыми (альб-сеноманскими) согласно решениям 2-го Магаданского межведомственного регионального стратиграфического совещания /15/.

В соответствии со сводной легендой к Анадырской серии листов и данными палинологического анализа выделенные на листах Q-59-U, UI /9/ и Q-60-U, U, II /20/ нерасчлененные нижне-среднечетвертичные /9/ и среднечетвертичные /20/ ледниковые и водно-ледниковые отложения на листе Q-59-XI, XII отнесены к среднечетвертичному самаровскому времени, как это отражено на листе Q-59-XII, XII /6/; нерасчлененные верхнечетвертичные аллювиальные отложения, показанные на листах Q-59-IU /14/ и Q-59-U, UI /9/, на листах Q-59-X, Q-59-XI, XII датированы верхнечетвертичным казанцевским временем. Современные делювиально-солифлюкционные отложения, выделенные на листе Q-59-U /9/, не получили отражения на листе Q-59-XI из-за их малой мощности.

## СТРАТИГРАФИЯ

Стратифицированные образования на рассматриваемой территории представлены разнообразными по составу субазральными вулка-

нитами мелового и палеогенового возраста с рыхлыми четвертичными отложениями. Нижнюю часть разреза составляют последовательно залегающие туфы кислого состава угатынской, эфузивы среднего и кислого состава халеньмуваамской, игнимбриты кислого состава пыкарваамской, туфы и эфузивы основного и среднего состава коэкуньюской свит. Они широко распространены севернее в стратотипических районах, где более полно охарактеризованы находками ископаемых растений /2/ чаунского флористического комплекса, очень условно сопоставляемого с арманским /15/, возрастной диапазон которого определен как поздний альб - ранний сеноман.

Выше залегают туфы, игнимбриты кислого и эфузивы основного состава эмунэрэтской и игнимбриты кислого состава эргываамской свит. Стратотипы эмунэрэтской и эргываамской свит находятся в бассейнах рек Эммываам (среднее течение) и Эргываам (Q-59-X,XI). В эмунэрэтской свите в бассейне среднего течения р.Эммываам и в эргываамской свите севернее описываемой территории найдены отпечатки растений, условно отнесенных к аркагалинскому комплексу, на основании чего возраст свит принят сеноманским /15/. Однако некоторыми геологами, проводившими дополнительные сборы полезных ископаемых растительных остатков из вулканитов эмунэретской свиты в бассейне среднего течения р.Эммываам, высказывается мнение о более молодом - сенонском их возрасте /19/.

Эфузивы среднего и игнимбриты кислого состава вапанайской свиты прослеживаются со смежной с юга территории, где в стратотипическом районе установлено залегание их на коньякских осадочных отложениях. Возраст свиты принят сенонским.

Выше залегают эфузивы основного и среднего состава эммываамской свиты, стратотипический район которой находится на правобережье среднего течения р.Эммываам (Q-59-XI). В эммываамской свите на смежной с юга территории /6/ найдены остатки ископаемых растений (комплекс наиболее близок к тыльпэгыргынайско-му турона - сантону). С учетом стратиграфического положения свит возраст ее принят сенонским.

Нерасчлененные образования палеогена (эфузивы основного состава) выделены на правобережье р.Эммываам /32/ в самостоятельный толщу, возраст которой принят условно по ее залеганию на вулканитах верхнего мела. На территории, расположенной к юго-западу от рассматриваемой, палеогеновые эфузивы перекрывают интрузивные образования позднего мела. /18/.

Радиологические определения возраста изверженных пород, приведенные в табл. I, указывают на середину мела и ранний мел.

Таблица I

Результаты радиологических определений возраста горных пород

Номер пробы	Место взятия пробы	Порода	Абсолютный возраст породы, млн. лет	K, %	$A_{40} \times 10^{-9} \text{ г/г}$	$\frac{A_{40}}{K_{40}}$	Примечание
098	Правобережье р.Правый Угатын	Базальт-коэкуньюской свиты	97,7 98,9	0,988	6,80 6,87	0,00564 0,00571	/32/, по вал.составу
087	Правобережье р.Мычарэн-нэ	То же	121,0 124,9 140,6 141,7	1,35 0,605	11,6 12,0 6,07 6,13	0,00703 0,00727 0,00823 0,00830	/32/, то же
574	Правобережье р.Ариэваам	Игнимбрит риолита эргываамской свиты	78,5	3,36	19,1	0,00467	/28/, по вал.составу
0105	Левобережье р.Анадырь	Альб-сеноманский субвулканический андезит	116,2 109,1	2,29	18,8 17,6	0,00675 0,00632	/32/, то же

В большинстве случаев они не совпадают с данными о последовательности их становления. Результаты анализа 098 вполне соответствуют геологическим представлениям.

Рассмотренные ниже разрезы стратифицированных образований составлены в основном по делению с учетом данных дешифрирования о характере залегания покровов.

#### МЕЛОВАЯ СИСТЕМА

##### Нижний - верхний отделы

Угаткинская свита ( $K_1-2^{ch}$ ), представленная туфами дацитов, обнажается из-под пыкараамской и каленъмуваамской свит в бассейне р.Прав.Угаткин (Q-59-X). Подошва угаткинской свиты не вскрыта. На левобережье р.Прав.Угаткин, где покровы моноклинально погружаются к юго-востоку под углом  $5^0$ , по делению и эловию составлен следующий ее разрез:<sup>x/</sup>

1. Серые пепловые туфы дацитов . . . . .	80 м
2. Зеленые литокристалловитрокластические туфы дацитов . . . . .	50 "
3. Зеленые кристалловитрокластические туфы дацитов . . . . .	30 "
4. Зеленые литокристалловитрокластические туфы дацитов . . . . .	140"
Мощность по разрезу	300 м.

Рассматриваемые вулканиты отнесены к угаткинской свите на основании их стратиграфического положения и сходства по вещественному составу со стратотипом.

Туфы дацитов состоят из пепловой основной массы 60-95%, обломков кристаллов (5-40%) и пород. Литокласти (до 20%) размером от 1 мм до 1 см представлены пемзой, игнимбритами дацитов, девитрифицированными вулканическими стеклами, андезитами, базальтами, изредка - песчаниками и алевролитами; кристаллокластический материал - андезитом № 35-40, роговой обманкой, биотитом. Стекло пепловой основной массы превращено в микрофельзитовый агрегат, часто замещено мелкочешуйчатым хлоритом.

Каленъмуваамская свита ( $K_1-2^{ch}$ ), представленная темно-серыми андезитами, андезито-дацитами и дацитами, согласно залегает на угаткинских туфах и перекрываеться пыкараамскими игнимбритами. Она прослеживается со смежной с севера территории, где хорошо изучена /14/ и в описываемом районе распространена только у северной границы листа Q-59-X

<sup>x/</sup> Здесь и далее описание разрезов дочетвертичных отложений приведено снизу вверх.

на площади около 1 км<sup>2</sup>. Здесь максимальная мощность ее 100 м, в южном направлении свита выклинивается.

Пыкараамская свита распространена в междуречье Прав.Угаткин - Энмываам, в Останцовских горах, на левобережье р.Энмываам, в бассейне р.Кайвырываам (Q-59-X), на левобережье р.Кайэнмываам, в верховье р.Мечекрынэтвеем (Q-59-XI). Она представлена в основном игнимбритами дацитов и риолитов. Пыкараамская свита согласно залегает на угаткинской и каленъмуваамской свитах и перекрывается козкуньской. В Останцовских горах и на правобережье р.Прав.Угаткин по данным дешифрирования аэрофотоснимков мощность покровов игнимбритов составляет 10-20м, иногда до 40 м. По особенностям вещественного состава свита разделена на две подсвиты: нижнюю и верхнюю.

Нижняя подсвита ( $K_1-2 \frac{ch}{ch}$ ) сложена преимущественно игнимбритами дацитов. Подчиненное значение имеют игнимбриты риолитов, андезит-дацитов, туфы дацитов и риолитов. Эти образования распространены на правобережье р.Прав.Угаткин и в Останцовских горах. На правобережье р.Прав.Угаткин, где подсвита залегает на угаткинских туфах, по делению изучен следующий ее разрез (покровы моноклинально погружаются к юго-востоку под углом  $5-8^0$ ):

1. Сиреневые порфирокластические игнимбриты дацитов . . . . .	100 м
2. Коричневые порфирокластические игнимбриты дацитов . . . . .	40 "
3. Серые порфирокластические игнимбриты риолитов с горизонтом (20 м) коричневых порфирокластических игнимбритов риолитов в средней части . . . . .	150 "
4. Зеленые порфирокластические игнимбриты дацитов . . . . .	70 "
5. Коричневые порфирокластические игнимбриты риолитов . . . . .	20 "
6. Смоляно-черные гиалоигнимбриты дацитов . . . . .	125 "
7. Чередующиеся (10-15 м) розовые кристалловитрокластические туфы риолитов и смоляно-черные гиалоигнимбриты дацитов . . . . .	70 "

Мощность по разрезу 575 м.

Выше залегают игнимбриты риолитов верхней подсвиты пыкараамской свиты.

В Останцовских горах нижняя подсвита (основание ее здесь не наблюдалось) сложена коричневыми и зелеными порфирокластическими игнимбритами дацитов, расслоенными редкими покровами корич-

невых порфирокластических игнимбритов андезит-дацитов, зеленово-серых кристалловитрокластических и литокристалловитрокластических туфов дацитов мощностью до 10 м. Мощность нижней подсвиты здесь 825 м.

Рассматриваемые породы отнесены к нижней подсвите пыкараамской свиты на основании их стратиграфического положения и сходства по вещественному составу со стратотипом.

*Верхняя подсвита (К<sub>1-2</sub> %)* сложена преимущественно игнимбритами риолитов, расслоенными редкими покровами игнимбритов риодаситов и дацитов. В восточной части Останцовских гор по элювию и делювию составлен следующий разрез вулканических накоплений подсвиты (покровы под углом 5-6° наклонены к юго-востоку):

1. Коричневые порфирокластические игнимбриты риолитов, расслоенные в верхней части редкими маломощными (10-15 м) покровами зеленовато-серых порфирокластических игнимбритов риодаситов и дацитов . . . . .	100 м
2. Зеленовато-серые порфирокластические игнимбриты риолитов . . . . .	20 "
3. Коричневые порфирокластические игнимбриты риолитов . . . . .	50 "
4. Серые порфирокластические игнимбриты риолитов . . . . .	160 "
Мощность по разрезу	330 м.

В западной части Останцовских гор и в междуречье Прав.Угатына - Энзываама верхняя подсвита имеет аналогичное строение, мощность ее 150-200 м. В бассейне р.Кайвырываам и в междуречье Анадыря - Кайэнзывама (подсвита сложена однообразными зелеными порфирокластическими игнимбритами риолитов видимой мощностью около 300 м. Подошва ее здесь не вскрыта.

Рассматриваемые вулканиты отнесены к верхней подсвите пыкараамской свиты на основании их стратиграфического положения и сходства по вещественному составу со стратотипом.

Игнимбриты дацитов - порфирокластические породы с микроигнимбритовой структурой основной массы. Текстура псевдофлюидально-очковая. Кристаллокластическая часть (40-50%) представлена андезином № 35-40 (35-45%), биотитом, роговой обманкой, авгитом (размер обломков кристаллов до 2-3 мм). Стекло основной массы превращено в микрофельзитовый агрегат; изредка наблюдается сферолитовая структура. Химический состав приведен в табл.2 (анализы I, 2, 10). В гиалонигнимбритах дацитов отмечается высокое содержание изотропного стекла (85-90%), обусловливающего смоляно-черный цвет породы. Химический состав гиалонигнимбритов также приведен в табл.2 (ан.3).

Игнимбриты риолитов - порфирокластические породы с микроигнимбритовой структурой основной массы. Текстура псевдофлюидально-очковая. Кристаллокластический материал (40-50%) представлен олигоклазом - андезитом № 25-30 (25-30%), кварцем (5-10%), биотитом, иногда роговой обманкой или калиевым полевым шпатом (размер зерен кварца достигает 5-6 мм, размер остальных минералов - 2-3 мм). Стекло основной массы превращено в микрофельзитовый агрегат (см.табл.2, анализы 5-7).

В игнимбритах риодаситов кристаллокластический материал представлен андезином № 30-35, кварцем (2-5%), биотитом, роговой обманкой и иногда авгитом (анализы 8, 9). В порфирокластических игнимбритах андезит-дацитов кристаллокластический материал представлен андезитом № 40-45, авгитом, гиперстеном, роговой обманкой (ан.4).

Туфы дацитов кристалловитрокластические и литокристалловитрокластические, состоят из пепловой основной массы (60-80%), обломков андезина № 35-40, роговой обманки, биотита, авгита (20-30%); литокласты (до 20%) размером 0, I-I см представлены игнимбритами дацитов и риолитов, вулканическими стеклами. Стекло основной массы превращено в микрофельзитовый агрегат, замещено мелкочешуйчатым хлоритом. Туфы риолитов кристалловитрокластические, состоят из олигоклаза - андезина № 25-35, кварца, биотита и пепловой основной массы, превращенной в микрофельзитовый агрегат.

Характерными особенностями пыкараамских игнимбритов являются часто обнаруживающаяся зеленая окраска и наличие крупных выделений кварца в риодаситовых и риолитовых разностях. По химическому составу игнимбриты близки вулканитам липарит-дацитовой (игнимбритовой) формации ОЧВП, характеризуются в большинстве случаев высоким содержанием извести и щелочных металлов с преобладанием K<sub>2</sub>O над Na<sub>2</sub>O/4/.

Коэзхуванская свита (К<sub>1-2</sub> %) распространена в западной части территории (Q-59-X), представлена базальтами, андезитами, андезит-базальтами, туфами андезитов и базальтов. Нижняя часть свиты мощностью до 450 м в основном сложена туфами андезитов, средняя (740 м) - преимущественно базальтами, верхняя - андезитами (80 м). Максимальная мощность свиты оценивается в 1370 м. Описываемые образования без видимого несогласия залегают на пыкараамской свите и перекрывают энзерэретской и эргываамской свитами. Разрез нижней части свиты изучен в междуречье Мынкаранэт - Мэчэрэнэт по делювию (покровы погружаются

Таблица 2

## Химический состав

Состав окислов	Пыкарвамская						
	Нижняя подсвита			Верхняя			
	Игнимбриты дацитов		Игнимбрит андезито- дацита	Игнимбриты риолитов			73
	0103-I	095		0102	080	080 <sup>a</sup>	
	I	2	3	4	5	6	7
SiO <sub>2</sub>	67,72	66,82	68,46	63,84	71,40	71,34	70,60
TiO <sub>2</sub>	0,46	0,51	0,23	0,39	0,28	0,29	0,25
Al <sub>2</sub> O <sub>3</sub>	15,03	15,00	13,84	15,83	14,76	14,72	11,90
Fe <sub>2</sub> O <sub>3</sub>	2,77	2,01	1,65	1,82	1,81	1,46	4,63
FeO	1,07	1,57	0,97	1,85	0,75	0,92	1,32
MnO	0,06	0,07	0,08	0,09	0,04	0,04	0,05
MgO	1,02	2,11	0,76	1,19	0,56	0,69	0,57
CaO	2,16	2,45	1,88	4,97	3,84	1,39	2,13
Na <sub>2</sub> O	3,36	3,26	3,68	1,83	3,84	3,38	3,24
K <sub>2</sub> O	3,82	3,32	3,98	1,96	3,62	4,37	4,09
H <sub>2</sub> O <sup>-</sup>	0,33	0,30	0,48	2,45	0,10	0,22	0,20
H <sub>2</sub> O <sup>+</sup>	Не опр.	Не опр.	3,74	3,47	Не опр.	1,13	0,67
P <sub>2</sub> O <sub>5</sub>	0,14	0,13	0,08	0,13	0,07	0,11	0,09
CO <sub>2</sub>	Не опр.	Не опр.	Не обн.	Не обн.	Не опр.	Не обн.	Не обн.
П.п.п.	2,13	2,66	4,30 <sup>x/</sup>	5,82 <sup>x/</sup>	1,52	1,23 <sup>x/</sup>	1,21 <sup>x/</sup>
Σ	100,07	100,21	99,83	99,82	102,59	100,06	99,94

<sup>x/</sup> Не входят в сумму.

## вулканогенных пород

свита			Коэкуньская свита				
подсвита		Игнимбрит дацита	Базальты		Туфы базальтов		
83	093	0104	098 <sup>a</sup>	082	078-I	439	
8	9	10	II	I2	I3	I4	
68,94	68,87	66,31	51,13	51,65	49,47	47,52	
0,22	0,26	0,32	0,95	0,92	0,97	0,95	
13,68	14,51	14,81	17,06	18,20	15,79	16,05	
1,28	1,14	1,42	3,27	3,50	4,86	3,76	
0,48	1,12	1,32	6,18	5,70	4,79	5,58	
0,01	0,06	0,07	0,17	0,18	0,15	0,17	
0,74	0,64	0,81	5,51	5,39	6,00	8,90	
2,62	2,00	4,10	9,15	9,24	8,67	8,54	
1,98	3,15	2,57	2,50	2,50	2,57	1,94	
3,90	3,96	1,86	0,90	0,72	1,06	1,09	
2,66	1,08	2,19	1,22	1,14	0,14	0,56	
3,14	3,07	3,66	1,85	1,08	Не опр.	3,26	
0,07	0,07	0,09	0,28	0,27	0,31	0,29	
Не обн.	Не обн.	Не обн.	Не обн.	Не обн.	Не обн.	I,10	
5,84 <sup>x/</sup>	4,09 <sup>x/</sup>	5,76 <sup>x/</sup>	2,23 <sup>x/</sup>	1,67 <sup>x/</sup>	5,10 <sup>x/</sup>	4,38 <sup>x/</sup>	
99,72	99,93	99,53	100,17	100,49	99,88	99,61	



14202

Продолжение табл.2

## Числовые характеристики

	I	2	3	4	5	6	7
a	12,9	12,0	14,2	7,4	13,3	13,4	12,8
c	2,6	3,0	2,3	6,5	2,9	1,6	1,4
b	7,1	9,0	3,9	8,2	4,7	5,7	7,2
s	77,3	76,1	79,6	78,0	79,0	79,2	78,6
a'	27,2	23,8	2,3	29,2	-	43,4	-
f'	48,4	36,5	63,7	44,5	47,0	36,7	71,3
m'	24,3	39,8	34,0	26,4	19,4	19,9	13,1
c'	-	-	-	-	33,6	-	15,7
n	57,2	59,9	58,4	58,7	61,7	54,0	54,6
t	0,5	0,6	0,3	0,5	0,3	0,3	0,3
φ	33,3	19,1	37,3	20,4	31,7	21,2	53,6
Q	26,2	25,4	28,6	34,8	28,5	29,9	30,3
a:c	4,9	4,0	6,1	1,1	4,5	8,1	9,1

по А.Н.Заварыцкому

8	9	10	II	12	13	14
10,4	12,8	8,9	7,2	6,9	7,7	6,2
3,3	2,5	5,3	8,4	9,4	7,4	8,3
4,9	5,1	5,7	22,4	21,1	24,1	27,8
81,4	79,6	80,1	62,0	62,6	60,8	57,8
40,7	37,3	27,7	-	-	-	-
32,9	41,4	46,9	41,5	42,8	39,2	33,0
26,4	21,4	25,4	43,9	45,5	45,0	57,3
-	-	-	14,7	11,7	15,8	9,8
43,5	54,7	67,7	80,8	84,1	78,7	73,0
0,2	0,3	0,4	1,4	1,3	1,5	1,3
23,2	19,2	22,5	13,1	14,9	18,4	12,2
38,7	30,9	37,3	1,2	2,1	-1,1	-5,0
3,1	5,2	1,7	0,8	0,7	1,0	0,7

Состав окислов	Козкуньская свита				Змунэ		
	Андезито-базальты			Туф андезита	Андезито-дациты		
	25212	096	109		084	01246	II223- 14
	15	16	17		18	19	20
							21
SiO <sub>2</sub>	55,81	54,83	53,64	57,22	63,23	63,56	63,87
TiO <sub>2</sub>	0,91	0,86	0,86	0,85	0,77	0,67	0,44
Al <sub>2</sub> O <sub>3</sub>	16,88	15,83	11,78	19,01	15,67	17,57	16,83
Fe <sub>2</sub> O <sub>3</sub>	2,45	2,86	9,42	2,62	1,80	2,19	2,75
FeO	5,17	5,85	4,10	3,81	2,66	2,32	1,27
MnO	0,17	0,13	0,14	0,11	0,14	0,13	0,07
MgO	4,79	5,76	5,70	1,88	2,07	1,04	1,49
CaO	7,16	8,36	8,09	4,27	4,20	3,63	3,48
Na <sub>2</sub> O	2,81	2,44	2,83	5,07	5,35	4,43	3,98
K <sub>2</sub> O	1,73	1,18	1,90	2,11	2,72	2,73	3,29
H <sub>2</sub> O <sup>-</sup>	0,51	0,28	0,95	0,72	0,48	0,06	0,44
H <sub>2</sub> O <sup>+</sup>	Не опр.	Не опр.	0,55	1,60	Не опр.	Не опр.	1,66
P <sub>2</sub> O <sub>5</sub>	0,18	0,26	0,35	0,34	0,13	0,25	0,15
CO <sub>2</sub>	Не опр.	Не опр.	Не обн.	Не обн.	Не опр.	Не опр.	Не обн.
П.п.п.	1,42	1,48	1,40	x/ 2,02	2,68	0,98	2,13
Σ	99,99	100,12	100,31	99,61	99,90	99,56	99,72

x/  
Не входят в сумму.

Ретокая свита							
Игнимбриты да- цитов		Игнимбриты риодицита		Туф риодицита		Игнимбриты риолитов	
27II0	27III <sup>a</sup>	99	10I23	10346	08I	91	
22	23	24	25	26	27	28	
65,45	68,27	69,71	69,68	70,31	71,60	71,90	
0,63	0,78	0,40	0,28	0,32	0,33	0,20	
16,81	15,41	15,53	13,71	14,99	14,47	14,78	
2,35	3,50	1,29	1,90	1,07	1,61	1,87	
1,15	1,08	0,94	0,43	1,32	0,71	0,30	
0,11	0,14	0,09	0,05	0,11	0,05	0,03	
1,06	0,70	0,57	0,99	0,69	0,58	0,24	
2,71	2,96	1,48	3,16	1,69	1,49	0,68	
3,83	4,32	4,36	1,94	3,96	3,81	3,66	
3,59	0,30	3,88	2,46	4,12	3,60	4,34	
0,24	0,97	0,71	1,85	0,09	0,33	0,68	
Не опр.	Не опр.	0,47	Не опр.	Не опр.	Не опр.	0,92	
0,12	0,27	0,14	0,09	0,14	0,08	0,04	
Не опр.	Не опр.	0,23	Не опр.	Не опр.	Не опр.	Не обн.	
1,64	1,76	x/ 1,34	5,28	0,83	1,36	1,63	x/ 99,64
99,68	100,46	99,80	10I,82	99,64	100,02	99,64	

по А.Н.Заварницкому

	22	23	24	25	26	27	28
a	13,8	9,9	15,0	8,0	14,5	13,3	13,9
c	3,3	3,6	1,8	3,9	2,0	1,8	0,8
b	7,3	8,8	5,0	6,7	4,6	5,1	5,9
s	75,6	77,8	78,3	81,3	78,9	79,8	79,4
a'	31,3	39,5	40,1	43,0	26,9	41,0	62,0
f'	44,0	47,1	40,9	31,6	48,6	40,2	31,3
m'	24,7	13,4	19,0	25,4	24,8	18,8	6,7
c'	-	-	-	-	-	-	-
n	61,8	95,6	63,1	54,5	59,4	61,7	56,2
t	0,7	0,9	0,4	0,3	0,3	0,3	0,2
φ	27,6	33,9	21,7	24,7	19,4	26,3	26,2
q	20,3	32,2	24,8	42,6	26,8	31,3	30,1
a:c	4,1	2,8	8,5	2,0	7,1	7,5	17,3

## Числовые характеристики

	15	16	17	18	19	20	21
a	9,0	7,3	8,8	14,9	11,7	14,0	14,8
c	7,2	7,2	8,3	5,5	5,0	4,5	4,2
b	17,6	21,5	27,6	10,5	8,3	7,1	7,0
s	66,3	64,0	60,3	69,1	75,0	74,4	75,0
a'	-	-	-	8,4	-	14,1	10,0
f'	42,1	38,7	42,9	59,7	52,6	60,5	53,0
m'	47,6	46,5	34,2	31,9	43,9	25,4	37,0
c'	10,3	14,9	22,9	-	3,5	-	-
n	71,2	75,9	69,4	78,5	65,2	71,1	61,4
t	1,2	1,2	1,2	1,1	0,9	0,8	0,5
φ	12,3	11,6	28,6	22,4	19,3	27,0	34,0
q	7,4	6,3	-0,2	2,8	21,6	16,2	16,2
a:c	1,3	1,0	2,6	2,7	2,3	3,1	3,3

Состав окислов	Эмунеретская овнта			Зрываэм			
	Верхняя подсвита			Игнимбриты дацитов			
	Базальты						
	932	1355	326-I	24	25165	25169	01249
	29	30	31	32	33	34	35
SiO <sub>2</sub>	51,25	50,17	51,50	65,21	65,58	66,10	66,59
TiO <sub>2</sub>	0,95	1,10	1,03	0,22	0,51	0,48	0,52
Al <sub>2</sub> O <sub>3</sub>	18,09	19,23	18,07	18,27	17,41	15,98	16,23
Fe <sub>2</sub> O <sub>3</sub>	5,66	3,93	1,74	1,85	1,86	1,88	2,11
FeO	3,81	4,34	6,37	1,34	1,76	1,58	1,22
MnO	0,17	0,15	0,13	0,10	0,14	0,07	0,15
MgO	4,30	4,94	6,54	0,81	1,06	1,24	1,18
CaO	7,78	8,53	7,74	2,17	2,47	3,13	1,73
Na <sub>2</sub> O	3,25	3,28	2,96	4,33	4,39	3,38	3,92
K <sub>2</sub> O	1,54	2,23	1,09	4,40	2,91	3,56	3,75
H <sub>2</sub> O <sup>-</sup>	1,53	0,39	0,75	0,27	0,13	0,40	0,17
H <sub>2</sub> O <sup>+</sup>	1,13	0,46	1,25	0,62	Не обн.	Не обн.	Не обн.
P <sub>2</sub> O <sub>5</sub>	0,50	0,87	0,34	0,14	0,15	0,12	0,13
CO <sub>2</sub>	Не обн.	Не обн.	Не обн.	Не обн.	Не обн.	Не обн.	Не обн.
П.п.п.	x/ 2,10	x/ 1,05	x/ 1,33	x/ 0,61	1,29	2,40	1,97
$\Sigma$	99,96	99,62	99,61	99,73	99,36	100,32	99,67

x/ Не входят в сумму.

ская овнта				Игнимбриты риодапитов				Игнимбриты риолитов					
26	1425-5	2670	80-а	I302	97-а	IIS72-I	36	37	38	39	40	41	42
68,62	69,02	69,13	71,43	71,93	72,05	75,40	0,43	0,44	0,34	0,24	0,26	0,22	0,16
14,80	15,68	12,60	14,45	14,30	13,79	13,06	2,27	1,64	5,37	1,75	2,08	0,66	0,85
1,06	1,30	1,12	0,76	0,78	1,57	0,40	0,13	0,10	0,07	0,05	0,08	0,04	0,08
0,39	0,94	0,66	0,74	0,59	0,94	0,36	1,93	2,13	2,08	1,59	0,92	1,08	0,66
4,87	4,22	3,39	3,13	4,69	4,00	3,24	3,81	3,59	4,42	4,15	3,93	2,90	4,02
0,15	0,20	0,15	0,40	0,20	0,21	0,53	0,81	Не опр.	0,79	0,25	0,43	1,17	Не опр.
0,12	0,12	0,11	0,10	0,10	0,07	0,03	0,20	Не опр.	Не обн.	Не обн.	0,79	0,79	Не опр.
x/ 1,21	0,68	x/ 1,10	x/ 1,08	x/ 0,63	x/ 2,27	I,44	99,56	100,06	100,23	99,04	100,29	99,49	100,22

Числовые характеристики

	29	30	31	32	33	34	35
a	10,0	9,9	8,4	15,8	13,8	12,8	13,9
c	7,9	7,5	4,3	2,6	3,0	3,9	2,1
b	19,1	26,1	25,0	7,6	8,6	6,6	8,5
s	63,0	56,5	62,3	74,0	74,6	76,8	75,5
a'	-	-	-	43,1	39,7	18,3	40,4
r'	48,0	40,3	31,9	38,8	39,4	49,2	36,3
m'	40,6	30,7	46,1	18,1	20,8	32,5	23,3
c'	11,4	29,0	21,9	-	-	-	-
n	76,2	69,3	79,7	59,9	69,9	59,1	61,4
t	1,4	1,6	1,5	0,3	0,6	0,5	0,6
y	27,0	12,2	6,3	20,8	18,5	24,9	21,1
q	-2,0	-14,3	3,5	13,6	18,6	24,0	21,0
a:c	1,3	1,32	2,0	6,0	4,6	3,3	6,7

Продолжение табл.2

по А.Н. Заварыцкому

36	37	38	39	40	41	42
16,1	14,3	13,6	12,6	15,5	12,8	12,4
1,8	2,6	1,5	1,9	1,1	1,3	0,8
4,3	5,6	7,7	6,0	4,3	6,2	4,5
77,8	77,6	77,2	79,5	79,1	79,8	82,3
-	23,4	-	42,2	19,8	42,3	2,2
71,5	48,4	72,7	37,2	57,9	32,8	25,2
15,4	28,2	14,2	20,6	22,3	24,9	12,6
13,1	-	13,2	-	-	-	-
66,0	64,1	53,8	53,4	64,5	67,0	55,0
0,5	0,5	0,4	0,3	0,3	0,2	0,2
45,2	24,9	58,3	24,6	39,7	8,8	15,5
21,6	24,1	25,8	32,0	26,2	32,7	39,0
9,1	5,6	9,2	6,7	14,3	10,0	16,1

Состав окислов	Валанайская свита			Зимнича			
	Анде- зито- дакти	Игнимбриты дацитов		Анdezито-дациты		Анде-	
	I077	613	648-3	I91	01015-3	652-I	404
		43	44	45	46	47	48
							49
SiO <sub>2</sub>	63,80	66,82	68,88	64,99	64,17	63,66	61,62
TiO <sub>2</sub>	0,85	0,42	0,21	0,62	0,59	0,76	0,85
Al <sub>2</sub> O <sub>3</sub>	17,39	17,00	14,19	16,83	17,83	18,07	17,23
Fe <sub>2</sub> O <sub>3</sub>	3,08	1,41	1,26	1,90	2,66	2,81	2,15
FeO	1,12	1,57	0,82	1,35	0,93	1,20	1,50
MnO	0,08	0,08	0,07	0,07	0,07	0,10	0,10
MgO	0,99	1,22	1,07	1,07	0,87	0,80	1,09
CaO	1,46	3,48	0,83	2,98	3,90	2,40	3,95
Na <sub>2</sub> O	3,37	4,04	3,37	4,80	4,00	4,04	4,34
K <sub>2</sub> O	5,02	3,60	3,01	4,21	3,84	4,95	4,29
H <sub>2</sub> O <sup>-</sup>	1,15	0,16	1,49	0,14	0,10	0,30	0,44
H <sub>2</sub> O <sup>+</sup>	1,60	0,44	4,33	0,86	Не опр.	1,00	0,62
P <sub>2</sub> O <sub>5</sub>	0,21	0,15	0,05	0,11	0,17	0,20	0,24
CO <sub>2</sub>	Не обн.	Не обн.	Не обн.	Не обн.	Не опр.	Не обн.	Не обн.
П.п.п.	x/ 2,30	x/ 0,44	x/ 5,54	x/ 0,65	x/ 0,85	x/ 1,00	x/ 1,30
Σ	I00,12	I00,39	99,58	99,93	99,98	I00,29	98,42

x/  
Не входят в сумму.

Зимнича свита							
Зиты		Анdezито-базальты			Базальты		
844	II05	I66-5	49	834	I099	845	409
50	51	52	53	54	55	56	57
61,49	57,87	56,33	56,09	55,82	51,15	50,23	49,20
0,78	1,01	0,78	1,07	1,61	1,04	1,43	1,62
I7,52	I7,06	I7,41	I7,85	I7,89	I8,88	I7,25	I7,43
I,23	3,45	5,70	4,68	3,96	5,49	2,62	3,79
4,42	3,II	I,50	2,77	3,67	3,74	6,55	6,00
0,II	0,07	0,II	0,II	0,15	0,II	0,15	0,18
2,02	3,8I	3,5I	2,20	3,93	4,29	7,26	6,9I
4,14	5,63	5,63	6,33	5,47	8,45	7,62	8,15
4,04	3,64	3,54	4,15	3,47	3,37	3,15	3,49
I,93	2,33	2,49	I,8I	I,69	I,20	0,98	0,85
0,50	0,60	I,64	0,8I	0,69	I,06	0,52	0,77
I,50	0,78	0,93	0,94	I,3I	0,94	I,48	I,5I
0,28	0,29	0,29	0,48	0,59	0,33	0,49	0,42
Не обн.	Не обн.	Не обн.	Не обн.	Не обн.	Не обн.	Не обн.	Не обн.
x/ I,20	x/ 0,98	x/ 2,46	x/ 1,74	x/ I,78	x/ I,53	x/ I,08	x/ I,76
99,96	99,65	99,86	99,29	100,25	100,05	99,73	100,32

Числовые характеристики

	43	44	45	46	47	48	49
a	I4,6	I4,2	II,7	I6,8	I4,8	I6,2	I6,3
c	I,8	4,2	I,0	2,9	4,9	2,9	3,8
b	I0,4	5,I	8,8	5,5	4,8	7,3	6,6
s	73,2	76,5	78,5	74,8	76,5	73,5	73,3
a'	49,0	4,0	58,9	-	0,2	3I,4	-
f'	34,9	55,4	2I,0	54,3	68,5	50,0	52,8
m'	I6,I	40,6	20,I	33,I	3I,3	I8,6	29,0
c'	-	-	-	I2,7	-	-	I8,2
n	50,5	63,3	62,7	63,4	6I,3	55,4	60,6
t	I,6	0,4	0,3	0,7	0,7	0,9	I,0
φ	26,4	24,3	II,6	29,7	48,3	33,0	28,9
Q	I5,4	I0,4	32,6	I3,I	I6,6	II,8	I0,I
a:c	8,I	3,4	II,7	5,7	3,0	5,5	4,3

Продолжение табл.2

по А.Н.Заваринскому

50	51	52	53	54	55	56	57
I2,0	II,7	I2,0	I2,4	I0,5	9,7	8,06	9,2
5,2	6,0	6,3	6,4	7,0	8,6	7,6	7,4
I0,7	I3,9	I3,9	I2,8	I4,8	I9,0	23,5	24,3
72,2	68,5	67,9	68,3	67,7	62,7	60,2	59,I
I6,2	-	-	-	3,9	-	-	-
5I,I	44,3	48,4	55,4	49,3	46,8	37,7	38,7
32,7	47,9	44,9	30,6	46,8	40,7	53,7	49,8
-	7,9	6,8	I3,9	-	I2,5	8,3	II,5
76,I	70,4	68,4	77,7	75,7	8I,0	83,0	86,2
0,9	I,3	I,0	I,4	2,I	I,5	2,I	2,4
I0,I	2I,9	36,8	32,9	23,8	26,3	9,8	I3,8
I5,3	7,6	5,6	5,4	7,3	-2,6	-4,4	-7,6
2,3	2,0	I,9	I,9	I,5	I,I	I,I	I,2

## Числовые характеристики по А.Н.Заварышкому

Состав оксидов	Палеоген				
	Базальты				
	0941-6	11211	0937-10	11212-2	86
	58	59	60	61	62
SiO <sub>2</sub>	53,42	52,32	52,12	51,26	50,46
TiO <sub>2</sub>	1,24	1,16	1,11	1,32	1,52
Al <sub>2</sub> O <sub>3</sub>	17,09	18,56	17,94	16,78	16,93
Fe <sub>2</sub> O <sub>3</sub>	5,31	5,09	5,78	3,82	3,59
FeO	3,65	4,11	3,54	6,40	3,57
MnO	0,13	0,14	0,15	0,13	0,17
MgO	3,71	4,00	4,17	5,62	5,46
CaO	6,45	7,17	7,41	7,25	7,24
Na <sub>2</sub> O	3,69	3,73	3,55	3,41	3,92
K <sub>2</sub> O	2,29	1,64	1,70	1,43	2,14
H <sub>2</sub> O <sup>-</sup>	Не обн.	0,58	0,53	0,51	0,91
H <sub>2</sub> O <sup>+</sup>	0,48	Не опр.	Не опр.	Не опр.	1,31
P <sub>2</sub> O <sub>5</sub>	0,95	0,62	0,83	0,62	0,98
CO <sub>2</sub>	Не обн. x/ 1,36	Не опр. x/ 1,27	Не опр. x/ 1,20	Не опр. x/ 0,95	Не опр. x/ 1,76
П.п.п.					
Σ	98,41	99,12	99,83	98,55	100,20

x/ Не входят в сумму.

	58	59	60	61	62
a	12,0	11,2	10,8	9,9	12,1
c	6,0	7,6	7,2	6,7	5,6
b	17,3	17,6	21,6	22,1	21,7
s	64,7	63,7	63,4	61,4	60,6
a'	-	-	-	-	-
r'	49,1	50,3	47,8	44,3	40,4
m'	38,0	40,6	40,0	44,5	43,8
c'	12,9	9,2	12,2	11,1	15,8
n	71,0	77,6	76,0	78,4	73,6
t	1,7	1,6	1,6	1,9	2,2
q	-0,6	-2,5	-2,2	-3,7	-8,6
	2,0	1,5	1,5	1,5	2,1

П р и м е ч а н и е. Анализы 1-6, 9-16, 18-20, 22, 23, 25-27, 33-35, 37, 42, 47, 58-61 описаны в работе В.И.Чубарова /33/; анализы 7, 17, 38, 40 - в работе В.Ф.Белого и др. /22/; анализы 8, 24, 28, 31, 36, 39, 41 - В.Г.Желтовского /25/; анализ 29, 30, 32 - В.Ф.Карличева, Е.И.Мосягина /26/; ан.62 - А.П.Преловского /28/.

к юго-востоку под углом 5–6°). Здесь выше игнимбритов риолитов верхней подсвиты пыкараамской свиты залегают:

I. Зеленые и серые кристалловитрокластические туфы андезитов с прослойми в верхней части лито-кристалловитрокластических разновидностей мощностью 3–5 м. В верхней части слоя в кристалловитрокластических туфах В.И.Чубаровым /32/ собраны <i>Cladophlebis</i> sp., <i>Sphenopteris</i> sp., <i>Phoenicopsis ex gr. angustifolia</i> Heer, <i>Pityophyllum nordenstkioldii</i> (Heer) Nath.	
(Очевидно, в этом же слое на левобережье р.Мычкарен-нэт найден <i>Elatocladus zheltovskii</i> Philipp.) . . . . .	45 м
2. Темно-серые литокристалловитрокластические туфы андезитов . . . . .	15 "
3. Светло-серые кристалловитрокластические и литокристалловитрокластические туфы андезитов . . . . .	35 "
4. Коричневые различных оттенков литокристалловитрокластические и кристалловитрокластические туфы андезитов . . . . .	40 "
5. Серые литокристалловитрокластические туфы андезитов . . . . .	20 "
6. Зеленые различных оттенков литокристалловитрокластические и кристалловитрокластические туфы андезитов . . . . .	15 "
7. Вишневые, красные и бурьи витрокристаллолитокластические туфы базальтов. . . . .	20 "
8. Базальты . . . . .	30 "
Мощность по разрезу 220 м.	

На левобережье р.Чакувзваам туфы базальтов мощностью 100 м, сопоставляемые со слоем 7, перекрыты игнимбритами дацитов нижней подсвиты эмунэрэтской свиты верхнего мела.

Максимальная мощность тuffовой пачки (450 м) установлена в бассейне р.Варынокваам и на левобережье р.Энзываам у устья р.Акайваам.

В Останцовских горах нижняя тuffовая часть козкуньинской свиты (25 м) представлена только туфами андезитов.

Разрез средней части свиты изучен в междуречье Анадыря – Варынокваама по делювию (покровы погружаются к югу под углом 4–5°). Здесь на туфах андезитов залегают:

I. Базальты, в верхней части миндалекаменные, аналогичные слою 8 вышеприведенного разреза . . . . .	45 м
2. Пестрые литокристалловитрокластические туфы андезитов . . . . .	4 "

3. Базальты с окисленной вишневой коркой в кровле толщиной 2 м. В основании – покров андезито-базальтов мощностью 2 м . . . . .	27 м
4. Чередующиеся (5–10 м) зеленые и серые лито-кристалловитрокластические туфы андезитов. В нижней части редкие покровы базальтов мощностью 2–5 м . . . . .	57 "
5. Базальты с окисленной бурой миндалекаменной коркой в кровле толщиной 2 м . . . . .	12 "
6. Красные витрокристаллолитокластические туфы базальтов . . . . .	10 "
7. Базальты с прослойми (1–3 м) красных витро-кристаллолитокластических туфов базальтов в средней части . . . . .	60 "
8. Вишневые витрокристаллолитокластические туфы базальтов . . . . .	35 "
9. Базальты . . . . .	30 "
10. Зеленые различных оттенков кристалловитрокластические и литокристалловитрокластические туфы андезитов (прослой мощностью 5–10 м). В нижней и верхней частях покровы серых андезитов мощностью 2–5 м . . . . .	140 "
II. Базальты. Покровы мощностью 5–10 м, часто с окисленными (вишневой окраски) и брекчированными корками в кровле толщиной 1–2 м . . . . .	200 "
I2. Чередующиеся (10–20 м) зеленые и серые кристалловитрокластические и литокристалловитрокластические туфы андезитов. В средней части редкие покровы базальтов мощностью 2–5 м . . . . .	80 "
13. Базальты . . . . .	40 "
Мощность по разрезу 740 м.	
На левобережье р.Анадырь (у устья р.Эргываам) из-под тuffов дацитов нижней подсвиты эмунеретской свиты обнажается толща преимущественно андезитов, подошва ее не вскрыта. По ее стратиграфическому положению предполагается, что она завершает козкуньинскую свиту. Разрез изучен по делювию (покровы под углом около 5° погружаются к северу):	
I. Чередующиеся (5–10 м) серые и темно-зеленые андезиты . . . . .	100 м
2. Светло-зеленые андезиты . . . . .	20 "
3. Зеленые кристалловитрокластические туфы андезитов . . . . .	20 "
4. Чередующиеся (5–10 м) темно-зеленые андезиты и черные андезито-базальты . . . . .	40 "

Мощность по разрезу 180 м.

В верховье р.Кайырываам и в бассейне р.Варынокваам в тuffах андезитов нижней части козкуньской свиты В.Ф.Беловым /4,22/ собраны (кроме указанных выше) следующие остатки растений: *Birisia oshotica* Samyl., *Tochaumia lobifolia* Philipp., *Asplenium dicksonianum* Kier., *Cladophlebis jelsejevii* Krysh., *Sphenopteris (Optychiopsis) psilotoides* St. et Webb., *S. cf. psilotoides* St. et Webb., *Ctenis* sp., *Heilungia cf. udensis* Koschman., *Cycadales* sp. indet., *Ginkgo* sp., indet., *Phoenixopsis* sp. indet., *Ceratopteris gigantea* Krysh., С. или *Totteya?* sp. indet., *Sequoia fastigata* (Sternb.) Neeg., *S. heterophylla* Velen., или *Glyptostrobus?* sp. indet., *Totteya* sp. indet., *Cedrus* sp.

Приведенный комплекс флоры, стратиграфическое положение и сходство по вещественному составу со стратотипом послужили основанием для отнесения описываемых образований к козкуньской свите.

Базальты – черные микропорфировые массивные породы. Порфировые выделения (10–15%) представлены лабрадором № 60–70 (5–10%) и авгитом. Основная масса с интерсертальной, редко делеритовой или толентовой структурой, сложена микролитами или лейстами лабрадора № 55–60, авгитом и иногда хлоритизированным вулканическим стеклом.

В окисленных разновидностях основная масса (в основном стекло) замещена бурыми непрозрачными гидроокислами железа. По химическому составу базальты (анализы I0–I2) характеризуются высокой глиноземистостью.

Туфы андезитов состоят из пепловой основной массы (60–80%), обломков кристаллов (20–30%) и пород (до 20%). Кристаллокластический материал представлен андезином № 45–50, авгитом и иногда роговой обманкой; литокласти (0,1–1 см) – андезитами, базальтами, игнимбритами дацитов и риолитов. Стекло пепловой основной массы обычно замещено мелкощечинчатым хлоритом или превращено в микрофельзитовый агрегат. По химическому составу кристалловитротекластические туфы андезитов (ан.18) близки к туфам трахандезитов.

Андезиты – порфировые массивные породы. Порфировые выделения (10–15%) представлены андезином № 50–55 и авгитом. Основная масса с гиалопилитовой, редко интерсертальной и пилотакситовой структурой, состоит из микролитов андезина № 40–45 и вулканического стекла. Стекло иногда замещено хлоритом и эпидотом, авгит – уралитом или хлоритом.

Анадезито-базальты – массивные породы с черной стеклоподобной основной массой и порфировыми выделениями (10–15%) белого лабрадора № 60–65 (5–6 мм), авгита и гиперстена (2–3 мм). Основная масса с гиалопилитовой, интерсертальной и пилотакситовой структурой сложена бурым изотропным вулканическим стеклом, микролитами лабрадора № 50–55 и мельчайшими зернами авгита. По химическому составу (анализы I5–I7) анадезито-базальты характеризуются как высокоглиноземистые (анализы I5, I6) или умеренно-глиноземистые (ан.17) породы.

Туфы базальтов состоят в основном из литокласт, небольшого количества обломков кристаллов и пепловой основной массы. Литокласти размером от 0,1 до 1 см (иногда до 10 см) представлены островерхими или сплющенными обломками окисленных авгитовых базальтов (основная масса их замещена бурыми непрозрачными гидроокислами железа), реже андезитов и туфов андезитов; кристаллокластический материал – лабрадором № 65–70, авгитом, иногда роговой обманкой. Стекло пепловой основной массы замещено бурыми непрозрачными гидроокислами железа. По химическому составу туфы базальтов (анализы I3, I4) принадлежат к высокоглиноземистым (I3) и умеренноглиноземистым (I4) породам.

Рассмотренные выше породы по химическому составу близки вулканитам андезитовых формаций ОЧВП /4/.

## Верхний отдел

Эмунерэтская свита распространена в виде полосы северо-восточного направления, прослеживающейся через всю территорию от р.Кайырываам (Q-59-X) до р.Юрумкувеем (Q-59-XII) и в верховье р.Энмываам (Q-59-XI). Свита имеет линзовидно-слоистое строение, она представлена эфузивами основного, среднего и кислого состава, игнимбритами кислого состава, туфами кислого и основного состава. Эмунерэтские вулканиты несогласно залегают на различных горизонтах козкуньской свиты и перекрываются эргываамской, энмываамской свитами и палеогеном. Признаки несогласного залегания эмунерэтской свиты на козкуньской выявляются по резкому различию структурного плана альб-сеноманских и сеноманских вулканитов /32/. Эмунерэтская свита разделена на две подсвиты: нижнюю и верхнюю.

Нижняя подсвита ( $K_2 \text{ ст}_4$ ) представлена туфами дацитов и риодакитов, игнимбритами дацитов, риодакитов и риолитов, риолитами и андезито-дацитами. В полосе от р.Кайырываам до р.Юрум-

кувеем в составе подсвиты преобладают туфы дацитов, расслоенные игнимбритами дацитов. В центральной части полосы в некоторых отрицательных вулканоструктурах увеличивается роль игнимбритов дацитов, обнаруживаются значительные объемы игнимбритов риодацитов и риолитов (бассейн р.Эмзываам между устьями руч. Снежного и р. Кайзываам, между речь Эргываам - Кайзываам), туфов риодацитов (левобережье р. Кайзываам, правобережье р. Куйвишев), риолитов и андезито-дацитов (между речь Эмываам - Куйвишев). Риолиты и андезито-дациты слагают экструзивные купола площадью до 50 км<sup>2</sup> и мощностью до 300 м, залегающие в верхней части подсвиты на периферии отрицательных вулканоструктур. В бассейне р. Эмываам между устьями руч. Снежного и р. Кайзываам мощность свиты III 10 м, на правобережье р. Амадыр - 150 м, места (район г. Эмынай) подсвита выклинивается полностью.

В верховье р. Эмываам нижняя подсвита эмунэретской свиты, залегающая на козекуньских туфах базальтов, представлена преимущественно игнимбритами дацитов. В редких прослоях мощностью до 10 м присутствуют игнимбриты риолитов, туфы дацитов и риодацитов. Видимая мощность подсвиты 500 м.

Наиболее детально строение нижней подсвиты эмунэретской свиты изучено в бассейне среднего течения р. Эмываам в районе расположения стратотипа (основание ее здесь не вскрыто). На левобережье р. Эмываам в 8 км выше устья р. Верх. Эмунэретвеем по непрерывным скальным выходам составлен следующий разрез (покровы моноклинально погружаются к западу под углом 30°):

1. Коричневые порфиросланческие игнимбриты дацитов . . . . .	45 м
2. Серые порфиросланческие игнимбриты дацитов . . . . .	100 "
3. Чередующиеся (1-10 м) зеленовато-серые и серые кристалловитрокластические и литокристалловитрокластические туфы дацитов . . . . .	65 "
4. Коричневые литокристалловитрокластические туфы дацитов . . . . .	20 "
5. Чередующиеся (0,5-1 м) серые кристалловитрокластические и литокристалловитрокластические туфы риодацитов с углефицированным растительным детритом . . . . .	10 "
6. Смолисто-черные гиалонигимбриты дацитов . . . . .	15 "
7. Коричневые порфиросланческие игнимбриты риодацитов . . . . .	35 "

8. Чередующиеся (1-10 м) серые пепловые, кристалловитрокластические и литокристалловитрокластические туфы дацитов . . . . .	100 м
9. Смолисто-черные гиалонигимбриты дацитов . . . . .	20 "
В 9 км к северо-западу от рассмотренного разреза в туфах дацитов слоя 8 В.Ф.Белым /4/ собраны <i>Osmunda</i> sp., <i>Sequoia</i> sp., <i>Metasequoia</i> sp. vel <i>Parataxodium</i> sp., <i>Pityophyllum</i> ex gr. <i>pordensis</i> <i>skoldii</i> (Heer) Nath. <i>Dicotylophyllum</i> sp. Выше гиалонигимбритов дацитов слоя 9 здесь залегают:	
10. Коричневые порфиросланческие игнимбриты риолитов . . . . .	130 "
На левобережье р. Сред. Эмунэретвеем выше игнимбритов риолитов-слой 10 мощностью 50 м залегают (разрез составлен по делювию, покровы под углом 3-5° погружаются к северу):	
11. Серые пепловые туфы риодацитов с горизонтом (3 м) смолисто-черных гиалонигимбритов дацитов в средней части . . . . .	20 "
12. Чередующиеся (5-10 м) серые, коричневые, зеленовато-серые, литокристалловитрокластические туфы риодацитов; в средней части прослон (3-5 м) серых пепловых туфов риодацитов, в верхней части горизонт (2 м) смолисто-черных гиалонигимбритов дацитов . . . . .	125 "
13. Чередующиеся (1-5 м) серые, коричневые, зеленовато-серые литокристалловитрокластические и кристалловитрокластические туфы дацитов . . . . .	75 "
14. Коричневые порфиросланческие игнимбриты дацитов . . . . .	150 "
15. Сиреневые риолиты с покровом (10 м) черных витрофииров в основании . . . . .	140 "
16. Коричневые порфиросланческие игнимбриты дацитов . . . . .	60 "
Мощность по разрезу III 10 м.	
В 8 км к востоку от вышеописанного разреза в пепловых туфах дацитов, обнажающихся из-под эргываамских игнимбритов, В.И.Чубаровым /32/ собраны <i>Dermatophyllum</i> sp., <i>Sequoia</i> sp., <i>Rulac</i> cf. <i>quercifolium</i> Holl., <i>Zizyphus pseudomeekii</i> Holl., <i>Trochodendroides</i> sp. и Н.И.Филатовой /19/, кроме того, <i>Phoenicopsis</i> sp., <i>Trochodendroides arctica</i> (Heeg) Berry, <i>Quercus tchucotika</i> Abram. /19/.	

На правобережье р.Анадырь у устья р.Эргываам в туфах дацитов нижней подсвиты эмунэретской свиты, залегающих на хоккуньских андезитах и перекрывающихся эргываамскими игнимбритами риолитов, В.Ф.Белым /22/ собраны: *Cephalotaxopsis intermedia* Holl., *C.heterophylla* Holl., *C.cf.magnifolia* Font. var *succesiva* Holl., *C.cf.anadyrensis* Krysh., *Torreya cf. gracillima* Holl., *Nageiopsis?* sp.indet.

В других местах (верховье р.Куйвивеем, бассейн среднего течения р.Правый Куйвивеем, район г.Куйвикей, правобережье р.Эмываам у устья р.Кайэнмываам) в туфах дацитов, кроме указанных выше остатков растений, В.Ф.Карпичевым /26/ и В.И.Чубаровым /32/ обнаружены: *Equisetum?* sp.indet., *Cladophlebis frigida* (Heer) Sew., *C.jelisejevii* Krysh., *Sphenopteris cf. onrilonica* Krysh., *Kolymella* sp., *Ginkgo cf. adiantoides* (Unger) Heer, *Phoenicopsis (?)* sp.indet., *Sequoia aff. ambigua* Heer, *S. reichenbachii* (Gein) Heer, *S.cf.heterophylla* Velen., *S.cf. concinna* Heer, *Thuja cretacea* (Heer) Newb., *Cissites* sp., *Quereuxia angustata* (Newb.) Krysh.

Верхняя подсвита эмунэретской свиты ( $K_2em_2$ ) сложена преимущественно базальтами, расслоенными туфами и игнимбритами дацитов, туфами базальтов. Мощность ее 275-350 м.

На правобережье р.Эмываам, у устья р.Пырканайваам (Q-59-XI), к верхней подсвите эмунэретской свиты отнесена толща, сложенная базальтами и туфами дацитов (В.Ф.Белый включает ее в состав эмываамской свиты /2/). Разрез ее изучен по скальным выходам (покровы под углом 10-15° погружаются к югу). Здесь на туфах риодакитов нижней подсвиты эмунэретской свиты залегают:

1. Авгитовые базальты в виде покровов мощностью от 2 до 20 м с окисленными (вишневой или бурой окраски) корками в кровле толщиной 1-2 м . . . . . 150 м
  2. Чередующиеся (1-5 м) зеленовато-серые и серые кристалловитрокластические, литокристалловитрокластические и пепловые туфы дацитов. В верхней части бурые агломераты базальтов мощностью 5 м . . . . . 60 "
  3. Серые пепловые тонкослоистые (0,1-0,5 м) туфы дацитов, обогащенные в различной степени углефицированным растительным детритом . . . . . 10 "
  4. Чередующиеся (1-2 м) серые литокристалловитрокластические, кристалловитрокластические туфы дацитов, редкие прослои пепловых туфов дацитов, обогащенные углефицированным растительным детритом . . . . . 45 "
- Мощность по разрезу 265 м.

Выше залегают базальты эмываамской свиты.

В нижней и верхней частях слоя 4 из прослоев пепловых туф В.Ф.Белым /4,22/ и В.И.Чубаровым /32/ собраны *Thallites* sp., *Equisetum* sp. indet., *Dennstaedtia* cf. *tchuktchorum* Krysh., *Coniopteris pumphagia* (Heer) Vachr., *Asplenium dicksonianum* Heer, *Cladophlebis* sp. indet. (cf.*arctica* (Heer) Krysh.), *Sphenopteris* (*Onychiopsis?*) cf. *psilotoides* St. et Webb., *Phoenicopsis* ex gr. *angustifolia* Heer, *Desmiphylum* sp., *Thuya cretacea* (Heer) Newb., *Gramma* sp.indet., *Crataegites* sp./32/ а Н.И.Филатовой /19/. Кроме того, *Sphenobaiera* sp., *Libocedrus catenulata* (Bell) Krysh., *Cissites* sp./19/.

В верховых рек Эмываам и Куйвивеем, на правобережье р.Куйвивеем (Q-59-XI, XII) в составе верхней подсвиты эмунэретской свиты преобладают оливин-авгитовые и авгитовые базальты, образующие покровы мощностью 20-30 м. В редких маломощных (1-2 м) прослоях присутствуют серые пепловые или кристалловитрокластические туфы дацитов, розовые порфирокластические игнимбриты дацитов. Мощность подсвиты здесь достигает 350 м. Описываемые образования залегают на туфах дацитов нижней подсвиты эмунэретской свиты и перекрываются игнимбритами риолитов эргываамской свиты.

В бассейне р.Эргываам (Q-59-X) верхняя подсвита эмунэретской свиты представлена чередованием (10-12 м) авгитовых, авгит-гиперстеновых базальтов, бурых и вишнево-бурых агломератов базальтов. В верхней части залегают розовые порфирокластические игнимбриты дацитов мощностью 25 м. Видимая мощность подсвиты здесь составляет 275 м.

Туфы дацитов состоят из пепловой основной массы (60-95%), обломков кристаллов (5-40%) и пород (до 20%). Кристаллокластический материал представлен андезином № 35-40, роговой обманкой и биотитом; литокласти размером 0,1-1 см - преимущественно игнимбритами дацитов и риолитов, а также туфами дацитов, риолитов, андезитами, базальтами, вулканическими стеклами. В туфах риодакитов кристаллокластический материал представлен андезином № 30-35, кварцем, биотитом. По химическому составу эти породы характеризуются преобладанием  $K_2O$  над  $Na_2O$  и высоким содержанием  $CaO$  (ан.25).

Порфирокластические игнимбриты дацитов - породы с микроигнимбритовой, игнимбритово-пепловой и витрофировой структурой основной массы. Текстура псевдофлюидальная, псевдофлюидально-очковая, массивная, эвтакситовая, пламенная. Кристаллокластическая часть (40-45%) представлена андезином № 35-40 (30-40%), роговой обманкой, авгитом, биотитом. Стекло цемента превращено в микрофельзин.

товый агрегат; часто наблюдаются микропойкилобластовая и сферолитовая структуры. Обычно в незначительном количестве в описываемых породах содержатся литокласти размером 0,1-1 см игнимбритов дацитов и риолитов, туфов дацитов, вулканических стекол, базальтов, андезитов. В гиалоигнимбритах дацитов отмечается высокое (85-90%) содержание изотропного стекла основной массы. Химический состав порфирокластических игнимбритов дацитов характеризуют анализы 22, 23. В порфирокластических игнимбритах риодакитов кристаллокластический материал представлен андезином № 30-35, кварцем (до 5%), биотитом, роговой обманкой. По химическому составу (ан.24) они близки к трахириодакитам. В порфирокластических игнимбритах риолитов кристаллокластический материал представлен олигоклазом № 25-30, кварцем (5-10%) и биотитом. По химическому составу породы часто близки к трахириолитам, в которых  $K_2O$  преобладает над  $Na_2O$  (анализы 26, 28).

Для эмунэретских игнимбритов характерны различная степень сваренности (от умеренной до высокой в разных покровах) и часто наблюдающаяся пламенная структура (содержание фьямме достигает 20%).

Базальты оливин-авгитовые, авгитовые и авгит-гиперстено- вые - черные микропорфировые массивные породы. Микропорфировые выделения (10-15%) представлены лабрадором № 60-70 (5-10%), оливином (часто замещен иддингситом), авгитом, гиперстеном. Основная масса с долеритовой, толеитовой, диабазо-офитовой и интерсертальной структурой состоит из лейст или микролитов лабрадора № 55-60, авгита и вулканического стекла. Оливин и гиперстен в основной массе наблюдаются редко. В окисленных разновидностях с бурой или вишневой окраской основная масса замещена гидро-кислами железа. По химическому составу породы характеризуются высокой глиноземистостью (анализы 29-31), иногда близки к трахибазальтам (ан.30).

Агглютинаты базальтов состоят из сплющенных лепешковидных и остроугольных обломков базальтов, аналогичных описаным выше. Обломки часто окислены или имеют окисленную корку бурого или вишневого цвета.

Андеозито-дациты - черные порфировые массивные породы. Порфировые выделения (10-15%) - лабрадор № 52-55 (5-10%), авгит и гиперстен. Основная масса с гиалопилитовой, гиалиновой, флюидально-гиалиновой и флюидально-гиалопилитовой структурой сложена вулканическим стеклом, превращенным в микропойкилобластовый агрегат, и микролитами андезина № 40-42. Химический состав характеризуют анализы 19-21.

Риолиты - сиреневые тонкополосчатые породы, состоящие из преобразованного вулканического стекла с микрофельзитовой, сферолитовой, микрогранобластовой, микропойкилобластовой структурой и иногда реликтовой перлитовой текстурой. Полосчатая текстура обусловлена параллельным чередованием участков с различным характером структур и неравномерным распределением бурых непрозрачных пылевидных включений. Иногда в породе наблюдаются сферолоиды размером до 10 см. Редкие микропорфировые выделения представлены олигоклазом № 25, кварцем и биотитом. По химическому составу породы эмунэретской свиты близки вулканитам липарит-базальтовой формации ОЧВП /4/.

Эргываамская свита ( $K_2O$  4%) в виде разобщенных полей прослеживается через всю территорию в полосе северо-восточного направления от р.Кайвырываам (Q-59-X) до р.Юрумкувеем (Q-59-XII). Представлена она игнимбритами риодакитов, риолитов и дацитов. В отдельных полях свита однообразна, покровы обособляются редко. Эргываамские игнимбриты несогласно залегают на различных горизонтах коэкуньюской и эмунэретской свит и перекрываются эмываамской свитой и палеогеном.

У южной границы территории листа Q-59-X эргываамская свита представлена игнимбритами риолитов, в нижней части которых обособляется горизонт (40 м) игнимбритов дацитов. Видимая мощность свиты 240-300 м. В бассейне среднего течения р.Эмываам эргываамская свита сложена преимущественно игнимбритами риодакитов с редкими покровами игнимбритов риолитов. В нижней части местами залегают игнимбриты дацитов (100 м). Общая мощность свиты около 600 м. Аналогичное строение и состав эргываамской свиты наблюдаются в бассейне р.Куйвивеем, где ее видимая мощность увеличивается до 680 м, а мощность горизонта игнимбритов дацитов в нижней части свиты достигает 200 м.

Игнимбриты риолитов - темно-коричневые порфирокластические породы с микроигнимбритовой структурой основной массы. Текстура псевдофиолально-очковая. Кристаллокластическая часть (40-50%) представлена олигоклазом № 25-30 (25-35%), кварцем (5-10%) и биотитом. Стекло основной массы преобразовано в микрофельзитовый агрегат, иногда наблюдается сферолитовая и микропойкилобластовая ее структура. По химическому составу (анализы 39-42) игнимбриты риолитов иногда близки к трахириолитам (ан.40).

В игнимбритах риодакитов кристаллокластическая часть представлена андезином № 30-35, биотитом, кварцем (1-3%), роговой обманкой. По химическому составу породы иногда близки к трахириодакитам (анализы 36-38).

В игнимбритах дацитов кристаллокластическая часть представлена андезином № 35-40, роговой обманкой, биотитом и авгитом. По химическому составу (анализы 32-35) породы иногда близки к трахидицитам (ан.32).

Игнимбриты эргываамской свиты по химическому составу близки к породам липаритовой (игнимбритовой) формации ОЧВП /4/ и характеризуются повышенной общей щелочностью, частым преобладанием  $K_2O$  над  $Na_2O$ .

Вапанайская свита ( $K_2O/\beta$ ) представлена андезито-дацитами и игнимбритами дацитов, обнажающимися из-под базальтов эмываамской свиты в юго-восточной части района. Падение этих образований не вскрыто. Разрез изучен на правобережье р. Эмываам по скальным выходам и делювию (покровы под углом 5-7° погружаются к западу):

- |   |       |
|---|-------|
| 1. Голубовато-серые андезито-дациты . . . . .     | 120 м |
| 2. Светло-коричневые игнимбриты дацитов . . . . . | 160 " |
- Мощность по разрезу 280 м.

На водоразделе рек Эмываам и Друмкувеем мощность игнимбритов дацитов увеличивается до 300 м. Видимая мощность вапанайской свиты оценивается в 420 м.

Описываемые образования отнесены к вапанайской свите на основании их стратиграфического положения и сходства по вещественному составу со стратотипом /6/.

Андезито-дациты - крупнопорфировые массивные породы. Порфировые выделения (20-30%) представлены лабрадором № 50-52 (15-25%), авгитом, гиперстеном и иногда опацитизированным биотитом. Характерны глымеропорфировые обособления этих минералов размером до 10 мм. Структура основной массы микрофельзитовая. По химическому составу (ан.43) породы близки к трахиандезито-дацитам.

Игнимбриты дацитов - порфирокластические породы с микроигнимбритовой структурой основной массы. Текстура псевдофлюидально-очковая. Кристаллокластический материал (40-50%) представлен андезином № 35-40 (35-45%), роговой обманкой, авгитом, биотитом. Стекло основной массы превращено в микрофельзитовый агрегат. По химическому составу (анализы 44, 45) породы иногда близки к риодицитам (ан.45). Андезито-дациты и игнимбриты дацитов вапанайской свиты близки к породам липарит-андезит-дацитовой (игнимбритовой) формации ОЧВП /4/.

Эмываамская свита ( $K_2O/\beta$ ) распространена в южной части территории листа Q-59-XI, ХП. В ее составе преобладают андезито-базальты, расслоенные базальтами, андезитами,

андезито-дацитами, конгломератами. Последние в виде линз залегают в основании (мощность 2-3 м) и в средней части (мощность 120 м) свиты. Покровы андезито-базальтов и базальтов часто обособлены в рельефе в виде ступеней. Эмываамская свита несогласно залегает на различных горизонтах эмунеретской, вапанайской и эргываамской свит, перекрывается базальтами палеогена. Разрез нижней части эмываамской свиты изучен по делювию и редким скальным выходам на левобережье р. Эмываам между р. Пырканайваам и руч. Леоновским. Здесь на игнимбритах риодитов эргываамской свиты залегают (покровы моноклинально погружаются к югу под углом 10°):

1. Андезито-базальты . . . . .	50 "
2. Андезиты . . . . .	30 "
3. Андезито-дациты . . . . .	10 "
4. Оливин-авгитовые миндалекаменные базальты . . . . .	40 "

Более высокие стратиграфические уровни свиты наблюдались по делювию и редким скальным выходам на правобережье р. Эмываам у устья руч. Леоновского. Здесь на базальтах слоя 4 залегают (покровы погружаются к югу под углом 3-6°):

5. Чередующиеся (15-20 м) авгит-гиперстеновые, оливин-авгитовые и авгитовые базальты, иногда мицелекаменные . . . . .	100 "
6. Андезито-базальты с редкими покровами (5-10 м) андезитов и оливин-авгитовых базальтов . . . . .	150 "
7. Андезито-дациты с окисленной (вишневой окраски) коркой толщиной 2-3 м в кровле . . . . .	140 "

Верхняя часть свиты наблюдалась в верховье р. Затерянной (разрез изучен по делювимальным свалам, покровы погружаются к северо-западу под углом 4°). Здесь выше андезито-базальтов, сопоставляющихся со слоем 6, залегают:

8. Конгломераты . . . . .	120 "
9. Чередующиеся (20-40 м) оливин-авгитовые и авгитовые базальты, редкие покровы (5-10 м) андезито-базальтов и андезитов . . . . .	240 "

Мощность по разрезу 890 м.

Андезито-базальты - массивные породы с черной стеклоподобной основной массой и порфировыми выделениями (10-15%) белого лабрадора № 60-65 (5-6 мм), авгита и гиперстена (2-3 мм). Основная масса с гиалопилитовой, интерсерпталльной и пилотакситовой структурой сложена бурым изотропным вулканическим стеклом, микролитами лабрадора № 50-55, мелкими зернами авгита. По хим-

химическому составу (анализы 52-54) породы характеризуются высокой глиноzemистостью и часто близки к трахиандезито-базальтам (52, 53).

Оливин-авгитовые, авгит-гиперстеновые и авгитовые базальты — черные микропорфировые массивные породы. Порфирорвые выделения (10-15%) представлены лабрадором № 65-70 (5-10%), оливином, авгитом, гиперстеном. Основная масса с интерсертальной, толеитовой и пилотакситовой структурой сложена микролитами лабрадора № 55-60, авгита и вулканическим стеклом. В табл.2 приведен химический состав авгит-гиперстеновых (ан.55) и оливин-авгитовых (анализы 56-57) разностей, которые характеризуются высокой глиноzemистостью.

Андезиты — зеленовато-серые порфирорвые массивные породы. Порфирорвые выделения (10-15%) представлены лабрадором № 50-55 и авгитом. Основная масса с интерсертальной структурой сложена микролитами андезина № 40-45 и вулканическим стеклом, обычно замещенным хлоритом и эпидотом, андезиты иногда соответствуют кварцевым латитам (ан.49).

Андезито-дациты — черные порфирорвые массивные породы. Порфирорвые выделения (10-15%) представлены андезином № 45-50 (5-10%) — авгитом и биотитом. Основная масса с гиалопилитовой и флюидально-гиалопилитовой структурой состоит из микролитов андезина № 35-40 и изотропного вулканического стекла. По химическому составу (анализы 46-48) породы близки к трахиандезито-дацитам, а иногда и соответствуют им (ан.46).

Конгломераты состоят из хорошо скатанной гальки (80%), представленной преимущественно андезито-базальтами, базальтами, андезитами. Реже обнаруживается галька игнимбритов риолитов и дацитов и туфов кислого состава. Заполняющая масса конгломератов — грубозернистый песчаник, состоящий из обломков тех же пород, а также плагиоклаза и редко — авгита и кварца. Цемент поровый, глинистый, замещенный хлоритом и эпидотом.

По химическому составу породы эмываамской свиты близки вулканитам формации высокоглиноzemистых базальтов и андезито-базальтов ОЧВП /4/.

#### ПАЛЕОГЕНОВАЯ СИСТЕМА (Р?)

К образованиям палеогена относится толща базальтов, распространенная в бассейнах рек Кайэнмываам и Мэрэваам (Q-59-X, XI). Среди базальтов резко преобладают оливин-авгитовые разновидности,

реже обнаруживаются оливин-гиперстен-авгитовые, гиперстен-авгитовые и авгитовые. Толща имеет тонкопокровное строение (от 5-10 до 25 м) и характеризуется обилием пузыристых разностей. Покровы, отпрепарированные в рельфе в виде ступеней, часто имеют в кровле брекчированную и окисленную корку толщиной 1-2 м красной или вишневой окраски. Видимая мощность толщи на правобережье р.Кайэнмываам (Q-59-XI) 600 м, в верховье р.Каменки (Q-59-X) 150 м. Базальты палеогена несогласно залегают на нижележащих образованиях. На правобережье р.Эмываам у устья р.Кайэнмываам палеогеновые базальты залегают на выклинивающихся эмываамских андезито-базальтах, эргываамских игнимбритах риолитов, перекрывают разные горизонты нижней подсвиты эмунерэтской свиты и вторичные кварциты по эмунерэтским вулканитам. Эта ситуация хорошо дешифрируется на аэрофотоматериалах и наблюдалась в маршрутных пересечениях /32/. На левобережье р.Кайэнмываам палеогеновые базальты залегают на пыкарваамских игнимбритах риолитов. Разрез палеогена изучен по делювию и редким скальным выходам на правобережье р.Кайэнмываам. Здесь на игнимбритах риолитов эргываамской свиты залегают (покровы погружаются к востоку под углом 4-6°):

1. Авгитовые базальты . . . . .	15 к
2. Оливин-авгитовые базальты . . . . .	40 "
3. Гиперстен-авгитовые базальты . . . . .	60 "
4. Чередующиеся (10-20 м) оливин-авгитовые	
и оливин-гиперстен-авгитовые базальты . . . . .	65 "
5. Гиперстен-авгитовые базальты . . . . .	25 "
6. Оливин-авгитовые базальты . . . . .	220 "
7. Оливин-гиперстен-авгитовые базальты . . . . .	75 "
8. Оливин-авгитовые базальты . . . . .	100 "
Мощность по разрезу 600 м.	

Оливин-авгитовые, оливин-гиперстен-авгитовые, гиперстен-авгитовые и авгитовые базальты — микропорфировые, афировые массивные породы. Микропорфировые выделения (до 15%) представлены лабрадором № 60-70 (до 10%), оливином (часто замещен яддингситом), авгитом, гиперстеном. Основная масса с долеритовой, толеитовой, интерсертальной, редко пилотакситовой структурой состоит из лейст или микролитов лабрадора № 55-60, авгита и вулканического стекла. Оливин и гиперстен в основной массе наблюдаются редко. По химическому составу (анализы 58, 59, 62 — оливин-авгитовые; 60, 61 — авгитовые базальты) породы характеризуются повышенной щелочностью и высокой глиноzemистостью, иногда соответствую-

трапибазальтам (62) и трапиандезито-базальтам (58), и близки базальтам базальт-трапибазальтовой формации ОЧВП /4/.

#### ЧЕТВЕРТИЧНАЯ СИСТЕМА

Рыхлые четвертичные отложения развиты повсеместно. Основанием для их возрастного расчленения послужили данные спорово-пыльцевого анализа и геоморфологические критерии. По генезису различаются ледниковые, водно-ледниковые, аллювиальные, озерно-аллювиальные, озерно-болотные, а по возрасту – образования среднего, верхнего и современного звеньев. Современные аллювиальные, делювиальные, солифлюкционные и проловиальные образования на геологической карте из-за малой мощности не показаны.

#### Среднее звено

К отложениям самаровского оледенения ( $Q_{II}^2$ ) отнесены ледниковые и водно-ледниковые образования, широко распространенные в восточной части описываемого района (9-59-XI). Ледниковая толща, представленная конечной и основной мореной, сложена неслоистыми и несортированными валунными супесями, в составе которых отмечается беспорядочное скопление валунов, гальки, щебня, гравия и дресвы. Грубообломочная фракция в разной степени окатана. Преобладают хорошо окатанные округлые обломки. Состав пород самый разнообразный (преимущественно игнити-бриты риолитов и дацитов). Видимая мощность отложений до 180 м.

Водно-ледниковые отложения, представленные галечниками с прослоями песка, пространственно связаны с ледниковыми. Они прослеживаются со смежной с востока территорией, где в долине р. Прумкувеем изучены их разрезы и спорово-пыльцевые спектры /20/.

Ледниковые образования отнесены к самаровскому времени по аналогии со смежным с ним районом /6/. Спорово-пыльцевые спектры из ледниковых отложений, вскрытых расчисткой на левоберегье р. Куйивиавем, характеризуются преобладанием группы пыльцы древесно-кустарниковых растений (45-70%), состоящей преимущественно из пыльцы кустарниковой береск и ольховника; в небольшом количестве встречается пыльца ивы и кедрового стланника, в единичных зернах – древовидной береск. Среди пыльцы трав (20-50%) доминируют представители злаков или верескоцветных, существенно меньше пыльцы осок, полыни, гвоздичных, гречишных, розоцветных,

камнеломковых, лотиковых. В составе спор (5-15%) больше всего плауна сибирского; участие сфагновых иков, плаунов, кочедыжниковых папоротников незначительно.

#### Верхнее звено

Отложения казанцевского межледниково-я ( $Q_{III}$ ) распространены в бассейнах рек Энмываам (верхнее и среднее течение), Акадырь (9-59-XI), Ирумкувеем (9-59-XII) и представлены аллювием. Наиболее полный разрез их наблюдается на правобережье р. Энмываам, у устья р. Акайваам, где они залегают на игнити-бритах риолитов верхней подсвиты пыкарваамской свиты, обнажающихся в цоколе террасы <sup>x</sup>.

1. Суглинок с редкой галькой и гравием, в средней части прослой галечника (0,5 м) . . . . . 1,2 м
2. Галечник с гравием (30%) и песком (10%) с редкими прослоями (0,1 м) суглинка в нижней и верхней частях . . . . . 4 "
3. Галечник слоистый (слоистость обусловлена различным размером гальки в прослоях мощностью 0,4-0,5 м) . . . . . 5,5 "
4. Галечник с гравием (40%) и песком (10%) . . . . . 2,3 "
5. Галечник с гравием (10-30%) и песком (10-30%), слоистый (слоистость обусловлена чередованием прослоев (0,2-0,5 м) с различным содержанием гравия и песка), в средней части прослой супеси мощностью 0,2 м . . . . . 10,3 "
6. Гравий с галькой (30%) и супесью (10%); в нижней части линзы супеси и суглинка мощностью 0,1 м . . . . . 2,8 "
7. Галечник с гравием (10-30%) и песком (10-30%) слоистый (слоистость обусловлена чередованием прослоев (0,2-0,5 м) с различным содержанием гравия и песка); в средней части залегают линзы супеси и суглинка мощностью 0,1 м . . . . . 4,9 "

Мощность по разрезу 31 м.

Несколько иное строение описываемых образований выявлено в бассейне верхнего течения р. Энмываам. Здесь в нижней части аллювия залегают пески с прослоями (0,2-0,4 м) торфянников или суглин-

<sup>x/</sup> Здесь и далее описание разрезов четвертичных отложений приведено сверху вниз.

ки мощностью около 3 м, выше которых располагаются галечники мощностью 20 м. В торфяниках и суглинках обнаружены стволы и шишки лиственницы. Пески с прослойками торфяников вскрыты расчисткой на правобережье р.Энзываам у устья р.Перекатной, суглиники — на правобережье р.Чануэнваам.

В спорово-пыльцевых спектрах из описываемых отложений, вскрытых расчистками в долинах рек Энзываам (верхнее и среднее течение) и Кайэнзываам, обычно преобладает пыльца древесно-кустарниковых растений (40–60%), содержание пыльцы недревесесных растений составляет 30–60%, спор — 10–50%. В группе пыльцы древесно-кустарниковых растений доминирует пыльца кустарниковой берески и ольховника, в меньшем количестве присутствует пыльца кедрового стланика и ив, реже встречается пыльца лиственницы, ели, древовидной берескеты и ольхи. Среди пыльцы трав преобладают представители верескоцветных, злаков, осок, нередко полыни. Заметно участие лотиковых, гвоздичных, камнеломковых. В группе спор господствуют споры сфагновых и зеленых мхов, плаунов, кочедыжниковых папоротников. Кроме того, присутствуют споры плаунка сибирского.

В бассейне р.Брумкувеем аллювиальные галечники, отнесенные к казанцевскому времени, сопоставляются с отложениями, вскрытыми расчисткой за пределами рассматриваемой территории в долине р.Брумкувеем /20/, где они охарактеризованы аналогичными спорово-пыльцевыми спектрами.

К отложениям зиринского оледенения ( $Q_2^{III}$ ) относятся ледниковые и водно-ледниковые отложения, а вне ледниковой зоны — аллювиальные и озерно-аллювиальные. Ледниковые отложения в долине р.Анадырь (Q-59-X) слагают реликты небольшого по размерам конечноморенного вала и основную морену. Ледниковая толща сложена неслоистыми и несортированными валунными супесями, в составе которых отмечается беспорядочное скопление валунов, гальки, щебня, гравия и дресвы. Грубообломочная фракция в разной степени окатана, но преобладают угловатые обломки. Обломочный материал разнообразен по составу, в основном это игнимбриты дацитов, риолитов и базальты. Видимая мощность отложений до 100 м.

Водно-ледниковые отложения распространены в долине р.Анадырь (Q-59-X) и юго-восточной части района на левобережье р.Брумкувеем (Q-59-XII), где пространственно они связаны с ледниковыми образованиями. Водно-ледниковые отложения представлены галечниками с прослойками гравия и песка. Они прослеживаются со

смежных с юга и востока районов, где изучены их разрезы и спорово-пыльцевые спектры /6,20/.

Аллювиальные отложения распространены в долинах рек Энзываам, Гытгыныльваам (Q-59-X) и Кайэнзываам (Q-59-XI). Наиболее полный их разрез наблюдается в долине р.Энзываам на правобережье р.Акайваам, где они залегают на туфах андезитов коэквуинской свиты, обнажающихся в цоколе террасы:

1. Галечник с гравием (20%) . . . . .	0,3 м
2. Супесь с редкой галькой . . . . .	0,5 "
3. Галечник с гравием (10–40%) и песком (10–20%), слоистый (слоистость обусловлена различным содержанием гравия и песка в прослоях мощностью 0,3–0,5 м) . . . . .	2,7 "
4. Супесь с редкой галькой . . . . .	0,5 "
5. Гравий с галькой (30%) и песком (10%) . . . . .	0,2 "

Мощность по разрезу 4,2 м.

Озерно-аллювиальные отложения распространены в междуречье Энзываама-Брумкувеема у южной границы территории листа Q-59-XII и представлены песками и суглинками. Они прослеживаются со смежной с юга территории, где изучены их разрезы и спорово-пыльцевые спектры /6/.

Спорово-пыльцевые спектры из ледниковых отложений, вскрытых расчистками на левобережье рек Анадырь и Куйвыриннитеем, характеризуются преобладанием пыльцы древесно-кустарниковых растений (50–70%), состоящей почти исключительно из пыльцы кустарниковой берески и ольховника, в незначительном количестве встречается пыльца кедрового стланика и ив. Среди пыльцы трав (20–40%) преобладают представители злаков, верескоцветных, полыни, осок. В единичных зернах встречается пыльца гвоздичных, лотиковых, розоцветных, сложноцветных. Содержание спор обычно не превышает 15%. Примерно в равных соотношениях встречаются споры сфагновых мхов, кочедыжниковых папоротников, плаунка сибирского, плаунов.

В спорово-пыльцевых спектрах из аллювиальных отложений, вскрытых расчистками в долинах рек Энзываам (у устья р.Акайваам), Гытгыныльваам, Кайэнзываам и у оз.Яйгытын, преобладает пыльца травянистых растений (40–80%). Основными компонентами этой группы являются представители злаков, осок, полыни, гвоздичных. Реже обнаруживается пыльца верескоцветных, синюховых, лотиковых, розоцветных. Древесно-кустарниковая группа (10–40%) представлена преимущественно пыльцой кустарниковых береск и ольховника, в меньшем количестве — ив и кедрового стланика. В группе спор

(10-25%) резко преобладают споры плаунка сибирского при малом участии спор сфагновых и зеленых мхов, кочедыжниковых папоротников, плаунов.

Отложения каргинского межстадиала ( $Q_{III}^3$ ) представлены аллювиальными галечниками в бассейнах рек Анадырь (Q-59-X) и Брумкувеем (Q-59-XII). Они прослеживаются со смежных с юга и востока районов, где изучены их разрезы и спорово-пыльцевые спектры /12,20/.

Отложения сартанского оледенения ( $Q_{III}^4$ ) представлены аллювием в долинах рек Энмываам (Q-59-X) и Куйвивеем (Q-59-XII). На правобережье р.Акайваам, у впадения ее в р.Энмываам, расчисткой вскрыт следующий разрез этих образований:

1. Галечник с линзой супеси мощностью 0,1 м в средней части . . . . .	0,9 м
2. Галечник с гравием (30%) и песком (10%) . . . . .	1,2 "
3. Песок с гравием (20%) и супесью (10%) . . . . .	0,9 "
Мощность по разрезу	3,3 м.

В спорово-пыльцевых спектрах из этих отложений отмечается различное соотношение пыльцы древесно-кустарниковых (15-55%), травянистых (15-25%) растений и спор (20-60%). Среди пыльцы древесно-кустарниковых растений резко доминирует пыльца ольховника и кустарниковых бересок. Группа травянистых растений представлена преимущественно пыльцой злаковых, осоковых и гвоздичных. В группе спор преобладают то споры плаунка сибирского, то кочедыжниковых папоротников при малом участии спор плаунов и хвощей.

В долине р.Куйвивеем галечники, отнесенные к сартанскому времени, сопоставляются с аналогичными образованиями, распространенными на смежной с востока территории в долине р.Брумкувеем, где изучены их разрезы и спорово-пыльцевые спектры /20/.

#### Современное звено ( $Q_{IV}$ )

Современные отложения представлены русловым и пойменным аллювием, озерно-болотными, элювиальными, делювиальными, солифлюкционными и проловиальными отложениями. Русловой аллювий в верховьях ручьев представлен плохо сортированными и плохо окатанными галечниками, в нижнем течении рек - слоистыми галечниками с примесью (20-30%) песка и гравия. Пойменный аллювий в верхней части отложений сложен песками мощностью около 1 м с прослойками торфа и суглинка, в нижней - слоистыми галечниками с примесью песка и гравия видимой мощность до 3 м.

Озерно-болотные отложения, накапливающиеся в днищах термо-карстовых котловин и западин, представлены суглинками с прослойками торфа и супеси. Мощность около 5 м. Элювиальные и делювиальные образования мощностью 2-3 м сложены несортированным скоплением дресвы, щебня и глыб. В составе солифлюкционных и проловиальных отложений, мощность которых достигает 10 м, кроме дресвы и щебня, постоянно присутствует супесь или суглинок (до 50%).

### ИНТРУЗИВНЫЕ ОБРАЗОВАНИЯ

Выходы интрузивных пород занимают площадь около 150 км<sup>2</sup>. Проявления интрузивной деятельности относятся ко времени становления ОЧВП. Среди интрузивных образований выделяются позднемеловые интрузии, а также альб-семонамские, позднемеловые и палеогеновые субвуликанические тела и дайки.

#### ПОЗДНЕМЕЛОВЫЕ ИНТРУЗИИ

Позднемеловые интрузивные породы занимают площадь около 10 км<sup>2</sup> и слагают штоки размером до 3 км в поперечнике, распространенные преимущественно в восточной части района. Они представлены биотит-широксеновыми диоритами ( $\delta K_2$ ), биотит-пироксен-широксеновыми монцонитами ( $\gamma \nu K_2$ ) и биотит-пироксен-роговообманковыми гранит-порфирями ( $\tau \pi K_2$ ). Диориты захартированы в южной части территории листа Q-59-X, на левобережье рек Энукэрэтвеем (Q-59-XI), Вол.Куйынэрэт (Q-59-XII); кварцевые монцониты - в районе г.Ступенька (Q-59-XI) и на правобережье р.Брумкувеем (Q-59-XII); гранит-порфирь - на правобережье р.Брумкувеем. Интрузивные породы размещаются в полях развития искукуньской, энукэрэтской, аргываамской и веланайской свит.

Эндоконтактные изменения в диоритах и кварцевых монцонитах выражаются в уменьшении размера минеральных зерен и появлении порфировидной структуры. Гранит-порфирь в эндоконтакте имеет более мелкозернистую основную массу и иногда микропегматитовую структуру. Мощность эндоконтактовой зоны в диоритах составляет около 10 м, в кварцевых монцонитах и гранит-порфирах - первые метры.

В кварцевых монцонитах в районе г.Ступенька обнаружены ксенолиты диоритов, а в гранит-порфирах на правобережье р.Брумкувеем - ксенолиты кварцевых монцонитов. Иногда в интрузивных породах содержатся редкие остроугольные (до 10 см) ксенолиты вмещающих вулканитов.

Контактовый метаморфизм выражен в образовании очень узкой (20–30 см) зоны роговиков и более широкой (10–20 см) зоны биотитизации. Роговики по кристалловитрохластическим туфам дацитов нижней подсвиты эмунэрэтской свиты у контакта с кварцевыми монцонитами (район г. Ступенька) и роговики по игнобритам дацитов западной свиты у контакта с гранит-порфирами (правобережье р. Друмкувеем) состоят из микрогранобластового агрегата плагиоклаза, кварца и калиевого полевого шпата. Реликтовый плагиоклаз кристаллоклассической части деамортанизирован. Биотитизация проявлена в виде пятнистых скоплений малых чешуек биотита, развитого по основной массе, и темноцветным минералом. Иногда вместе с биотитом обнаруживаются радиально-лучистые агрегаты турмалина размером до 0,1 мм в поперечнике (на геологической карте зоны биотитизации показаны как контактово-измененные породы).

**Диориты ( $\delta K_2$ )** – серые среднезернистые массивные породы, сложенные непрерывно-зональным плагиоклазом с битовитом № 77 в ядрах и андезином № 30 в краевых каймах (68%)<sup>x/</sup>, салитом ( $c:Ng=44^\circ$ ,  $+2V=54^\circ$ ) – 19%, пелитизированным калиевым полевым шпатом ( $b:Ng=4^\circ$ ,  $-2V=60^\circ$ ) с перититами распада – 5%, кварцем – 3%, биотитом – 1%. Аксессорные минералы (4%) – магнетит, циркон, апатит. Структура диоритов гипидиоморфозернистая. Калиевый полевой шпат и кварц обычно находятся в микролегматитовых сростках. По химическому составу (табл. 3, ан. I) породы близки к габбро и характеризуются повышенной щелочностью.

**Кварцевые монцониты ( $q\gamma K_2$ )** – розовато-серые, среднезернистые массивные породы. Минеральный состав: непрерывно-зональный плагиоклаз с андезином № 42 в ядрах и олигоклазом № 22 в краевых каймах – 50%; пелитизированный калиевый полевой шпат ( $b:Ng=8^\circ$ ,  $-2V=58-62^\circ$ ) с перититами распада – 24%, кварц – 10%, салит ( $c:Ng=42^\circ$ ,  $+2V=58^\circ$ ), уралитизированный – 10%, биотит – 2%. Аксессорные минералы (4%) – магнетит, апатит, циркон. Структура гипидиоморфозернистая, микролегматитовая. Калиевый полевой шпат часто образует тонкие каймы обрастания вокруг плагиоклаза. По химическому составу (анализы 2–6) породы характеризуются изменчивостью главным образом в соотношении  $K_2O:Na_2O$ .

**Гранит-порфиры ( $g\gamma K_2$ )** – светло-серые с розоватым оттенком малозернистые массивные породы. Минеральный состав: олигоклаз № 29–30 – 35%, калиевый полевой шпат – 32%,

Таблица 3

Химический состав позднемеловых интрузивных пород

Состав окислов	Позднемеловые интрузии						
	Диорит		Кварцевые монцониты			Гранит- порфир	
	OI069-I	I69-2	III5I-9	I425-8	339	765	827-I
	I	2	3	4	5	6	7
$SiO_2$	53,20	58,41	60,85	61,43	61,90	59,62	67,15
$TiO_2$	0,92	0,77	0,69	0,69	0,31	0,81	0,60
$Al_2O_3$	18,38	15,84	16,52	16,99	17,73	16,99	16,80
$Fe_2O_3$	3,91	4,24	2,31	2,93	2,50	3,16	0,36
$FeO$	4,81	2,28	3,25	2,79	2,25	3,03	1,87
$MnO$	0,14	0,18	0,12	0,12	0,09	0,09	0,09
$MgO$	4,71	2,90	2,67	2,57	1,90	3,39	0,92
$CaO$	8,03	4,59	4,85	5,36	3,64	4,39	1,97
$Na_2O$	3,05	3,41	3,38	3,45	4,58	3,84	4,72
$K_2O$	0,92	3,63	3,72	2,82	1,81	2,65	4,03
$H_2O^-$	0,23	1,03	0,10	0,09	0,06	0,24	0,12
$H_2O^+$	Не опр.	2,19	Не опр.	Не опр.	2,12	1,25	0,60
$P_{2O_5}$	0,34	0,24	0,23	0,23	0,20	0,20	0,17
$CO_2$	Не опр.	0,29	Не опр.	Не опр.	0,70	Не обн.	Не обн.
П.п.п.	0,82	3,58	0,84	0,38	2,41	1,04	0,26
$\Sigma$	99,46	100,00	99,53	99,85	99,79	99,66	100,07

<sup>x/</sup> Здесь и далее приведены средние содержания.

Продолжение табл.3

Числовые характеристики по А.Н.Завариному

	1	2	3	4	5	6	7
a	8,5	13,3	13,1	11,9	12,9	12,7	16,1
c	8,7	4,4	4,7	5,6	4,6	5,3	2,2
b	18,4	12,7	11,2	10,8	10,1	11,9	5,6
s	64,4	69,6	71,0	71,7	72,4	70,1	76,1
a'	-	-	-	-	22,9	-	25,3
r'	45,9	48,7	47,2	49,7	44,5	48,5	47,0
m'	45,5	40,1	41,3	41,0	32,7	49,7	27,7
c'	8,7	11,2	11,5	9,3	-	1,8	-
n	83,4	58,8	58,0	65,0	79,5	68,4	63,6
t	1,3	1,0	0,8	0,8	0,4	1,0	0,7
p	19,1	29,6	18,0	23,6	22,2	23,1	14,4
Q	3,2	8,4	11,2	13,9	14,4	9,4	17,8
a:c	1,0	3,0	2,8	2,1	2,8	2,4	7,3

При меч ани е. Анализы 1–4 описаны в работе В.И.Чубарова /32/, анализы 5–7 – в работе В.Г.Желтовского /25/.

кварц – 27%, зеленая обыкновенная роговая обманка ( $c:Ng=17^{\circ}$ ,  $-2v=70^{\circ}$ ) – 3%, биотит – 1%, салит ( $c:Ng=40^{\circ}$ ,  $+2v=58^{\circ}$ ), в основном уралитизирован – 1%). Аксессорные минералы (%) – магнетит, апатит, циркон, сфен. Плагиоклаз и темноцветные минералы сосредоточены в порфировидных выделениях размером 2–3 мм. Основная масса аplitовая и гранулитовая. По химическому составу (ан.7) гранит-порфиры характеризуются низким содержанием кремнезема и высоким содержанием щелочей, относятся к субщелочным.

В аномальном магнетитовом поле  $\Delta Ta$  (рис. I, 2) интрузивные тела находят отражение в виде положительных аномалий. По данным аэромагнитной съемки /30/, на глубине до 1 км предполагается значительно больший объем невскрытых интрузивов в междууречье Мечелкынэтвеем – Эмываам, Эмываам – Куйвивеем, Эмываам – Боруккувеем ( Q-59-XI, XII).

Нижняя возрастная граница интрузий устанавливается по активным контактам гранит-порфиров с вулканитами вепланской свиты сенона. На сменной с юга территории интрузивные породы имеют активные контакты с вулканитами эмываамской свиты сенона и пересекаются палеогеновыми дайками базальтов /6/.

В позднемеловых интрузиях повторяются те же петрохимические типы пород, которые характерны для вулканических толщ. О гипабиссальной обстановке формирования интрузивов свидетельствует точайшая зональность плагиоклазов, никакая степень упорядоченности калиевых полевых шпатов и микролегматитовая структура, а также слабое контактовое воздействие на вмещающие породы. Асимиляция ксенолитов вмещающих пород незначительна, что определяет процесс интрузии как чисто механический. Последовательность внедрения гомодромная: диориты-кварцевые монzonиты – гранит-порфирь.

#### СУБВУЛКАНИЧЕСКИЕ ПОРОДЫ

##### Альб-сеноманские субвулканические тела и дайки

К этой группе относятся оливин-авгитовые и авгитовые базальты, авгитовые андезиты, игнimbриты риолитов и риолиты. Эти образования пространственно связаны с полями развития альб-сеноманских вулканитов, среди которых обычно обнаруживаются петрографические аналоги вулканических пород, что позволяет предполагать их комагматичность.

О л и в и н - а в г и т о в ы е б а з а л ь т ы ( $PK_{1-2?}$ ) распространены в бассейнах рек Мечеринэт и Мышкарэнэт ( Q-59-X ), где слагают тела сложной конфигурации в плане с крутыми контактами (до 4 км в поперечнике) и обычно ветвящиеся дайки мощностью от 1 до 20 м и длиной до 1,5 км. Простижение даек преимущественно северо-западное и северо-восточное. Тела и дайки сосредоточены в полосе вдоль северо-восточных разрывов. Они локализуются в вулканитах хозивульской свиты, среди которых, однако, петрографические аналоги субвулканических пород не установлены. Для субвулканических тел характерна псевдошаровая от-

Q-59-X

Q-59-XI,XII



Q-59-X

Q-59-XI,XII

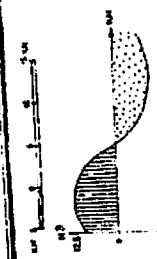


Рис. 2. Карта геомагнитного поля Ата (графики)

дельность и наличие окисленных, винтовой окраски разновидностей в зоне эндоконтакта мощностью около 1 м.

Оливин-авгитовые базальты – черные микропорфировые массивные породы. Микропорфировые выделения (5–10%) представлены биотитом № 65, авгитом и оливином. Основная масса с толентовой структурой состоит из микролитов битовнита № 75, авгита и бурого изотропного вулканического стекла. По химическому составу (табл. 4, анализы 1, 2) породы характеризуются умеренной глиноземистостью и иногда преобладанием  $K_2O$  над  $Na_2O$  (ан.2).

Авгитовые базальты ( $\beta K_{1-2}$ ) распространены к северу и югу от Останцовских гор (Q-59-X). Они слагают штоки размером до 2 км в поперечнике и дайки мощностью до 40 м и длиной до 3 км, сосредоточенные вдоль разрывов северо-восточного и близширотного простирания. Дайки обычно ориентированы параллельно этим разрывам. Субвулканические базальты пространственно ассоциируют с петрографически сходными базальтами козкунской свиты. Это черные микропорфировые массивные породы. Микропорфировые выделения (10–15%) – лабрадор № 65 (8–12%) и авгит. Основная масса с пилотакситовой и интерсертальной структурой состоит из микролитов лабрадора № 50, авгита и вулканического стекла, замещенного хлоритом, эпидотом и харбонатом. По химическому составу (анализы 3, 4) породы характеризуются высокой глиноземистостью; иногда щелочность их повышена и  $K_2O$  преобладает над  $Na_2O$  (ан.3), местами же они близки к низкощелочным андезито-базальтам (ан.4).

Авгитовые андезиты ( $\alpha K_{1-2}$ ) слагают пластовую залежь на северных склонах Останцовских гор (Q-59-X) среди покровных игнимбритов пыкарваамской свиты (мощность 120 м, протяженность выхода по простиранию 10 км). Дайковый апофиз залежи северо-восточного простирания мощностью 15–20 м и длиной 1,5 км пересекает субвулканические риолиты и игнимбриты пыкарваамской свиты. На южных отрогах гор авгитовые андезиты слагают многочисленные штоки размером до 4 км в поперечнике, приуроченные к зоне разрывов близширотного направления. Субвулканические андезиты пространственно ассоциируют с вулканитами козкунской свиты, в которой имеются их петрографические аналоги. Это зеленовато-серые крупнопорфировые массивные породы. Порфировые выделения (10–15%) представлены лабрадором № 60 и альбитом. Изредка присутствуют опацитизированные биотит и роговая обманка. Основная масса с гиалиновой, флюидально-гиалиновой и гиалопилитовой структурой сложена микролитами андезина № 42–47 и вулканическим стеклом.

лом с микрофельзитовой и микропойкилобластовой структурой девитрификации. По химическому составу (анализы 5–7) породы характеризуются повышенной щелочностью и близки к трахиандезитам (ан.7).

Игнимбриты риолитов ( $\lambda K_{1-2}$ ) выполняют дайки различного простираия мощностью до 10 м и длиной до 100 м, а также трубки размером до 600 м в поперечнике. Они распространены в бассейне р. Прав. Угаты и в Останцовских горах (Q-59-X), где локализуются среди петрографических сходных покровных вулканитов пыкарваамской свиты. Игнимбриты риолитов – коричневые порфиrolастические породы с микроигнимбритовой структурой основной массы и псевдофлюидально-очковой текстурой. Кристаллоластическая часть (40–50%) представлена олигоклазом № 25–30 (30–35%), кварцем (5–10%), биотитом и иногда роговой обманкой. Стекло основной массы превращено в микрофельзитовый агрегат.

Риолиты ( $\lambda K_{1-2}$ ) закартированы на северных отрогах Останцовских гор, где образуют пластовую залежь мощностью 120 м, прослеживающуюся по простираию на 5 км. Она залегает в игнимбритах пыкарваамской свиты, среди вулканитов которой петрографические аналоги субвулканических пород не обнаружены. Риолиты – светло-серые массивные породы с крупными порфировыми выделениями (40–50%) олигоклаза № 25–30 (30–35%), кварца (5–10%), опацитизированных биотита и роговой обманки. Основная масса – вулканическое стекло с микропойкилобластовой и сферолитовой структурой.

#### Позднемеловые субвулканические тела и дайки

К этой группе относятся оливин-авгитовые и авгитовые базальты, авгит-гиперстеновые андезито-базальты, авгитовые андезиты, игнимбриты андезитов, авгит-гиперстеновые, роговообманковые и биотит-авгитовые андезито-дациты, игнимбриты дацитов, риодакитов и риолитов, риолиты, трахириолиты и эксплозивные брекчи. Эти образования пространственно связаны с полями развития позднемеловых вулканитов, среди которых обычно обнаруживаются петрографические аналоги субвулканических пород, что позволяет предполагать их комагматичность.

Оливин-авгитовые базальты ( $\beta K_2$ ) слагают штоки размером до 1,5 км в поперечнике и дайки мощностью 10–20 м и длиной до 200 м, пространственно связанные с петрографически сходными базальтами верхней подсвиты эмунэретской свиты. В междуречье Кайырываам – Анадырь и Анадырь – Энмываам

Таблица 4

## Химический состав субвулканических пород

Состав окис- лов	Альб-секоманские субвулканические						
	Оливин-авгито- вые базальты		Авгитовые базальты		Авгитовые андезиты		
	041	0542	440-3	462	0105	25222	440
	I	2	3	4	5	6	7
SiO <sub>2</sub>	49,70	49,90	48,31	52,39	61,19	61,33	60,69
TiO <sub>2</sub>	0,78	0,79	1,06	0,97	0,68	0,67	0,97
Al <sub>2</sub> O <sub>3</sub>	15,46	14,51	16,62	17,20	16,12	16,51	17,05
Fe <sub>2</sub> O <sub>3</sub>	5,12	4,58	2,12	3,48	2,34	1,29	2,42
FeO	5,00	3,21	6,50	5,61	3,54	4,20	3,77
MnO	0,18	0,14	0,18	0,18	0,09	0,17	0,09
MgO	7,73	7,49	5,32	5,32	3,30	2,42	1,59
CaO	10,33	6,99	7,41	9,59	5,33	5,10	4,10
K <sub>2</sub> O	1,91	1,94	1,49	2,44	2,68	3,83	3,69
Na <sub>2</sub> O	0,85	1,96	2,54	0,74	2,37	1,18	3,34
H <sub>2</sub> O <sup>-</sup>	0,25	4,93	0,32	0,18	0,55	0,35	0,10
H <sub>2</sub> O <sup>+</sup>	Не опр.	2,49	4,20	Не опр.	Не опр.	Не опр.	
P <sub>2</sub> O <sub>5</sub>	0,28	0,28	0,38	0,25	0,23	0,22	0,34
CO <sub>2</sub>	Не опр.	0,42	3,12	Не опр.	Не опр.	Не опр.	
П.п.п.	1,88	7,56 <sup>x/</sup>	7,14 <sup>x/</sup>	1,38	1,51	2,34	1,56
Σ	99,47	99,63	99,57	99,73	99,93	99,61	99,71

<sup>x/</sup> Не входят в сумму.

тела и дайки		Позднемеловые субвулканические тела и дайки					
Оливин-авгитовые базальты		Авгитовые базальты		Авгит-гиперстено-ый андезито-базальт		Авгитовый андезит	
93	81 <sup>b</sup>	I478	I082 <sup>d</sup>	I0093	609-I	01010-2	
8	9	I0	II	I2	I3	I4	
51,83	51,60	49,35	50,72	54,43	60,48	60,70	
0,82	0,89	1,12	0,85	0,92	0,75	0,50	
17,33	17,22	17,62	19,52	18,12	16,70	16,45	
2,51	2,52	3,76	4,85	4,II	2,90	2,52	
6,26	6,90	6,43	4,50	3,97	2,84	2,14	
0,16	0,17	0,21	0,30	0,14	0,09	0,20	
6,38	7,50	5,19	5,12	4,06	2,98	1,94	
8,31	9,54	8,57	8,15	7,84	4,64	7,35	
1,60	2,35	2,40	3,64	2,91	3,61	3,78	
2,23	1,32	1,24	0,50	1,55	2,56	1,15	
0,49	Не обн.	0,15	0,51	0,26	0,54	0,31	
1,33	Не обн.	Не опр.	1,40	Не опр.	1,26	Не опр.	
0,25	Не обн.	0,33	0,15	0,48	0,29	0,23	
Не обн.	Не обн.	Не опр.	Не обн.	Не опр.	Не обн.	Не опр.	
x/ I,02	x/ I,21	3,09	x/ I,32	I,01	x/ I,32	2,64	
99,50	100,01	99,46	100,21	99,80	99,54	99,91	

Числовые характеристики

	I	2	3	4	5	6	7
a	5,6	7,7	7,8	6,7	9,6	10,6	13,5
c	7,8	6,6	8,6	8,6	6,3	6,2	5,1
b	28,0	24,0	20,0	21,7	II,7	10,0	8,8
s	58,6	61,7	62,7	62,9	72,3	73,2	72,6
a	-	-	-	-	-	-	-
r'	34,0	32,0	44,0	40,6	47,8	54,9	67,9
m'	47,9	57,2	48,6	43,2	49,0	42,8	31,7
c'	18,1	10,8	7,4	16,2	3,9	2,3	0,7
n	77,3	59,5	47,1	83,4	63,2	83,1	62,7
t	1,2	1,2	1,6	1,4	0,8	0,8	1,2
φ	16,0	17,8	9,8	14,3	17,6	11,8	24,4
Q	-1,8	1,7	1,2	3,7	19,0	19,1	13,1
a:c	0,7	1,2	0,9	0,8	1,5	1,7	2,6

Продолжение табл.4

по А.Н.Заварницкому

8	9	10	II	I2	I3	I4
7,1	7,1	7,6	9,3	9,1	12,0	10,4
8,6	8,0	8,9	9,2	8,2	5,5	6,3
21,9	25,3	22,1	20,7	16,8	10,9	11,0
62,4	59,6	61,4	62,0	65,9	71,6	72,3
-	-	-	-	-	3,2	-
39,4	35,2	46,5	46,7	46,3	49,0	41,3
51,6	50,4	42,9	46,7	42,9	47,8	31,0
9,0	14,4	10,6	6,6	10,8	-	27,6
52,2	73,0	74,6	92,2	74,0	67,9	83,3
1,2	1,3	1,7	1,3	1,3	0,9	0,6
10,3	8,6	15,7	22,1	21,9	23,3	20,3
2,1	-3,0	-1,3	5,0	5,3	13,7	17,5
0,8	0,9	0,9	1,0	1,1	2,2	1,7

## Числовые характеристики по А.Н.Заваринскому

	I5	I6	I7	I8	I9	I0	I1
a	12,0	11,8	13,2	9,3	13,5	13,9	13,2
c	5,5	5,9	4,2	2,7	1,6	1,4	1,6
b	7,5	9,9	7,1	7,4	3,7	4,1	3,4
s	75,0	72,4	75,5	80,6	81,2	80,6	81,7
a'	-	-	9,1	58,4	45,6	53,3	16,4
f'	50,4	47,7	57,3	20,7	38,9	26,7	58,7
m'	47,2	48,2	33,6	10,7	15,5	20,0	24,8
c'	2,4	4,1	-	-	-	-	-
n	82,9	70,6	62,9	47,0	68,3	55,3	49,8
t	0,5	0,8	0,7	0,2	0,2	0,25	0,3
φ	28,7	28,8	35,3	13,2	19,6	23,3	30,9
Q	20,5	15,3	20,5	39,9	33,7	32,0	35,4
a:c	2,2	2,1	3,2	3,4	8,7	9,9	8,3

Состав окислов	Позднемеловые субвулканические тела и дайки						
	Рогово- обманко- вый ан- дезито- дайт	Биотит- авгито- вый ан- дезито- дайт	Игним- брит дацита	Игним- брит риода- цита	Игнимбриты риолитов	Риолит	
	01015	01028-5	I2I36-I	32I-I	46I	320	6502
	15	16	I7	I8	I9	20	21
SiO <sub>2</sub>	64,46	61,56	65,17	68,95	70,55	71,16	73,72
TiO <sub>2</sub>	0,44	0,63	0,65	0,22	0,19	0,24	0,28
Al <sub>2</sub> O <sub>3</sub>	16,88	I7,11	I6,35	I3,88	I3,58	I4,20	I3,05
Fe <sub>2</sub> O <sub>3</sub>	2,48	3,26	2,89	I,13	0,85	I,11	I,28
FeO	I,63	I,86	I,56	0,61	0,67	0,17	I,00
MnO	0,06	0,07	0,06	0,03	0,08	0,04	0,04
MgO	2,06	2,76	I,39	0,90	0,34	0,49	0,52
CaO	4,60	5,02	3,37	2,16	I,27	I,14	I,35
Na <sub>2</sub> O	4,43	3,68	3,73	I,89	4,16	3,54	3,08
K <sub>2</sub> O	I,39	2,33	3,34	3,26	2,93	4,28	4,71
H <sub>2</sub> O <sup>-</sup>	0,25	0,47	0,25	2,81	0,81	0,56	0,07
H <sub>2</sub> O <sup>+</sup>	Не опр.	Не опр.	Не опр.	3,74	4,16	2,44	Не опр.
P <sub>2</sub> O <sub>5</sub>	0,17	0,28	0,15	0,07	0,04	0,06	0,07
CO <sub>2</sub>	Не опр.	Не опр.	Не опр.	Не обн.	Не обн.	Не обн.	Не опр.
П.п.п.	0,92	I,00	I,19	6,69 <sup>x/</sup>	5,09 <sup>x/</sup>	3,35 <sup>x/</sup>	0,60
Σ	99,77	I00,03	I00,I0	99,65	99,63	99,63	99,77

x/ Не входят в сумму.

П р и м е ч а н и е. Анализы I-7, I0, I2, I4 описаны в работе В.И.Чубарова /32/, анализы 8, 9 - в работе В.Ф.Белого /4/, анализы II, I3 - в работе В.Г.Желтовского.

(Q-59-X) штоки и дайки сосредоточены вдоль дуговых и кольцевых разрывов, ограничивающих отрицательные вулканоструктуры. Дайки часто ориентированы параллельно этим разрывам или параллельно разрывам, расположенным радиально по отношению к вулканоструктурам. На левобережье р.Бол.Куйынэрет, в бассейнах рек Лев. и Прав.Куйвивеем (Q-59-XII), дайки базальтов ориентированы параллельно прямолинейным разрывам северо-западного простирания.

Оливин-авгитовые базальты - черные микропорфировые массивные породы. Микропорфировые выделения (10-15%) - лабрадор № 70, оливин, авгит. Основная масса с долеритовой и толентовой структурой состоит из микролитов лабрадора № 60, авгита, оливина (замещен иддингитом) и бурого изотропного вулканического стекла. По химическому составу (анализы 8, 9) породы характеризуются высокой глиноземистостью и иногда преобладанием  $K_2O$  над  $Na_2O$  (ан.8).

Авгитовые базальты ( $\beta K_2$ ) широко распространены в бассейнах рек Энзываам (среднее течение) и Куйвивеем. Они размеждаются как в вулканитах энзываамской свиты, в которой имеются их петрографические аналоги, так и в подстилающих образованиях, иногда на значительном удалении от поля развития энзываамских эффузивов. Обычно авгитовые базальты слагают штоки размером до 800 м в поперечнике и дайки мощностью до 50 м и длиной до 3 км. Дайки часто ориентированы параллельно прямолинейным разрывам северо-западного или северо-восточного простирания. На левобережье р.Сред.Эмунэретвеем (Q-59-XI) авгитовые базальты образуют кольцевую интрузию (диаметра около 400 м, размер в поперечнике по внешнему диаметру 1,2 км), от которой в южном направлении отвечаются многочисленные дайки, расположенные по отношению к интрузии радиально. На правобережье р.Куйвивеем (Q-59-XII) описываемые образования слагают наклонноеобразное тело мощностью 150 м (площадь выхода 20 км<sup>2</sup>).

Авгитовые базальты - черные микропорфировые, иногда крупнопорфировые массивные породы. В микропорфировых базальтах вкрапленники (10-15%) представлены лабрадором № 65-70 и авгитом (2-3%). Основная масса с интерсертальной и пилотакситовой структурой сложена микролитами лабрадора № 55-60, авгитом и вулканическим стеклом, часто замещенным хлоритом. В крупнопорфировых разновидностях (левобережье р.Эмунэретвеем, правобережье р.Куйвивеем) вкрапленники (20-25%) представлены битовитом № 80-85 и авгитом (5%), которые часто образуют гломеропорфировые сростки. Основная масса с долеритовой, диабазовой и толентовой структурой сложена лейстами лабрадора № 60, авгитом и бурым

изотропным вулканическим стеклом (до 5%). По химическому составу (ан.10 - крупнопорфировые, ан.11 - микропорфировые базальты) породы характеризуются высокой глиноземистостью и повышенной щелочностью.

Авгит-гиперстеновые андезито-базальты ( $\alpha\beta K_2$ ) в междуречье Затерянная - Энзываам (Q-59-XII) слагают штоки размером до 1 км в поперечнике, а в междуречье Кайэнзываам - Мэрэваам (Q-59-XI) - дайки северо-западного и северо-восточного простирания мощностью 10-20 м и длиной до 200 м. Штоки располагаются в центральной части отрицательной вулканоструктуры, а дайки на удалении от нее. Описываемые образования пространственно ассоциируют с петрографически аналогичными эффузивами энзываамской свиты. Авгит-гиперстеновые андезито-базальты - породы с черной стекловидной основной массой и крупными порфировыми выделениями (10-15%) белого лабрадора № 60-65 (5-6 мм), авгита и гиперстена (2-3 мм). Основная масса с гиалопилитовой и интерсертальной структурой, состоит из микролитов андезина № 47, авгита и бурого изотропного вулканического стекла. По химическому составу (ан.12) породы характеризуются высокой глиноземистостью.

Авгитовые андезиты ( $\alpha K_2$ ) слагают штоки размером около 400 м в поперечнике в верховье руч.Леоновского (Q-59-XII) и пластовую залежь мощность 50 м (протяженность выхода по простиранию 3 км) на северном склоне г.Айналынай (Q-59-XII). Описываемые образования располагаются в обрамлении отрицательной вулканоструктуры, выполненной эффузивами энзываамской свиты, среди которых имеются петрографические аналоги субвулканических пород. Это серые с зеленоватым оттенком порфировые массивные породы. Вкрапленники (10-15%) представлены лабрадором № 55-60 и авгитом. Основная масса с гиалопилитовой, флюидально-гиалопилитовой, редко интерсертальной структурой, сложена микролитами андезина № 40-45 и вулканическим стеклом с микрофельзитовой структурой девитрификации. Химический состав приведен в табл.4 (ан.13).

Игнимбриты андезитов ( $\alpha\beta K_2$ ) слагают дайки мощностью 50-100 м и длиной до 600 м на правобережье р.Энзываам у устья р.Пырканайваам (Q-59-XI). Они ориентированы параллельно прямолинейным разрывам северо-западного и северо-восточного направления. Описываемые образования размещаются в вулканитах энзываамской свиты, среди которых, однако, их петрографические аналоги не установлены. Это светло-зеленые кристаллические аналоги не установлены. Это светло-зеленые кристал-

локластические породы с микроигнimbритовой структурой основной массы. Текстура псевдофлюидальная. Кристаллолокластический материал (80-90%) представлен андезином № 40 (60-70%), роговой обманкой и биотитом. Стекло основной массы изотропное, бурое. Химический состав приведен в табл.4 (ан.14).

А в г и т - г и л е р с т е н о в ы е а н д е з и т о - д а ц и т ы ( $\alpha\zeta K_2$ ) в виде штоков размером до 1 км в поперечнике и редко даек различного простирания (мощность до 10 м, длина до 100 м) сконцентрированы в полосе северо-восточного направления от р.Анадырь на юго-западе (Q-59-X) до р.Юрмуквеем на северо-востоке (Q-59-XII). Они локализуются в пределах отрицательных вулканоструктур, выполненных вулканитами нижней подсвиты эмунэрэтской свиты и пространственно ассоциируют с экструзивными куполами андезито-дацитов. Авгит-гиперстеновые андезито-дациты - черные порфировые массивные породы. Порфировые выделения (5-10%) - лабрадор № 52-55, авгит и гиперстен. Основная масса с гиалиновой, гиалопилитовой, флюидально-гиалиновой и флюидально-гиалопилитовой структурой сложена вулканическим стеклом с микропойкилобластовой структурой и микролитами андезина № 40.

Р о г о в о о б и м а н к о в ы е а н д е з и т о - д а ц и т ы ( $\alpha\zeta K_2$ ) образуют штоки размером до 2 км в поперечнике, пластовые залежи (мощность до 100 м, протяженность выходов по простиранию до 2 км), дайки близширотного и северо-западного простирания (мощность 10-20 м, длина до 100 м). Они распространены в междуречье Мэрэваам - Эмываам (Q-59-XI, XII) в поле развития эмываамской свиты, среди эффузивов которой, однако, петрографические аналоги субвулканических пород не установлены. Субвулканические тела и дайки сконцентрированы вдоль дуговых разрывов, ограничивающих отрицательную вулканоструктуру. Дайки ориентированы параллельно прямолинейным разрывам, пересекающим ее. Описываемые образования - серые мелкопорфировые массивные породы. Порфировые выделения (10%) представлены андезином № 50 и игольчатыми выделениями опакитизированной роговой обманки. Основная масса с пилотакситовой структурой состоит в основном из микролитов андезина № 40 и вулканического стекла (около 10%) с микрофельзитовой структурой девитрифициации. Химический состав приведен в табл.4 (ан.15).

Б и о т и т - а в г и т о в ы е а н д е з и т о - д а ц и т ы ( $\alpha\zeta K_2$ ) закартированы на левобережье и правобережье р.Эмываам у устья р.Губокой (Q-59-XII), где слагают шток размером 1 км в поперечнике и лакколитообразное тело видимой мощ-

ностью 130 м и площадью выхода 3 км<sup>2</sup> (кровля его уничтожена эрозией). Они расположены в борту отрицательной вулканоструктуры и пространственно ассоциируют с петрографически сходными эффузивами эмываамской свиты, от которых отличаются меньшим количеством вулканического стекла. Это темно-серые с зеленоватым оттенком порфировые массивные породы. Порфировые выделения (10-15%) представлены андезином № 45-50, авгитом и биотитом. Основная масса с пилотакситовой структурой состоит в основном из микролитов андезина № 35-40 и вулканического стекла (около 10%), превращенного в микрофельзитовый агрегат. Химический состав биотит-авгитовых андезито-дацитов (ан.16) характеризуется более высоким, чем у роговообманковых разновидностей, содержанием  $K_2O$ .

И г н и м б р и т ы д а ц и т о в ( $\lambda\tau K_2$ ) в виде трубок размером до 1 км в поперечнике и даек различного простирания (мощность до 50 м, длина до 400 м) закартированы в бассейне р.Мыкарэнэт (Q-59-X), в верховьях рек Лев.Мечекрынэтвеем, Прав.Куйивеем и в бассейне р.Эмываам (Q-59-XI). Они размещаются главным образом в пределах отрицательных вулканоструктур среди вулканитов нижней подсвиты эмунэрэтской свиты в пространственной связи с петрографически сходными покровами. В междуречье Эмываам - Затерянная и на правобережье р.Пыкарваам (Q-59-XI, XII) игнimbриты дацитов слагают пластовые залежи мощностью до 100 м и протяженностью по простиранию до 5 км, залегающие в вулканитах эмываамской свиты, среди которых, однако, их петрографические аналоги не обнаружены. Здесь они локализуются в основном в борту отрицательной вулканоструктуры. Игнimbриты дацитов - коричневые порфирокластические породы с микроигнimbритовой или витрофировой структурой основной массы. Кристаллолокластический материал (40-50%) представлен андезином № 35-40 (30-40%), роговой обманкой, биотитом, иногда авгитом. Стекло основной массы девитрифицировано (микрофельзитовая структура). Химический состав приведен в табл.4 (ан.17).

И г н и м б р и т ы р и о д а ц и т о в и р и о л и т о в ( $\lambda\tau K_2$ ) в виде трубок размером от первых десятков метров до 5 км в поперечнике и даек мощностью 10-50 м и длиной до 200 м группируются в бассейне р.Кайдырвываам, на левобережье р.Эргываам (Q-59-X), между руч.Снежным и р.Сред.Эмунэрэтвеем (Q-59-X, XII), в бассейне среднего течения р.Куйивеем (Q-59-XII), где они пространственно связаны с покровными аналогами эргываамской свиты. Тела и дайки приурочены к обрамлениям или бортам отрицатель-

ных вулканоструктур, дайки часто ориентированы параллельно дуговым и кольцевым разрывам, ограничивающим вулканоструктуры. Наиболее крупное тело, сложенное игнимбритами риолитов, фиксируется в верховье р.Шумной (Q-59-XII), оно вытянуто в широтном направлении и имеет площадь выхода 20 км<sup>2</sup>. Тело размещается в петрографически аналогичных игнимбритах эргываамской свиты, но выделяется среди них по однородности и составу. Контакты его под углом 60–70° погружаются под интрузивы. Группа тел игнимбритов риолитов закартирована на правобережье и левобережье р.Энзываам между устьями рек Кайэнзываам и Мэрзываам (Q-59-XI). Они располагаются в обрамлении отрицательной вулканоструктуры. Наиболее крупное из них (площадь выхода 10 км<sup>2</sup>) вытянуто в меридиональном направлении, имеет сложную конфигурацию в плане. Контакты его с туфами дацитов нижней подсвиты эмунэрэтской свиты, наблюдавшиеся в скальных выходах, вертикальные. Контактовый метаморфизм выражен в виде слабого окварцевания в зоне экзоконтакта мощностью около 10 см. Субвулканическое тело перекрыто покровными вулканитами эргываамской и энзываамской свит. Описываемые образования петрографически аналогичны покровным игнимбритам нижней подсвиты эмунэрэтской свиты, выходы которых наблюдались в скальных обрывах на левобережье р.Энзываам у устья р.Кайэнзываам.

На правобережье р.Энзываам, у устья р.Пирканайваам (Q-59-XI), в скальных выходах размещается интрузивная залежь игнимбритов риодайитов мощностью около 70 м, прослеженная по простирианию на 2 км, подошва залежи не вскрыта. Туфы дацитов верхней подсвиты эмунэрэтской свиты в ее кровле смыты в мелкие складки и пронизаны многочисленными апофизами мощностью до 1 м. Апофизы имеются и в базальтах энзываамской свиты, залегающих выше. Однако покровные петрографические аналоги субвулканических пород в энзываамских вулканитах не установлены. Игнимбриты риолитов – коричневые порфирокластические породы с микроигнимбритовой или витрофировой структурой основной массы. Текстура псевдофлюидально-очковая. Кристаллокластическая часть (40–50%) представлена андезином – 30–35 (30–35%), кварцем (5–10%), биотитом. Стекло основной массы превращено в микрофельзитовый агрегат; иногда наблюдается сферолитовая и микропойкилобластовая структура. По химическому составу (анализы 19, 20) игнимбриты риолитов близки к трахириолитам, в которых иногда  $K_2O$  преобладает над  $Na_2O$  (ан.34). В игнимбритах риодайитов в кристаллокластической части присутствуют андезин № 30–35, роговая обманка,

кварц (I-2%), биотит. По химическому составу (ан.18) игнимбриты риодайитов характеризуются преобладанием  $K_2O$  над  $Na_2O$ .

Риолиты ( $\lambda K_2$ ) в виде штоков размером от первых десятков метров до 2 км в поперечнике и редко даек мощностью 10–20 м и длиной до 200 м сосредоточены в бассейне р.Энзываам на отрезке ее течения между устьями руч.Снежного и р.Мэрзываам (Q-59-XI). Они размещаются в пределах и в обрамлении отрицательных вулканоструктур в вулканитах нижней подсвиты эмунэрэтской свиты в пространственной связи с петрографически аналогичными экструзивными куполами. На правобережье р.Энзываам, у устья р.Затерянной (Q-59-XII), шток риолитов размером 2 км в поперечнике размещается в туфах дацитов нижней подсвиты эмунэрэтской свиты, которые перекрываются вулканитами энзываамской свиты. На левобережье р.Энзываам в 2 км выше устья р.Прав.Куйвынерэтвеем (Q-59-XI) шток риолитов размером 800 м в поперечнике располагается в энзываамских андезито-базальтах, однако в покровных образованиях энзываамской свиты петрографические аналоги не установлены. Риолиты – сиреневые с тонкополосчатой текстурой породы, состоящие из преобразованного вулканического стекла, иногда – черные или зеленые массивные породы, представляющие собой свежие изотропные вулканические стекла. Переизристализованные разности имеют микрофельзитовую, сферолитовую, микропранобластовую, микропойкилобластовую структуру. Изредка сохраняется перлитовая текстура. Чередование участков с различным характером структур и неравномерное распределение бурых непрозрачных пылевидных включений обуславливают текстурные особенности породы. Иногда в породе содержатся сферолоиды размером до 10 см. Редкие микропорфировые выделения представлены олигоклазом № 25, кварцем и биотитом. По химическому составу (ан.21) породы характеризуются преобладанием  $K_2O$  над  $Na_2O$ .

Единственный выход трахириолитов ( $\tau \lambda K_2$ ) наблюдается у северной границы района в верховье р.Шумной. Субвулканическое тело расположено в основном на сопредельной территории, где оно хорошо изучено /9/.

Эксплозивные брекчики выполняют трубы, сложенные обломками разнообразных пород. Наиболее крупное тело (в поперечнике 300 м) наблюдается на правобережье р.Сред.Эмунэрэтвеем (Q-59-XI) в туфах дацитов нижней подсвиты эмунэрэтской свиты. Обломочный материал превращен во вторичные кварциты, пронизанные сетью кварцевых прожилков. Реликтовая брекчевая текстура породы сохраняется, но состав обломков размером 1–10 см не поддается диаг-

ностике. Вмещающие туфы аргиллизированы – преобразованы в желтые и красные глины, которые кольцом шириной около 10 м опоясывают выход брекчий. Аналогичные гидротермально переработанные тела размером от 10–20 м до 50 м в поперечнике наблюдались на левобережье р.Кычулвеемкай ( Q-59-XII). В верховье р.Прав.Куйвивеем ( Q-59-XII) трубки эксплозивных брекчий размером первые десятки метров в поперечнике размещаются в игнимбритах эргываамской свиты. Они не подвержены гидротермальной переработке. Большая часть обломочного материала (размер обломков от 0,1 мм до 1 м, резко преобладают обломки размером 1–10 см) представлена вмещающими игнимбритами; кроме того, присутствуют разнообразные по составу вулканиты, песчаники, алевролиты, биотитовые граниты, роговообманковые диориты. Описываемые образования размещаются в бортах или центральных частях отрицательных вулканоструктур, выполненных вулканитами эмунэретской или эргываамской свиты.

#### Палеогеновые субвулканические тела и дайки

Палеогеновые субвулканические штоки и дайки оливин-авгитовых базальтов ( $\beta F$ ) пространственно ассоциируют с палеогеновыми эфузивами, располагаясь в них и главным образом в нижележащих вулканитах. Они закартированы в бассейнах рек Кайзынваам и Мэрэзаам ( Q-59-XI). Размер штоков до 800 м в поперечнике, мощность даек до 20 м, длина до 200 м, простижение их преимущественно северо-западное (дайки расположены вдоль разрыва, пересекающего поле палеогеновых базальтов). Базальты – черные афировые или микропорфировые массивные породы. Микропорфировые выделения (до 10%) представлены битовником № 75, оливином и авгитом. Основная масса с диабазовой, толентовой и интерсертальной структурой, состоит из микролитов лабрадора № 55–65, авгита и изотропного вулканического стекла.

В аномальном магнитном поле ( $\Delta T_a$ ) (см.рис.1, 2) субвулканические тела разного состава иногда находят отражение в виде интенсивных локальных отрицательных аномалий. По данным аэромагнитной съемки /30/, предполагаются многочисленные невскрытые субвулканические тела в бассейнах рек Энмынваам (верхнее и среднее течение) и Куйвивеем ( Q-59-XI,XII).

#### Гидротермальные проявления

Среди гидротермальных образований района выделяются вторичные кварциты, аргиллизированные породы и кварцевые жилы.

Вторичные кварциты и аргиллизированные породы в бассейне среднего течения р.Энмынваам ( Q-59-X, XI) приурочены к бортам и центральным частям отрицательных вулканоструктур, выполненных вулканитами нижней подсвиты эмунэретской свиты, где измененные подвержены преимущественно туфы кислого состава. В бассейне р.Прав.Угатын ( Q-59-X) превращены во вторичные кварциты аргиллизированы туфы и игнимбриты кислого состава угатынской и пыкараамской свит. На левобережье р.Энмынваам ( Q-59-X), правобережье р.Глубокой ( Q-59-XII) и в бассейне р.Энмынваам, на отрезке ее течения между устьями рек Кайзынваам и Мэрэзаам, гидротермально преобразованы игнимбриты кислого состава эргываамской свиты в бортах отрицательных вулканоструктур, которые они выполняют. На левобережье рек Сред.Эмунэретаасы и Кычулвеемкай ( Q-59-XI) вторичные кварциты замещают эксплозивные брекчи, являющие среди туфов нижней подсвиты эмунэретской свиты. Форма полей измененных пород в плане овальная, изометрическая или склонная. Площадь полей колеблется от первых десятков метров до  $25 \text{ km}^2$ . Вторичные кварциты обычно тяготеют к центральным, аргиллизированные породы – к периферическим частям полей.

Вторичные кварциты – более массивные сливные и сахаровидные или же бурые ноздреватые и кавернозные породы с пустотками, выполненные гидроокислами железа. Различаются монокварциты и серicitовые кварциты. Монокварциты состоят из неравномернозернистого агрегата кварца с микрогранобластовой или мозаичной структурой (размер зерен от 0,01 до 0,3 мм). В серicitовых кварцитах содержание серicitита достигает 20%. Иногда он распределен неравномерно, иногда в виде пятен. В незначительном количестве в протоложковых пробах из вторичных кварцитов обнаружены рутил, циркон, пирит, магнетит, хлорит.

Аргиллизированные породы, тесно ассоциирующие с вторичными кварцитами, в значительной своей части состоят из глинистого материала, количество которого сильно варьирует. Эти образования пятнисто окрашены гидроокислами железа в желтые, бурые и кирпично-красные цвета, благодаря чему они хорошо дешифрируются на аэрофотоматериалах светлым фототоном.

Кварцевые жилы обычно пространственно ассоциируют с полями аргиллизированных пород и вторичных кварцитов. Они локализуются

в основном в пределах отрицательных вулканоструктур, выполненных вулканитами нижней подсвиты эмунэретской свиты в междуречье Прав.Куйынэртвеем - Кычулвеемской ( Q-59-XI), где наблюдается наибольшее их количество, и в бассейне р.Эмываам, на отрезке ее течения между устьями рек Куйынэртвеем и Кайэнываам ( Q-59-X, XI). Кварцевые жилы размещаются также в полях развития пыкарваамской и эргываамской свит в междуречье Кайэнываам + Гытгыныльваам ( Q-59-X, XI), на левобережье р.Эргываам ( Q-59-X) и на правобережье р.Глубокой ( Q-59-XI). Простирание жил преимущественно широтное, иногда северо-западное или северо-восточное. Мощность 0,5-1 м, длина 100-400 м. Часто кварцевые жилы группируются в зоны шириной до 200 м и длиной до 2 км, в пределах которых находится до 20 жил. Иногда жильный кварц распределен в виде густой сети различно ориентированных прожилков мощностью от долей миллиметра до первых сантиметров и гнеездообразных обособлений размером до 1 см. В районе г.Белый Камень ( Q-59-XI) кварцевые прожилки пересекают вторичные кварциты по туфам дацитов нижней подсвиты эмунэретской свиты, а на левобережье р.Кычулвеемской - вторичные кварциты по экспозиционным брекчиям.

Жильный кварц характеризуется полосчатыми текстурами, обусловленными чередованием халцедоновидного, мелкозернистого, крупнозернистого и друзовидного кварца. Обычно наиболее мелкозернистые разновидности кварца приурочены к зальбандам жил, а друзовидные (часто с пустотками, яникрустированными мелкими кристалликами горного хрусталя) - к центральным частям. Изредка в жильном кварце отмечаются мелкие зерна галенита и сфалерита. С кварцевыми жилами и зонами кварцевых прожилков связаны проявление и пункты минерализации золота и серебра.

## ТЕКТОНИКА

В соответствии с тектонической картой Северо-Востока СССР 1969 г. /1/ и схемой тектоники Северо-Востока СССР 1967 г. // территории листов располагается в пределах Центрально-Чукотского сектора Охотско-Чукотского вулканогенного пояса (ОЧВП).

В районе выделяется три структурных яруса (рис.3): нижний (альб-сеноманский), средний (сеноманский) и верхний (сенонский + палеогеновый). Палеогеновые вулканиты имеют в целом общий тектонический план с сенонскими. Однако юго-западней рассматриваемой территории /18/ палеогеновые породы перекрывают позднемеловые

интрузивные образования и на этом основании могут рассматриваться в качестве самостоятельного структурного яруса.

Нижний структурный ярус включает липарит-дацитовую (угаф-кынская и пыкарваамская свиты), андезитовую (коэкуньюская и каленмуываамская свиты) формации и комагматичные им альб-сеноманские субвулканические тела и дайки. Средний структурный ярус объединяет липарит-базальтовую (эмунэретская свита), липаритовую (эргываамская свита) формации и генетически связанные с ними позднемеловые субвулканические тела и дайки. Верхний структурный ярус представлен формациями: липарит-андезито-дацитовой (валанайская свита), высокоглиноземистых базальтов и андезито-базальтов (энмываамская свита), базальт-трахибазальтовой (палеоген), комагматичными им позднемеловыми и палеогеновыми субвулканическими телами и дайками, а также позднемеловыми интрузиями. Несогласия между ярусами проявлены в характере их структурного плана.

Различаются внешняя и внутренняя зоны ОЧВП. Внутренняя зона разделена на унаследованную и новообразованную подзоны /1, 2, 3/. Внешняя зона в северо-западной части территории листа Q-59-X сопряжена с внутренней (унаследованной подзоной) по Оконайтовскому глубинному разлому. Унаследованная подзона, занимавшая большую часть описываемого района, на юго-востоке территории листа Q-59-XII граничит с новообразованной по Анадырскому глубинному разлому. Эти три основных элемента зональности пояса различаются набором формаций, мощностью распространенных в их пределах вулканических накоплений и особенностями строения вулканоструктур, которым соответствуют различные по характеристике области аномального магнитного и гравитационного полей. Различие в геофизических полях между внешней и внутренней зонами наиболее резко и в региональном плане проявлено на протяжении всего ОЧВП. По представлениям В.Ф.Белого /4/, вулканические покровы внешней зоны несогласно наложены на мезозоиды Верхояно-Чукотской складчатой области, новообразованной подзоны - на кайнозоиды Корякско-Камчатской складчатой области, унаследованной подзоны - на образование Тайганской "андезитовой" геосинклинали.

Внешняя зона ОЧВП образована нижним структурным ярусом. В рассматриваемом районе находятся восточные части вулканоструктур, простирающиеся в близширотном направлении: Верхне-Угатынского (ВУ) грабена, Верхне-Анадырской (ВА) депрессии и разделяющего их Останцовского (ОС) горста.

Верхне-Угатынский грабен в пределах описываемой территории прослеживается в близширотном направлении на 30 км. В плане

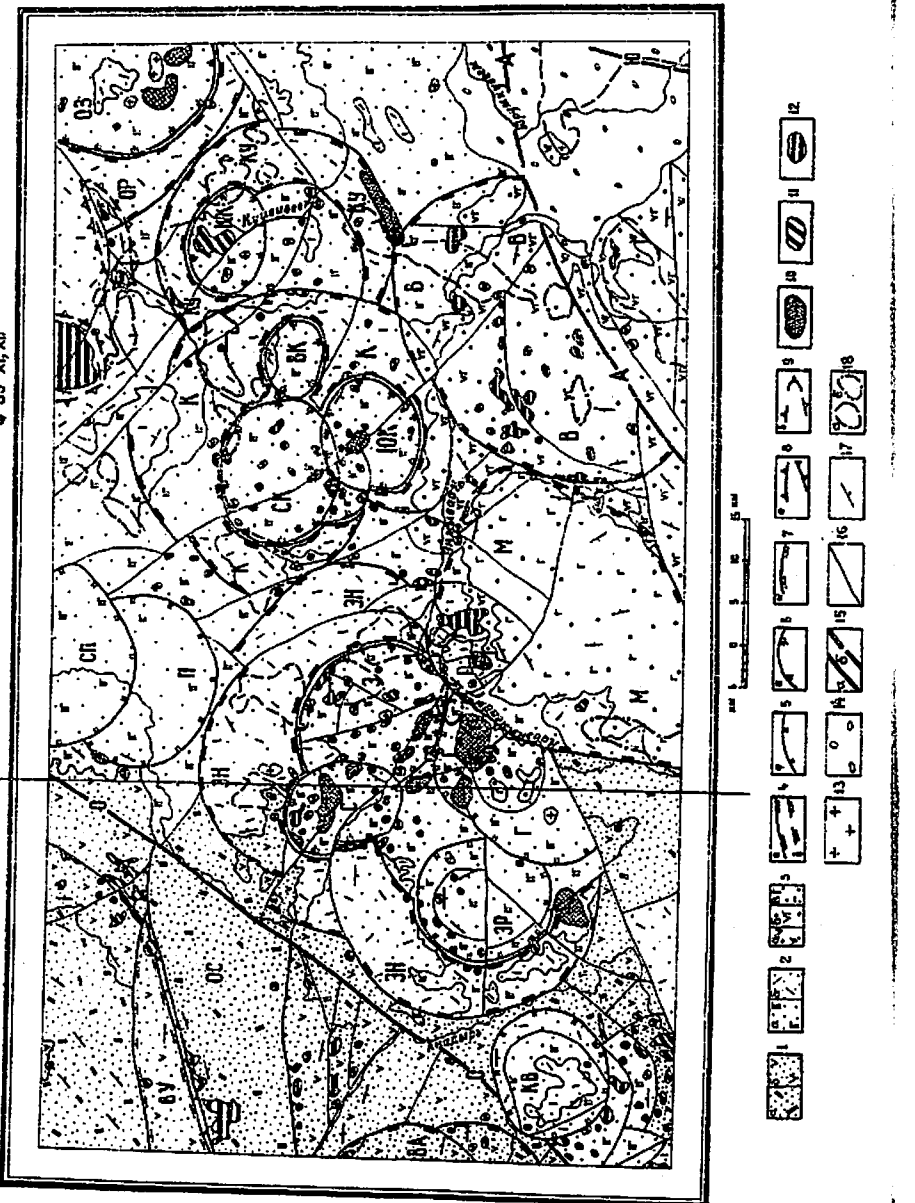


Рис.3. Тектоническая схема

4-13 - Охотско-Чукотский зуленгогенский пояс: 1 - формация поперечного структурного яруса; 2 - линиярно-изометрический зуленгогенский пояс; 3 - формации среднего структурного яруса; 4 - линиарно-изометрический зуленгогенский пояс; 5 - базальто-грекобазальтовый; 6 - изометрический и кольцевой зуленгогенский пояса (4); 7 - граничные тектонические и колычевые линии (И-Жиреван-с разрывами и лестничными (8) и проволочными (9) условиями); 8 - базальто-базальтовый, 9 - базальто-грекобазальтовый, 10 - изометрический и кольцевой зуленгогенский (И-Жиреван-с разрывами и лестничными (8) и проволочными (9) условиями); 11 - горстов (ОС - Остаковый), 12 - куполов (КУ - Кунинрат-скей, ВА - Верхне-Анадырская, ЗН - Энинская), 13 - Эриваньская, Г - Гутгильевская, ОЗ - Озер-скей, ОР - Озерникская, 14 - просекок (КВ - Канавровинская), 15 - кальдер (С - Снейинская), 16 - кальдер (С - Снейинская), 17 - Бельская впадина, выполненная четвертичными отложениями, 18 - главные разрывы глубинных разломов - достоверные, 19 - скважине по более мелким образованиям (О - Окленговский, А - Алагарский, В - Ергунувесенский); 20 - разрывные нарушения; 21 - залегание пластов на склонах; 22 - контуры неокрепких тектонических динамики; 23 - интрузии; 24 - субулканический

имеет форму клина, расширяющегося к западу. У западной границы района ширина его составляет 8 км. Вулканиты козкуньской свиты, выполняющие грабен, моноклинально погружаются к югу под углом 5–7°. К разрывным нарушениям, ограничивающим грабен, приурочены альб-сеноманские субвулканические тела и дайки основного состава.

Верхне-Анадырская депрессия большей своей частью расположена на сжимной с запада территории и имеет поперечный размер 55 км /2/. С востока структура ограничена системой дуговых нарушений, к которым приурочены альб-сеноманские субвулканические тела и дайки основного состава. Вулканиты козкуньской свиты, выполняющие депрессию, залегают центриклинально.

Останцовый горст в рассматриваемом районе прослеживается в близширотном направлении на 30 км при ширине 15 км. С востока он ограничен главным разрывом Оканайтовского разлома, с севера и юга – близширотными разрывами, к которым приурочены альб-сеноманские субвулканические тела и дайки. Горст сложен вулканитами пыкарваамской и козкуньской свит, альб-сеноманскими субвулканическими телами и дайками кислого, среднего и основного состава. В поперечном сечении структура асимметрична: северная часть более высоко приподнята, вулканические покровы полого (4–8°) наклонены к юго-востоку.

Аномальное магнитное поле (ΔTa) (см.рис. I, 2) в пределах внешней зоны характеризуется преимущественно отрицательными значениями, северо-западным или близширотным простиранием аномалий. По положительным значениям магнитного поля обособляются Верхне-Угатынский грабен и Верхне-Анадырская депрессия. Положительные аномалии отражают наличие козкуньских базальтов, что наиболее отчетливо проявлено в пределах Верхне-Угатынского грабена. В северо-восточном обрамлении Верхне-Анадырской депрессии с полями развития базальтов совпадают отрицательные значения магнитного поля. По-видимому, это объясняется небольшой мощностью базальтов в обрамлении структуры (имеются выходы пыкарваамских игнимбритов), а также широко проявленными разрывами близширотного и северо-западного простирания, которые обычно выражаются в виде отрицательных аномалий. Останцовый горст обособляется в аномальном магнитном поле участком отрицательных значений. Аномальное гравитационное поле /29/ в пределах внешней зоны характеризуется наиболее низкими для района отрицательными значениями силы тяжести и общим северо-западным простираием аномалий.

Унаследованная подзона в виде полосы шириной 70–85 км прослеживается в северо-восточном направлении через всю рассматриваемую территорию, разрез вулканических накоплений в ней представлен наилучше полно. Здесь наблюдаются все три структурных яруса. Нижний ярус обнажается на небольших площадях, поэтому особенности его строения не распознаются. В среднем структурном ярусе обособляются небольшие по размерам отрицательные вулканоструктуры – просадки, кальдеры, кольцевые депрессии. Они расположены цепочками вдоль унаследованной подзоны, благодаря чему они приобретают черты линейного вулкано-тектонического прогиба /10/, ориентированного в направлении, секущем по отношению к простиранию структур нижнего яруса во внешней зоне. Возможно, вулканоструктуры среднего яруса размещаются вдоль не проявленных на поверхности северо-восточных разломов, приуроченных к осевой, наиболее прогнутой части унаследованной подзоны. Вулканические покровы верхнего структурного яруса, распространенные в юго-восточной части унаследованной подзоны, выполняют крупные изометрические депрессии, которые занимают секущее положение по отношению к вулканоструктурам среднего яруса. В целом они распространены в полосе, расположенной к юго-востоку от осевой части унаследованной подзоны. Указанные выше типы вулканоструктур выделены условно, так как из-за слабой обнаженности детали их строения читаются неотчетливо.

С накоплением вулканитов эмунэрэтской свиты связано обование Перекатинской (П), Гытгынльваамской (Г), Северо-Перекатинской (СП) и Эргываамской (ЭР) просадок, Снежинской (С), Заднеретской (З), Северо-Куйвивеемской (СК), Восточно-Куйвивеемской (ВК), Ихно-Куйвивеемской (ИК), Куйвильэрэтской (КК) и Озернинской (ОЗ) кальдер. В просадках и кальдерах мощность эмунэрэтской свиты намного больше, чем в обрамлении структур. Так, в Снежинской кальдере и Эргываамской просадке она более 1000 м, в северо-западном и западном их обрамлении – около 150 м, а местами эмунэрэтская свита здесь выклинивается полностью.

Просадки – изометрические отрицательные вулканоструктуры размером 15–20 км в поперечнике с центриклинальным залеганием вулканических покровов в их пределах, ограниченные кольцевыми разрывами. Дуговые и кольцевые разрывы наблюдаются и во внутренних частях просадок, благодаря чему последние часто оказываются телескопированными от периферии к центру (Гытгынльваамская и Эргываамская просадки). Происхождение просадок связано с извержением игнимбритов нижней подсвиты (Перекатинская и Гытгынль-

ваамская просадки) или излиянием базальтов верхней подовиты эму-  
нэретской свиты (Северо-Перекатинская и Эргиваамская просадки).  
К разрывам, ограничивающим просадки, часто приурочены поля арги-  
ллизированных пород и вторичных кварцитов, позднемеловые субвул-  
канические тела и дайки кислого, среднего и основного состава.

Кальдеры – изометричные (10–20 км в поперечнике) отрицатель-  
ные вулканоструктуры, ограниченные кольцевыми разрывами, отлича-  
ющиеся от просадок отсутствием центриклинального залегания пок-  
ровов в их пределах. Своим происхождением они обязаны изверже-  
нию больших объемов пирокластического материала. Структуры вы-  
полнены туфами кислого состава и залегающими среди них покрова-  
ми игнимбритов, экструзивными куполами кислого и среднего соста-  
ва. Последние обычно локализуются вдоль ограничивающих кальдеры  
разрывов и сопровождаются многочисленными позднемеловыми субвул-  
каническими штоками и дайками кислого и среднего состава, поля-  
ми вторичных кварцитов и аргиллизированных пород. Вулканические  
покровы залегают в основном горизонтально, иногда вблизи ограни-  
чивающих и осложняющих разрывов приобретают наклонное залегание  
до 30°.

С извержением игнимбритов Эргиваамской свиты связано обра-  
зование Эмываамской (ЭН), Куйвивеемской (К), Куйвинэретской  
(КУ), Озерникской (ОГ) кольцевых депрессий и Кайвырываамской  
(КВ) просадки. Кольцевые депрессии приурочены к центральной  
части унаследованной подзоны, прослеживаясь в полосе северо-  
восточного направления от р.Анадырь до р.Куйвивеем. Они простран-  
ственно сопряжены с кальдерами и просадками "Эмунэретского вре-  
мени", располагаясь в их обрамлении. Ширина депрессий 3–10 км.  
Размер по внешнему диаметру 30–35 км. Игнимбриты Эргиваамской  
свиты локализуются внутри вулканоструктур и редко наблюдаются  
за их пределами. Покровы игнимбритов обычно полого (4–6°) нак-  
лонены от разрывов, ограничивающих депрессии, к их осям. К ог-  
раничениям депрессий часто приурочены поля вторичных кварцитов  
и аргиллизированных пород, позднемеловые субвулканические тела  
игнимбритов.

Кайвырываамская просадка, расположенная на правобережье  
р.Анадырь, имеет размер в поперечнике 15 км. Она ограничена  
кольцевым разрывом. Покровы Эргиваамских игнимбритов в ее пре-  
делах центриклинально погружаются под углом от 6 до 30°. Струк-  
тура осложнена системой дуговых разрывов, по которым перифери-  
ческая ее часть более опущена, чем центральная. К южному обрам-  
лению просадки приурочены поля аргиллизированных пород и поздне-  
меловые субвулканические тела игнимбритов.

С внедрением позднемеловых субвулканических тел игнимбритов  
связано образование куполов. На левобережье р.Куйвивеем купола  
приурочены к дуговому разрыву, который, по-видимому, является  
ограничением отрицательной вулканоструктуры, выполненной эргива-  
амскими игнимбритами и расположенной в основном на смежной с  
севера территории. В плане купола имеют овальную форму размером  
5x15 км, длинная ось которой ориентирована вдоль разрыва. Покро-  
вы Эргиваамских игнимбритов на их крыльях переклинально погружа-  
ются под углом 3–6°. В ядрах куполов обнажаются субвулканические  
штоки игнимбритов.

С излияниями лав основного и среднего состава Эмываамской  
свиты связано образование Ванакваамской (В) депрессии. На рассе-  
матриваемой территории находится северная ее часть, имеющая по-  
перечный размер 45 км. С северо-запада вулканоструктура ограни-  
чена дуговым разрывом. Вулканические покровы в ее пределах зале-  
гают центриклинально. Они прорваны многочисленными позднемеловы-  
ми субвулканическими телами и дайками кислого, среднего и основ-  
ного состава. В зоне Анадырского разлома структура претерпела  
последующие тектонические деформации, и особенности ее строения  
здесь не распознаются.

Палеогеновые базальты выполняют Мэрэваамскую (М) депрессию  
и залегают центриклинально. Размер депрессии около 35 км в поперечнике, с запада она ограничена дуговым разрывом.

Рассмотренные выше вулканоструктуры унаследованной подзоны  
обычно ограничены кольцевыми и дуговыми нарушениями, представ-  
ляющими собой сбросы. В ряде случаев они контролируют размеще-  
ние субвулканических тел и гидротермальных проявлений. Вертикаль-  
ная амплитуда перемещения по ним достигает 1000 м. Предполагает-  
ся, что поверхности сместителей их наклонены к центральным час-  
ттям вулканоструктур. Из-за слабой обнаженности в скальных выхо-  
дах это хорошо видно в правом борту р.Эмываам у устья руч.Снеж-  
ного. Здесь в ограничении Снежинской кальдеры эмунэретские ту-  
фы и Эргиваамские игнимбриты соединяются по разрыву, выраженно-  
му в виде тектонических брекций мощностью около 1 м, залегающих  
наклонно под углом 70° к востоку в направлении к центральной  
части кальдеры. Кроме того, в пределах вулканоструктур и их об-  
рамлении наблюдаются многочисленные дуговые, кольцевые – концен-  
трические и линейные – радиальные разрывы. Амплитуда вертикаль-  
ного перемещения по ним не превышает 300 м. В унаследованной под-  
зоне наблюдаются также разрывы северо-восточного простирания.  
Они закартированы в междуречье Анадырь – Каймываам и на левобе-  
режье нижнего течения р.Куйвивеем. Характер перемещения по ним

и их роль в геологическом строении района не ясны. Возможно, это сбросы, которые фиксируют положение юго-восточной границы распространения вулканоструктур, выполненных игнimbритами эрги-ваамской свиты. Протяженность разрывов около 30 км, амплитуда вертикального перемещения по ним достигает 1200 м.

Аномальное магнитное поле  $\Delta T_a$  в пределах унаследованной подзоны наиболее высоко дифференцировано. Оно характеризуется в основном положительными значениями. Здесь обособляются многочисленные участки с концентрически зональным строением, фиксирующие положение кальдер, просадок и кольцевых депрессий. Изометрические депрессии характеризуются радиально-концентрическим рисунком магнитного поля. Это позволяет предполагать, что они возникли на месте крупного щитового вулкана /10/. В северо-западной части унаследованной подзоны в положительном магнитном поле обособляется участок отрицательных аномалий северо-западного простирания. По-видимому, отрицательные аномалии здесь обусловлены малой глубиной залегания пыкараамских игнimbритов, перекрытых вулканитами среднего структурного яруса. Разрывные нарушения выражены в виде цепочек линейных локальных отрицательных и положительных аномалий малой интенсивности. Интенсивные локальные отрицательные аномалии в ряде случаев обусловлены субвулканическими телами основного, среднего и кислого состава, что связано, по-видимому, с обратной намагниченностью этих объектов /30/. Интенсивные положительные аномалии "массивного" облика иногда совпадают с выходами интрузивных пород кислого и среднего состава. Предполагается /30/, что многие отрицательные и положительные аномалии отражают положение невскрытых субвулканических и интрузивных тел.

Аномальное гравитационное поле в пределах унаследованной подзоны отрицательное, но характеризуется более высокими значениями, чем во внешней зоне, и северо-восточным простиранием аномалий. Область с относительно пониженными значениями силы тяжести отражает, по-видимому, положение наиболее прогнутой части унаследованной подзоны.

Новообразованная подзона сложена вулканитами только верхнего структурного яруса. Они сопоставляются с вулканическими на-коплениями, распространенными на смежной с юга территории /6/, которые с угловым несогласием залегают на сенонских морских осадочных образованиях Пенжинского прогиба Анадырско-Корякской складчатой области /17/. В рассматриваемом районе, по геофизическим данным /30/, предполагается северо-восточное замыкание

Пенжинского прогиба, погребенного под вулканитами и рыхлыми четвертичными отложениями (полоса дугообразно расположенных отрицательных аномалий). Северо-западная граница прогиба проводится по Анадырскому разлому, восточная – по Брумкувеемскому. Вдоль Брумкувеемского разлома /30/ предполагаются большие объемы невскрытых интрузивных пород ультраосновного, основного и среднего состава (интенсивные положительные аномалии "массивного облика"), залегающих в структурах обрамления прогиба. Они сопоставляются с интрузиями, выходящими на поверхность южнее описываемого района в пределах Таловско-Майнского антиклинария /30/.

Вулканические покровы верхнего структурного яруса ОЧВИ в пределах новообразованной подзоны перекрыты в основном четвертичными отложениями и выходят на небольшой площади, поэтому особенности строения яруса здесь не распознаются.

Аномальное магнитное поле  $\Delta T_a$  и гравитационное поле в пределах новообразованной подзоны знакопеременны. В рассматриваемом районе со смежной с юга территорией прослеживается аномалии близмеридионального простирания.

Среди многочисленных разрывных нарушений, изображенных на геологической карте, наиболее важная роль принадлежит Оконайтовскому и Анадырскому глубильным разломам. Оконайтовский разлом в пределах рассматриваемой территории прослеживается в северо-восточном направлении на 75 км. На поверхности он проявлен в виде системы прямолинейных разрывных нарушений, среди которых обособляется главный разрыв северо-восточного направления с максимальной вертикальной амплитудой смещения до 1500 м и многочисленные опериющие разрывы близширотного направления. По главному разрыву Оконайтовского разлома граничат внешняя и внутренняя зоны ОЧВИ. По характеру смещения это сброс, по которому блок, соответствующий внутренней зоне, опущен. В аномальном магнитном поле главный разрыв Оконайтовского разлома читается как граница резко различных по характеристике полей, в гравитационном поле – отражен гравитационной ступенью. В рельфе с ним совпадают прямолинейные участки долин рек Энзываам и Анадырь. Опериющие разрывы проявлены во внешней зоне ОЧВИ. По ним ограничены Верхне-Угатынский грабен, Останцовский горст и более мелкие поднятые или опущенные блоки. По характеру смещений опериющие разрывы представляют собой сбросы с вертикальной амплитудой до 1000 м. По-видимому, на протяжении альб-сеноманского времени они являлисьмагмоонтролирующими. В аномальном магнитном поле эти разрывы выражены в виде резкой смены характера аномального поля или цепочек линейных локальных отрицательных аномалий малой интенсив-

ности. В рельефе разрывы отражены в виде уступов, эрозионных борозд на склонах, седловин на водоразделах. По некоторым разрывам заложены долины водотоков. Главный разрыв Оконайтовского разлома и оперяющие разрывы отчетливо дешифруются на аэрофотоматериалах, РЛ-снимках и космоснимках.

Анадырский глубинный разлом в пределах описываемой территории прослеживается в восток-северо-восточном направлении на 50 км. В восточной своей части онкрыт под четвертичными отложениями, где положение его определяется по геофизическим данным. На поверхности разлом проявлен в виде системы сближенных прямолинейных нарушений. Ширина зоны разлома около 15 км. Обособляется главный разрыв восток-северо-восточного направления с максимальной вертикальной амплитудой смещения до 800 м и оперяющие параллельные и близширотные разрывы. По главному разрыву граничат унаследованная и новообразованная подзоны внутренней зоны ОЧВП. На этапе формирования верхнего структурного яруса и, по-видимому, на протяжении всего времени становления ОЧВП он служил одной из основных магмоконтролирующих структур /2/. По характеру смещений Анадырский разлом в современном эрозионном срезе представляет собой сброс, по которому блок, соответствующий новообразованной подзоне, опущен /6/. В аномальном магнитном поле  $\Delta T_a$  разлом читается в виде системы линейных отрицательных аномалий, в гравитационном поле он отражен гравитационной ступенью. По отдельным разрывам заложены долины водотоков, эрозионные борозды на склонах, седловины на водоразделах, благодаря чему разлом хорошо дешифруется на аэрофотоснимках, РЛ-снимках и космоснимках.

Брумкувеемский разлом не проявлен на поверхности, но существование его предполагается по геофизическим данным. По-видимому, он является восточным ограничением Пенжинского прогиба.

Кроме рассмотренных выше в районе широко распространены северо-западные разрывы. Они закартированы в основном в унаследованной подзоне, но наблюдаются также во внешней зоне, а на смежной с юга территории /6/ развиты и в новообразованной подзоне. Очевидно, они проявлены по всей ширине ОЧВП и ориентированы в направлении, поперечном его простирации. На поверхности они выражены как сбросы, по которым отсечены или смещены в плане отдельные сегменты позднемеловых отрицательных вулканоструктур. Системы сближенных разрывов северо-западного направления находятся в бассейне среднего течения р. Элмываам и в верховье р. Куйвивеем. Наиболее протяженный разрыв прослеживается на 75 км и имеет максимальную вертикальную амплитуду смещения 350 м. К нему на участках пересечения с кальдерами приурочены субвулканичес-

кие тела, поля гидротермально-измененных пород, а также кварцевые жилы и связанные с ними проявления и пункты минерализации золота и серебра.

В аномальном магнитном поле  $\Delta T_a$  северо-западные разрывы обособляются по нарушению коррелируемости аномалий, резкой смене характера поля, а также в виде линейных отрицательных малоинтенсивных аномалий.

На юго-востоке территории листа Q-59-ХП выделяется северная часть неотектонической Бельской впадины, выполненной рыхлыми континентальными четвертичными отложениями – ледниками, водно-ледниковыми, озерно-аллювиальными и аллювиальными. В смежном с юго-востока районе /II/ мощность их оценивается в 400 м.

История развития района включает следующие этапы: альб-сеноманский, сеноманский, сеноманский – палеогеновый и четвертичный. Альб-сеноманскому этапу соответствует накопление субаэральных вулканитов нижнего структурного яруса в пределах внешней зоны и унаследованной подзоны внутренней зоны ОЧВП. Во второй половине сеномана вулканическая деятельность локализуется в унаследованной подзоне и сопровождается перестройкой структурного плана – образуется средний структурный ярус. Характер геологических процессов в туроне и раннем сеноне не ясен – образования этого возраста в рассматриваемом районе и на территории, смежной с юга /6/, среди субаэральных вулканитов не установлены. Позднесенонскому – палеогеновому этапу соответствует накопление вулканитов верхнего структурного яруса ОЧВП. Вулканическая деятельность возобновляется в полосе, еще более смещенной к юго-востоку – в новообразованной и унаследованной подзонах внутренней зоны вдоль Анадырского разлома. Она сопровождается новой перестройкой структурного плана. В предпалеогеновое время внедряются гранитоиды. Гидротермальные проявления формируются на протяжении всей допалеогеновой истории становления ОЧВП, однако, большая их часть, по-видимому, образована в сеноманский этап. Магматическая деятельность завершается излияниями палеогеновых базальтов. В четвертичном периоде формируется современный рельеф – обособляются Анадырское плоскогорье и Бельская впадина. В настоящее время происходят общий разрыв горной части территории, одновременное заполнение впадины, подвижки по разрывным нарушениям Оконайтовского разлома, что приводит к формированию блока новейшего поднятия Останцов гор (амплитуда перемещения по разрывам оценивается не менее 200 м), а также подвижки по Анадырскому разлому, отчетливо проявленные в современном рельефе на территории, смежной с юга /6/.

## ГЕОМОРФОЛОГИЯ

Рассматриваемый район находится в пределах Анадырского плоскогорья, входящего в состав Охотско-Чукотской геоморфологической области, и Бельской впадины, являющейся частью Пенжино-Анадырской низины [7]. Территория Анадырского плоскогорья испытала значительное поднятие в течение неотектонического этапа развития, в результате чего сформировался денудационно-эрзационный рельеф, в пределах которого на протяжении всего четвертичного периода процессы разрушения снова преобладали над аккумуляцией. Основной ландшафт здесь создают низкие горы, на отдельных участках и на границе с Бельской впадиной переходящие в ували (рис.4).

В пределах низкогорья выделяются два подтипа рельефа – слабо расчлененное и резко расчлененное низкогорье. Наиболее широко распространено слабо расчлененное низкогорье, несущее специфические черты Анадырского плоскогорья в целом. Характерная его особенность – наличие обширных, часто уплощенных водораздельных пространств, совпадающих с поверхностями горизонтально лежащих или полого наклоненных лавовых покровов позднемелового или палеогенового возраста. Выпуклые склоны средней крутизны ( $10-20^{\circ}$ ) иногда ступенчаты, что также обусловлено препарковкой устойчивых лавовых покровов. Однообразие рельефа нарушается выходами субвуликанических интрузий, образующих изометричные или вытянутые в плане, четко выраженные возвышения. Характерным элементом рельефа являются прямолинейные или дугообразно изогнутые участки речных долин, заложенные по разрывным нарушениям. Абсолютные отметки вершин составляют 500–800 м, относительные их превышения над днищами долин 200–300 м. Речные долины широкие (1–2 км до 4 км), по их бортам на некоторых участках развиты солифлюкционные шлейфы.

Резко расчлененное низкогорье распространено в пределах блока новейшего поднятия в зоне Оконайтовского разлома (горы Останцовье), а также на игнамбритах пыкараамской свиты в северо-западной части района. Абсолютные отметки вершин составляют 800–1000 м, относительные их превышения над днищами долин 300–500 м, густота сети водостоков значительно больше, чем в слабо расчлененном низкогорье, водоразделы выражены отчетливо, прямые, крутые (более  $20^{\circ}$ ), склоны часто ступенчатые. Речные долины узкие (0,2–0,3 км), прямолинейные.

Участки увалистого рельефа распространены в бассейне р.Куйвивеем в переходной зоне от низкогорья к Бельской впадине, в бассейнах рек Энмываам (верхнее и среднее течение), Кайэнмываам и на левобережье р.Анадырь на туфах коэквуньской и эмунэрэтской свит. Абсолютные отметки вершин здесь составляют 350–450 м, в верховье р.Энмываам они достигают 600 м. Относительные превышения вершин над днищами долин 100–200 м. Приводораздельные пространства широкие, постепенно переходящие в пологие (до  $10^{\circ}$ ) слабо выпуклые склоны. По бортам долин ручьев развиты обширные солифлюкционные шлейфы.

Среди ледниковых форм рельефа Анадырского плоскогорья различаются экзарационные и аккумулятивные. Первые представлены карами зырянского возраста, имеющими незначительное распространение в горах Останцовье. Сохранность их плохая, днища расположены на высоте 650 м. Ледниковые аккумулятивные формы рельефа представлены холмисто-гридовым конечноморенным рельефом и пологоволнистым рельефом основной морены зырянского и самаровского времени. Небольшой по размерам конечноморенный вал зырянского времени в долине р.Анадырь имеет длину 10 км, ширину до 2 км, высоту до 100 м. Он в виде дугообразно изогнутой в плане гряды перегораживает долину реки. Основная морена зырянского времени прослеживается из бассейна р.Энмываам в долину р.Анадырь на расстояние около 20 км. Она имеет вид террасы высотой до 40 м и шириной до 4 км. Колебания высот в ее пределах составляют 10–15 м. Вал и поверхность основной морены переработаны последующими процессами – водно-ледниковыми в зырянское время, аллювиальными и термокарстовыми на современном этапе. В пределах вала термокарстовые воронки с озерами имеют глубину до 20 м, глубина термокарстовых западин на основной морене составляет около 10 м. Ледниковые формы самаровского времени, представленные пологоволнистым рельефом основной морены в днищах долин в бассейнах рек Ирудуквеем и Куйвивеем, имеют вид террас высотой до 100 м и шириной до 5 км. Колебания высот в их пределах достигают 40 м. Иногда на поверхности морены наблюдаются термокарстовые западины глубиной до 30 м с озерами.

Водно-ледниковые формы рельефа Анадырского плоскогорья пространственно связаны с ледниками. Они представлены долинным зандром зырянского времени высотой 8 м и шириной до 2 км в долине р.Анадырь. На этих образованиях широко распространены аласы. В их днищах иногда наблюдаются гидролакколиты – бугры высотой до 20 м и до 100 м в диаметре основания.

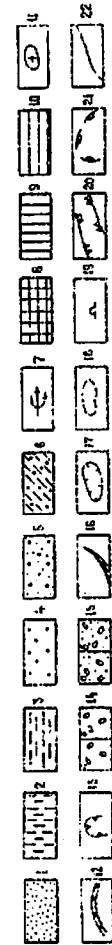
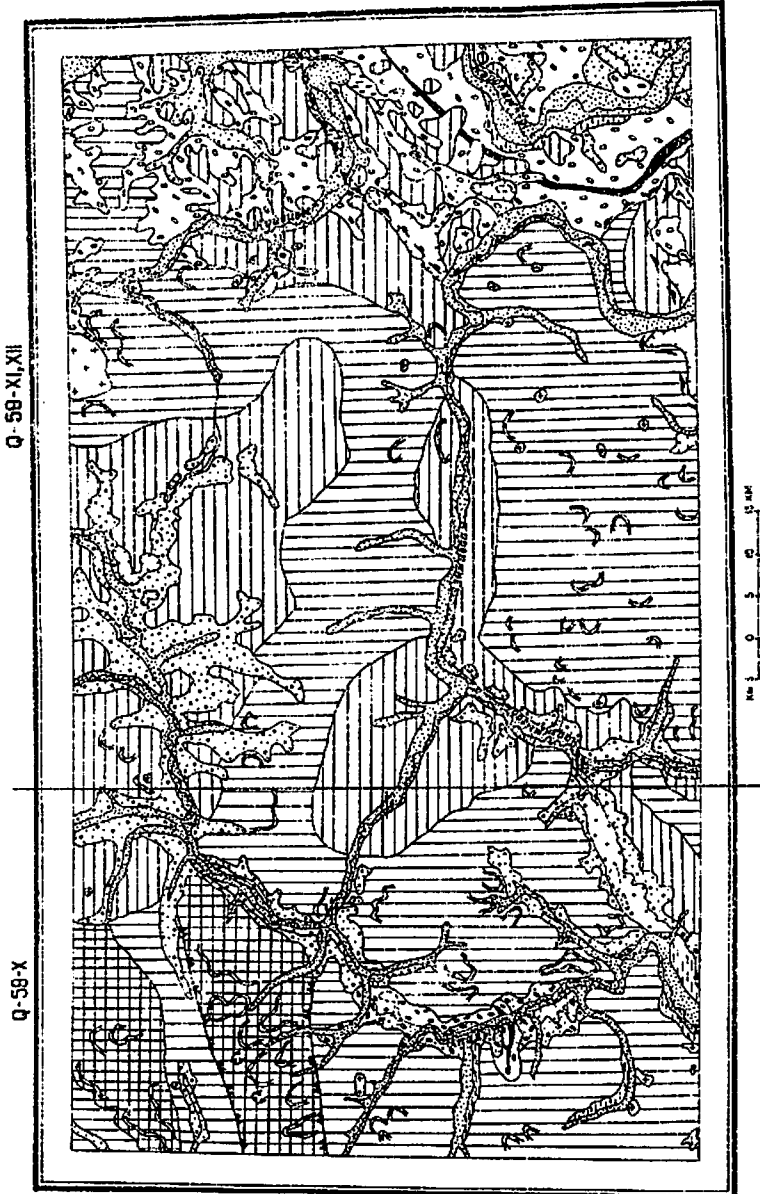


Рис.4. Геоморфологическая схема

1 - русло и пойма современные; 2-5 - надпойменные террасы; 2 - I терраса сартанского возраста, 3 - II терраса заринского возраста, 4 - III терраса хазанцевского возраста, 5 - место речного переката; 6 - рельеф озерно-аллювиальной равнины заринского возраста; 7 - место речного рельефа; 8-9 - инзигорный рельеф; 8 - резко расщепленный, 9 - слабо расщепленный; 10 - увалистый рельеф; 11 - отпресарированные суббульвнические интрузии; 12 - уступы, образовавшиеся в результате пропарировок плавовых покровов; 13 - кары заринского возраста; 14 - морены: а - заринского, б - сартанского возраста; 15 - занцы долинные: а - заринского, б - сартанского возраста; 16 - моренные гряды (конечные); 17 - аллюзы; 18 - термокарстовые озера; 19 - гидролакколиты; 20 - границы блоков новейших поднятий; 21 - кони-тур Белской эпанды, 22 - геоморфологические граници

Большинство речных долин Анадырского плоскогорья в настоящее время находится в стадии глубинной эрозии. В долине р.Анадырь преобладает боковая эрозия, что отражается в меандрировании водотоков и формировании широкой (до 2 км) поймы. Терраса сартанского возраста аккумулятивная высотой 4 м и шириной до 2 км фрагментарно проолеживает в бассейнах рек Энзываам и Брумкувеем. На ней сохраняются следы вееров блуждания водотоков и старичные озера. Терраса каргинского возраста аккумулятивная, ширина ее 2 км, в бассейне р.Анадырь имеет высоту 4 м, а в бассейне р.Брумкувеем – 6 м. Иногда на ней наблюдаются старичные озера. Терраса зырянского времени цокольная (высота 10-15 м, ширина до 0,5 км), распространена в бассейне верхнего и среднего течения р.Энзываам. Она прослеживается из бассейна р.Энзываам в бассейн р.Анадырь, где имеет высоту 8 м и ширину до 3 км. Здесь она аккумулятивная, на ней наблюдаются термокарстовые западины глубиной около 5 м с озерами. Терраса казанцевского возраста широко распространена в бассейне верхнего и среднего течения р.Энзываам. На этом участке она цокольная, шириной до 5 км. Высота ее меняется от 20 м в бассейне верхнего течения р.Энзываам до 100 м в бассейне среднего ее течения (максимальной высоты она достигает на участке речного перехвата р.Энзываам палеорусла притока р.Анадырь). Терраса прослеживается из бассейна р.Энзываам в бассейн р.Анадырь, где она становится аккумулятивной, высота ее 12 м при ширине до 3 км. В бассейне р.Брумкувеем высота террасы 30 м и ширина до 2 км.

Речные перехваты зафиксированы в долинах р.Энзываам (среднее течение) и Кайэнзываам, где р.Анадырь и ее притоки перехватываются р.Энзываам. Причина этого явления неясна. Судя по распространению речных террас разного возраста, перестройка речной сети произошла после зырянского времени.

Бельской впадине на рассматриваемой территории свойственен в основном аккумулятивный грядово-холмистый конечномореный рельеф, сочетающийся с рельефом останцовых гор. Здесь наблюдаются реликты крупного конечноморенного вала самаровского времени, расположенного в основном на территории, смежной с юга и юго-востока /6,II/. Вал хорошо дешифрируется на РЛ-снимках и космоснимках. В рассматриваемом районе находится его северо-западная оконечность, которая прослеживается в близмеридиональном направлении на расстояние 45 км и дугобразно изогнута в плане параллельно ограничению Бельской впадины. Ширина вала около 20 км. Высота отдельных гряд и холмов до 60 м, протяженность гряд до 10 км. Вал прорезан долинами современных водотоков на глубину до 50 м.

В пределах вала обособляются участки увалистого рельефа Останцовых гор, на водоразделах и склонах которых наблюдаются обильные высыпки эрратических валунов и гальки. Водно-ледниковые формы рельефа самаровского времени пространственно сочетаются с ледниками. Они имеют вид террас высотой 35 м и шириной до 4 км, лентами прослеживающимися в основном во внешней части конечноморенного вала. На этих образованиях широко распространены аласы с озерами. У южной границы района в Бельской впадине небольшими по площади участками обособляются реликты озерно-аллювиальной равнины зырянского времени, прослеживающейся со смежной с юга территории, где она имеет широкое распространение /6/. Равнина расчленена ступенчатыми аласами впадинами глубиной 10-15 м и прорезана долинами современных водотоков на глубину 25 м. В юго-восточной части района в виде террасы высотой 25 м фиксируется участок зандрового поля зырянского времени, прослеживающейся со смежной с востока территории /20/. В долинах рек Бельской впадины преобладает боковая эрозия – реки меандрируют, ширина поймы составляет 4-5 км. Вдоль р.Брумкувеем прослеживаются террасы каргинского возраста высотой 6 м, шириной до 2 км и казанцевского возраста высотой 30 м, шириной до 7 км.

## ПОЛЕЗНЫЕ ИСКОПАЕМЫЕ

На рассматриваемой территории выявлены проявление, пункты минерализации золота и серебра, геохимическая аномалия золота, шлиховые ореолы киновари и золота, а также горные породы, пригодные для использования их в качестве строительных материалов.

Проявление и пункты минерализации золота и серебра, геохимическая аномалия и шлиховые ореолы золота сосредоточены в полосе северо-восточного направления от границы территории на юго-западе до р.Прав.Куйивеем на северо-востоке, где они приурочены к осевой наиболее прогнутой части унаследованной подзоны внутренней зоны ОЧВП. Описываемые образования размещаются в основном у ограничений или в центральных частях кальдер и редко присадок, выполненных вулканитами нижней подсвиты эмунэрэтской свиты, а также зафиксированы в борту кольцевой депрессии среди эргываамских игнимбритов и в пределах поднятого блока в поле развития пыкарваамской свиты (возможно, это купольная структура). Они пространственно ассоциируют с полями вторичных кварцитов и аргиллизированных пород, позднемеловыми штоками, дайками и экструзивными куполами, сложенными породами среднего и кислого состава, трубками эксплозивных брекчий.

Проявления жильного кварца, с которыми связана золото-серебряная минерализация, контролируются концентрическими и радиальными по отношению к вулканоструктурам разрывами, а также северо-западными прямолинейными разрывами, пересекающими вулканоструктуры. Связь проявлений жильного кварца с вулканоструктурами, пространственная их ассоциация с полями вторичных кварцитов и аргиллизированных пород, а также характерные структурные и текстурные особенности жильного кварца типичны для рудных объектов золото-серебряной формации ОЧВП (проявление Валунистое /7/).

Шлиховые ореолы киновари пространственно тяготеют к зоне Оконайтовского глубинного разлома и к опережающим его разрывам.

#### МЕТАЛЛИЧЕСКИЕ ИСКОПАЕМЫЕ

##### Редкие металлы

###### Ртуть

Выявленные четыре шлиховых ореола киновари I-4-1 (Q-59-X), I-I-1 (Q-59-XI), П-I-1, П-4-3, III-I-1 (Q-59-X) располагаются в полях развития вулканитов пыкараамской, козкуньской, эмунэрэтской и эргиваамской свит. Киноварь в шлихах из дуслового и пойменного аллювия содержится в виде единичных зерен размером от 0,1 до 1 мм. Коренные источники киновари не обнаружены, единичные зерна выявлены также в отдельных далеко отстоящих друг от других шлиховых пробах из аллювия многих водотоков в бассейнах рек Аржваам, Куйвивеем, Лев.Ванакваам, Энмываам.

##### Благородные металлы

###### Золото, серебро

Проявление и пункты минерализации золота и серебра связаны с зонами кварцевых жил, полями различно ориентированных кварцевых прожилков и одиночными кварцевыми жилами.

Проявления П-2-4 (Q-59-XI) и пункты минерализации П-4-1 (Q-59-X), П-2-2, 5, 6 (Q-59-XI) приурочены к зонам кварцевых жил, расположенным в Снежинской и Северо-Куйвивеемской кальдерах в туфах дацитов нижней подсвиты эмунэрэтской свиты. В Северо-Куйвивеемской кальдере сближенные зоны кварцевых жил (проявление П-2-4, Q-59-XI) и пункты минерализации (П-2-5, 6, Q-59-XI) локализуются в центральной ее части и имеют близширотное прос-

тижение (близширотное простирание имеют и кварцевые жилы в пределах зон). Зоны тяготеют к прямолинейному северо-западному разрыву, пересекающему кальдеру, и, очевидно, приурочены к открытым его трещинам. Кварцевые жилы пространственно ассоциируют с экструзивным куполом, сложенным андезито-дацитами (выходы его наблюдаются непосредственно западней жил) и, возможно, обилье жильного материала здесь обусловлено его экранирующим влиянием. Описываемые образования расположены на водоразделе и склоне воззвышенности, в пределах которой вертикальный размах золото-серебряной минерализации составляет около 150 м.

Наиболее крупный объект (проявление П-2-4, Q-59-XI) – зона кварцевых жил длиной 2 км, шириной 150–200 м. В пределах зоны по делению прослежено около 20 жил длиной от 100 до 400 м. В направлении, поперечном простиранию зоны, обычно фиксируется четырнадцать жил. По зоне кварцевых жил пройдено пять канав суммарной длиной 150 м. Мощность вскрытых жил 0,5–1 м. Содержание золота в жильном кварце 0,1–0,2 г/т, серебра – 10–30 г/т (данные спектрального анализа бороздовых проб). Результаты штучного опробования: из 45 проб в 39 спектральным и пробирным анализом определены содержания золота 0,1–0,2 г/т, серебра – 1–30 г/т, в шести пробах содержание золота составляют 1–5 г/т, серебра – 50–300 г/т. Кроме золота и серебра, по данным спектрального анализа штучных и бороздовых проб, нарядка обнаруживаются медь (до 0,01%), свинец (до 0,01%), лантан (0,1%).

Другие зоны кварцевых жил, расположенные в центральной части Северо-Куйвивеемской кальдеры (П-2-5, 6, Q-59-XI), а также в ее северном борту (П-2-2, Q-59-XI) и в северо-западном ограничении Снежинской кальдеры (П-4-1, Q-59-X), имеют ширину 100–200 м, длину 1–2 км. Количество выявленных по делению жил в каждой из них около 10 при тех же размерах жил. Результаты штучного опробования жильного кварца (10–20 проб из каждой зоны) аналогичны описанному выше.

Зона кварцевых жил, к которой приурочен пункт минерализации П-2-2 (Q-59-XI), имеет северо-восточное простирание и ориентирована параллельно разрыву, ограничивающему кальдеру. В пределах зоны выявлено шесть трубок эксплозивных брекчий размером 20–50 м в поперечнике. Брекчии превращены во вторичные кварциты и пронизаны сетью различно ориентированных кварцевых прожилков мощностью 0,1–1 см, составляющих до 30% объема породы. В брекчиях по данным спектрального анализа обнаружено 1–2 г/т золота и до 30 г/т серебра (в трех штучных пробах из семи). В шлиховой пробе из аллю-

вия, отобранный в 2,5 км к юго-востоку, установлено содержание золота 0,05 г/м<sup>3</sup>. Это позволяет предполагать наличие поблизости рудных объектов, которые могут быть аналогичны описанному выше пункту минерализации.

Зона кварцевых жил, с которой связан пункт минерализации П-4-1 (Q-59-X), ориентирована в направлении, поперечном простиранию разрыва, ограничивающего кальдеру. По-видимому, она приурочена к трещинам, радиальным по отношению к вулканоструктуре. Кварцевые жилы размещаются в аргиллизированных (площадь поля гидротермально измененных пород 4 км<sup>2</sup>) эмунэретских туфах, выполняющих кальдеру, и пыкараамских игнимбритах в ее обрамлении. В некоторых штуфных пробах, кроме золота и серебра, обнаружено 0,1 меди, 0,3% молибдена, 0,7% цинка, 1% свинца, 0,5% мыльяка, 0,1% лития.

Пункт минерализации золота и серебра III-I-2 (Q-59-XI) приурочен к юго-западному обрамлению Эмунэретской кальдеры близ соединения ее с Гытгынельваамской просадкой и представляет собой участок сгущения различно ориентированных кварцевых прожилков во вторичных кварцитах по туфам кислого состава нижней подсвиты эмунэретской свиты. В целом область соединения вулканоструктур характеризуется широким развитием полей аргиллизированных пород и вторичных кварцитов. Поля гидротермально-измененных пород распространены на площади 150 км<sup>2</sup>, но составляют от нее около 30%. В районе пункта минерализации поле вторичных кварцитов вытянуто в близмеридиональном направлении вдоль разрыва, ориентированного радиально по отношению к Гытгынельваамской просадке. В зоне нарушения среди вторичных кварцитов наблюдаются участки размером около 50 x 200 м в плане аргиллизированных пород. Кварциты в восточной части поля перекрыты палеогеновыми базальтами, в которых признаки гидротермальной переработки отсутствуют.

Повышенные содержания золота выявлены шлиховым и литохимическим опробованием делювиальных отложений на площади 0,7 км<sup>2</sup> в 300 м к западу от близмеридионального разрыва. В пределах участка пройдено пять канав суммарной длиной 340 м. Мощность вскрытых кварцевых прожилков 0,1-1 мм, редко до 1 см. Жильный кварц составляет около 1% объема породы. Бороздовым опробованием в разрозненных интервалах установлены содержания золота 0,1-1 г/т и серебра 1-10 г/т на длину борозд от 1 до 8 м (данные спектрального анализа). В трех разрозненных интервалах опробования длиной от 1 до 2 м в центральной части участка выявлены содержания золота 1-4 г/т, серебра - 10-20 г/т (данные пробирного анализа). Кроме золота и серебра спектральным анализом изредка

обнаруживаются молибден (до 0,00%), цинк (до 0,7%), свинец (до 0,3%), ртуть (до 0,01%), барий (до 0,8%). Пункт минерализации расположен на пологом склоне, где вертикальный размер золото-серебряной минерализации оценивается в 30 м. Содержания золота в литохимических пробах не превышают 0,1-0,2 г/т, серебра - 1 г/т. В шлиховых пробах, отобранных из делювия, золото содержится в единичных зернах, в некоторых пробах его содержание составляет 0,1-0,2 г/т, а в одной пробе - 3 г/м<sup>3</sup>. Размер золотин сотые и десятые доли миллиметра. Цвет светло-желтый. Форма губчатая, дендритовидная и игольчатая. Участок с повышенным содержанием золота и серебра горными работами, шлиховым и литохимическим опробованием делювия из оконтурен. Предполагается, что он вытянут параллельно близмеридиональному разрыву. В шлиховых пробах из аллювия, отобранных в 800 м к юго-востоку, установлены содержания золота до 0,2 г/т. Это позволяет предполагать наличие поблизости рудных объектов, которые могут быть аналогичны описанному выше пункту минерализации.

Пункты минерализации золота и серебра П-4-2 (Q-59-X), П-2-3, III-I-4, III-3-1, III-4-1, IV-I-1, 2 (Q-59-XI, XII) приурочены к одиночным кварцевым жилам мощностью 0,2-0,5 м и длиной до 100 м. Содержания золота в них составляют от 0,2 до 3 г/т, серебра - 10-30 г/т, в пункте минерализации IV-I-1 (Q-59-XI) содержание серебра достигает 300 г/т при содержании золота 3 г/т (данные спектрального анализа штуфных проб). Кварцевые жилы в Снежинской (П-4-2, Q-59-X), Северо-Куйвивеемской (П-2-3, Q-59-XI) кальдерах и Гытгынельваамской просадке (III-I-1, Q-59-XI) находятся в той же геологической обстановке, что и зоны кварцевых жил, описанные выше. Кварцевые жилы, к которым приурочены пункты минерализации III-3-1, III-4-1 (Q-59-XI, XII), расположены в южном борту Куйвиверетской кольцевой депрессии. Они имеют северо-восточное простирание, размещаются в игнимбритах риолитов эргивасимской свиты в пределах обширного (16 км<sup>2</sup>) поля вторичных кварцитов, вытянутого в плане вдоль ограничения кольцевой депрессии. Кварцевые жилы, к которым приурочены пункты минерализации IV-I-1, 2 (Q-59-XI), располагаются, по-видимому, в купольной структуре в поле развития игнимбритов риолитов пыкараамской свиты. Простирание жил северо-восточное.

В рассмотренных выше проявлениях и пунктах минерализации в шлихах из протолочек штуфных и бороздовых проб обнаружены единичные зерна золота, в отдельных пробах - в количестве до 20-30 зерен (III-I-2, Q-59-XI). Размер золотин от 0,05 до 0,3 мм. Цвет

светло-желтый, форма кирзоватая, игольчатая, губчатая, щетинчатая. В единичных зернах встречаются аргентит, галенит, сфалерит, киноварь, пирит.

### Золото

Выявлено четыре шлиховых ореола золота, один из которых (Ш-4-4, Q-59-X; Ш-1-1, Q-59-XI) располагается в южном обрамлении Снежинской и Эмунэрэтской кальдер, второй (П-2-1, Q-59-XI) - в пределах Северо-Куйвивеемской кальдеры и Куйвивеемской кольцевой депрессии, третий (ИУ-1, 2, Q-59-X) - в обрамлении Кайвырывавамской просадки и четвертый (ИУ-4-1, Q-59-X; ИУ-1-3, Q-59-XI) - в пределах предполагаемой купольной структуры. Золото в шлихах содержится в виде единичных зерен. Лишь в пробе, отобранный из аллювия левого притока р.Кычулвеемкэй (П-2-1, Q-59-XI), зафиксировано 0,05 г/м<sup>3</sup>, а в верховье левого притока р.Ниж.Гытгынъваам (Ш-1-1, Q-59-XI) содержание золота достигает 0,2 г/м<sup>3</sup>. Размер золотин от 0,05 до 0,1 мм, редко до 1 мм. Форма комковатая, пластинчатая, дендритовидная, игольчатая. Окатаность средняя и плохая. Единичные зерна золота установлены в отдельных шлиховых пробах, отобранных из аллювия многих водотоков района, главным образом там, где концентрируются поля гидротермально измененных пород (реки Лев.Мечекрынэтвеем, Бускынзивеем, Сред.Эмунэрэтвеем, Лев.Банакваам, правые притоки рек Бол.Куйвинэрэт, Варэнэт, руч.Леновского - Q-59-XI, XII).

Повышенное содержание золота (Ш-1-3, Q-59-XI) зафиксировано в аллювиальных отложениях временного водотока, дренирующего аргиллизированные туфы дацитов нижней подсвиты эмунэрэтской свиты в южной части Эмунэрэтской кальдеры. Содержание золота в единичной литохимической пробе, по данным спектрального анализа, 0,5 г/т.

### Серебро

Выявлено два пункта минерализации серебра, один из которых (ИУ-1-1, Q-59-X) располагается в обрамлении Кайвырывавамской просадки, другой (П-2-7, Q-59-XI) - в борту Северо-Куйвивеемской кальдеры. Пункты минерализации приурочены к одиночным кварцевым хилям, развалы которых шириной около 1 м и длиной около 200 м находятся в поле развития туфов кислого состава нижней подсвиты эмунэрэтской свиты. Содержание серебра в первом пункте составляет 300 г/т, во втором - 100 г/т (данные спект-

рального анализа двух штробных проб из жильного кварца). Кроме серебра установлены цинк и свинец (0,05%).

### СТРОИТЕЛЬНЫЕ МАТЕРИАЛЫ

Специализированных поисковых и разведочных работ на строительные материалы не проводилось. В качестве стройматериалов можно использовать гравийно-галечные смеси, песок, гиалонгнимбриты и витрофиры (вулканические стекла).

Гравийно-галечные смеси являются главной составной частью аллювиальных отложений. Они широко распространены во всех крупных речных долинах (особенно в долинах рек Друмкувеем, Куйвивеем, Эзыываам, Анадырь). Это аллювиальные русловые отложения и отложения, которыми сложены террасы. Они прослеживаются на многие десятки километров при ширине до 4 км и мощности до 30 м и представлены преимущественно галечниками с примесью гравия (20-30%) и редко песка (до 30%). Гравийно-галечные смеси могут быть использованы при строительстве дорог, а также в качестве заполнителей для бетона.

Песок развит в русловых отложениях у правого борта долины р.Эзыываам, в 2 км выше устья р.Пырканайваам (Q-59-XI). Площадь распространения 2 км<sup>2</sup>, видимая мощность 1,5-2 м. Песок мелкозернистый, равномернозернистый, содержит не более 5% глинистого материала. Возможная область его применения - кладочные и штукатурные растворы.

Гиалонгнимбриты с недевитрифицированной основной массой в бассейнах рек Прав.Угатын, Кавмынаваам и Мынкарэнэт (Q-59-X) в нижней подсвите пыкварваамской свиты образуют горизонт мощностью 125 м, обнажающийся на площади около 65 км<sup>2</sup>. Пласт аналогичных гиалонгнимбритов мощностью 20 м в составе нижней подсвиты эмунэрэтской свиты прослеживается на 18 км в скальных выходах в обоих бортах долины р.Эзыываам от устья руч.Снежного (Q-59-X) до устья р.Кайэнмываам (Q-59-XI). Породы состоят из изотропного вулканического стекла с микронгнимбритовой структурой в кристаллокластической части (5-10%). По данным химического анализа, гиалонгнимбриты (см.табл.2, ан.3) содержат около 4% воды.

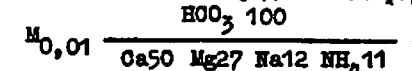
Вулканические стекла широко распространены в бассейне р.Эзыываам на отрезке ее течения между устьями руч.Снежного и р.Кайэнмываам (Q-59-X,XI). Они образуют покров мощностью 10 м в составе нижней подсвиты эмунэрэтской свиты. Многочисленные субвулканические штоки риолитов, распространенные

здесь же, а также в междуречье Вусынэйвеем - Лев.Куйвивеем (9-59-XI) представляют собой неизмененные вулканические стекла. Наиболее крупный шток на левобережье руч. Снежного имеет размер в поперечнике 700 м. Вулканические стекла имеют черную, зеленую или коричневую окраску, содержат не более 1% вкраплеников, иногда обладают перлитовой текстурой. Среди гиалоигнимбритов и вулканических стекол после проведения необходимых испытаний могут быть выявлены разности, пригодные для изготовления легких заполнителей при производстве теплоизоляционных изделий и конструктивных бетонов.

## ПОДЗЕМНЫЕ ВОДЫ

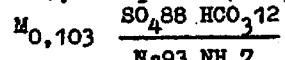
По гидрогеологическому районированию /8/ описываемая территория входит в состав Эвено-Чукотской системы бассейнов трещинных и трещинно-жильных вод.

Гидрогеологические условия определяются сплошным развитием многолетнемерзлых пород, мощность которых оценивается в 150-200 м /18/. Динамика вод сезонно-талого слоя связана с сезонной оттайкой. Наибольшая глубина протаивания (до 2,5 м) отмечается в элювиально-делювиальных отложениях южных склонов гор, наименьшая (0,4 м) - на низменных участках, где в составе рыхлых отложений преобладает глинистая фракция. Оттаяка начинается в конце мая, наибольшей глубины достигает в конце сентября, а в конце октября сезонно-талый слой промерзает полностью. Максимальная водообильность наблюдается в периоды интенсивной оттаяки (июнь) и затяжных дождей (конец июля - середина августа). В засушливое время года воды сезонно-талого слоя сохраняются на равнинных зарегулированных участках, в местах перегибов склонов и у их подножий, проявляясь в виде мочажин, временных источников, небольших болот. Родники обладают незначительным и непостоянным дебитом (от 0,2-0,5 до 1 л/с). В начале зимнего периода при промерзании слоя сверху воды его приобретают напорный характер. Качество их в горной части территории хорошее. Они прозрачные, без запаха, преимущественно гидрокарбонатные, со смешанным катионным составом, слабокислые ( $\text{pH}=6,1-6,7$ ), ультрапресные (минерализация от 10 до 50 мг/л), очень мягкие (жесткость 0,05-0,3 мг-экв/л). На равнинных заболоченных участках качество вод ухудшается: они имеют буроватый цвет, застойный запах, содержат большое количество органики. Солевой состав определяется формулой:



100

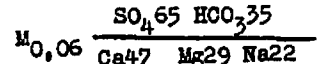
На участках развития гидротермальных образований (например, в верховье р.Киччулвеемской), где широко распространены артилизированные породы, вторичные кварциты и кварцевые жилы, воды сезоно-талого слоя становятся сульфатными, повышается их кислотность ( $\text{pH}$  от 5,5 до <4), минерализация превышает 100 мг/л:



В сульфатных водах обнаруживаются повышенные содержания микрокомпонентов (в 2-5 раз выше фоновых золота, серебра, цинка, свинца, меди).

Помимо вод сезоно-талого слоя в рассматриваемом районе выделяются: 1) водоносный горизонт рыхлых четвертичных отложений (в пределах устойчивых надмерзлотных и сквозных таликов); 2) водоносная зона трещиноватости мезозойских пород (в основном в сквозных таликах); 3) подмерзлотная зона трещиноватости мезозойских пород спорадического обводнения.

Водоносный горизонт рыхлых четвертичных отложений приурочен к надмерзлотным и сквозным таликам, развитым в пойменных частях долин крупных водотоков. Судя по островному распределению растительности, талики носят прерывистый характер. На существование таликовых зон могут указывать многолетние наледи в долинах, приуроченных к разрывным нарушениям (реки Энмываам, Аналырь, Кайэнмываам, Куйвивеем). Вероятно, водоносные устойчивые талики имеются и под озерами глубиной более 2 м. Водоизмещающие породы представлены аллювиальными, ледниковыми, водно-ледниковыми и озерно-болотными отложениями. Подземные воды четвертичных отложений имеют тесную гидравлическую связь с поверхностными водами. С прекращением поверхностного стока уровень подземных вод снижается. Дренируется водоносный горизонт местной гидросетью. Разгрузка подземных вод в виде источников отмечена в пределах высокой поймы на правобережье р.Энмываам у южной границы района. Химический состав их очень близок составу вод поверхностных водотоков. Воды ультрапресные, сульфатно-гидрокарбонатные, смешанного катионного состава:



Химический состав льда наледей близок химическому составу поверхностных вод, отличаясь от них меньшей минерализацией (до 10 мг/л).

101

Водоносная зона трещиноватости мезозойских пород приурочена к сквозным таликам, развитие которых предполагается на отдельных участках под руслами наиболее крупных рек района (реки Куйвивеем, Анадырь, Кайэнываам, Кайвырываам). Водовмещающими породами являются разнообразные по составу вулканические и интрузивные образования мелового и палеогенового возраста. Химический состав трещинных вод не изучался.

В подмерзлотной зоне на глубинах более 100 м трещиноватость пород, как правило, слабая и обводненность меловых и палеогеновых образований (вулканических и интрузивных) имеет спорадический характер.

Коэффициенты фильтрации пород на водоразделах под толщей многолетней мерзлоты составляют сотые и тысячные доли метра в сутки (по аналогии с соседними районами). Основная водоносность приурочена непосредственно к подмерзлотной зоне мощностью 10–30 м [8].

Для водоснабжения в летнее время пригодны поверхностные воды. В холодный период многие реки промерзают до дна и водоснабжение может осуществляться за счет водоносного горизонта рыхлых четвертичных отложений и водоносной зоны трещиноватости меловых и палеогеновых пород в пределах развития устойчивых надмерзлотных и сквозных таликов.

## ОЦЕНКА ПЕРСПЕКТИВ РАЙОНА

Основные черты металлогении описываемой территории определяются ее расположением в пределах ОЧНП. В соответствии со схемой металлогенического районирования Северо-Востока СССР [7] она находится в Верхне-Анадырской и Центрально-Чукотской зонах Охотско-Чукотской металлогенической провинции, для которых характерно золото-серебряное, ртутное и медное оруденение.

Перспективы района на золото и серебро определяются следующими поисковыми данными: приуроченность рудной минерализации главным образом к кальдерам и просадкам, выполненным вулканитами нижней подсвиты эмунэрэтской свиты; концентрацией экструзивных куполов, субвулканических тел и даек кислого и среднего состава, эксплозивных брекчий; присутствием полей аргиллизированных пород, вторичных кварцитов, а также кварцевых жил, в которых часто отмечается повышенное содержание золота и серебра; наличием шлиховых ореолов золота. Известные проявления и пункты минерализации золота и серебра относятся, по-видимому, к золото-

серебряной формации. Широкое распространение гидротермально-измененных пород, присутствие невскрытых интрузивных и субвулканических тел свидетельствуют о малой глубине эрозионного среза рудных объектов.

Наиболее перспективные площади находятся в центральной части района (рис.5). Одна из них ( $680 \text{ км}^2$ ) охватывает Снежниковую, Эмунэрэтскую кальдеры и северную часть Гытгынльваамской просадки, другая ( $320 \text{ км}^2$ ) – Северо-Куйвивеемскую кальдеру. Здесь сосредоточены проявления и почти все известные пункты минерализации золота и серебра, наблюдаются шлиховые ореолы золота в области соединения Эмунэрэтской кальдеры и Гытгынльваамской просадки процессы гидротермальной переработки произошли наиболее широко. И хотя поисковые работы при мелкомасштабной геологической съемке оказались здесь мало результативными, выявленные высокие содержания золота в делювии в пункте минерализации III-I-2 (Q-59-XI) и в аллювиальных отложениях восточной и юго-восточной пункта позволяют высоко оценить перспективы как самого объекта, так и прилегающей территории.

На схеме прогноза показаны также менее перспективные площади, где проявлены в основном благоприятные геологические факторы, но прямые поисковые признаки отсутствуют или выражены слабее. В северо-восточной части района в эту площадь ( $2300 \text{ км}^2$ ) включены: Восточно-Куйвивеемская, Южно-Куйвивеемская кальдеры и кальдеры бассейна р. Куйвивеем, где геологическая ситуация аналогична рассмотренной выше и в отдельных шлиховых пробах из аллювия установлены зерна золота; Куйвивеемская и Куйвинэрэтская кольцевые депрессии (выполнены эргиваамскими игнимбритами), в пределах которых распространяются шлиховые ореолы золота или золото содержится в отдельных шлиховых пробах из аллювия в виде единичных зерен, а также имеются поля вторичных кварцитов, кварцевые жилы и связанные с ними пункты минерализации золота и серебра.

В южной части района в менее перспективную площадь ( $600 \text{ км}^2$ ) включены: Эргиваамская просадка и южные части Гытгынльваамской просадки и Эммываамской кольцевой депрессии; предполагаемая купольная структура, где выходит пыкарваамская свита, в поле развития которой имеются шлиховой ореол золота, кварцевые жилы и приуроченные к ним пункты минерализации золота и серебра.

В юго-западной части района в менее перспективную площадь ( $300 \text{ км}^2$ ) включена Кайвырываамская просадка и ее юго-западное обрамление, где имеется пункт минерализации серебра, приуроченный к кварцевой жиле, и шлиховой ореол золота.

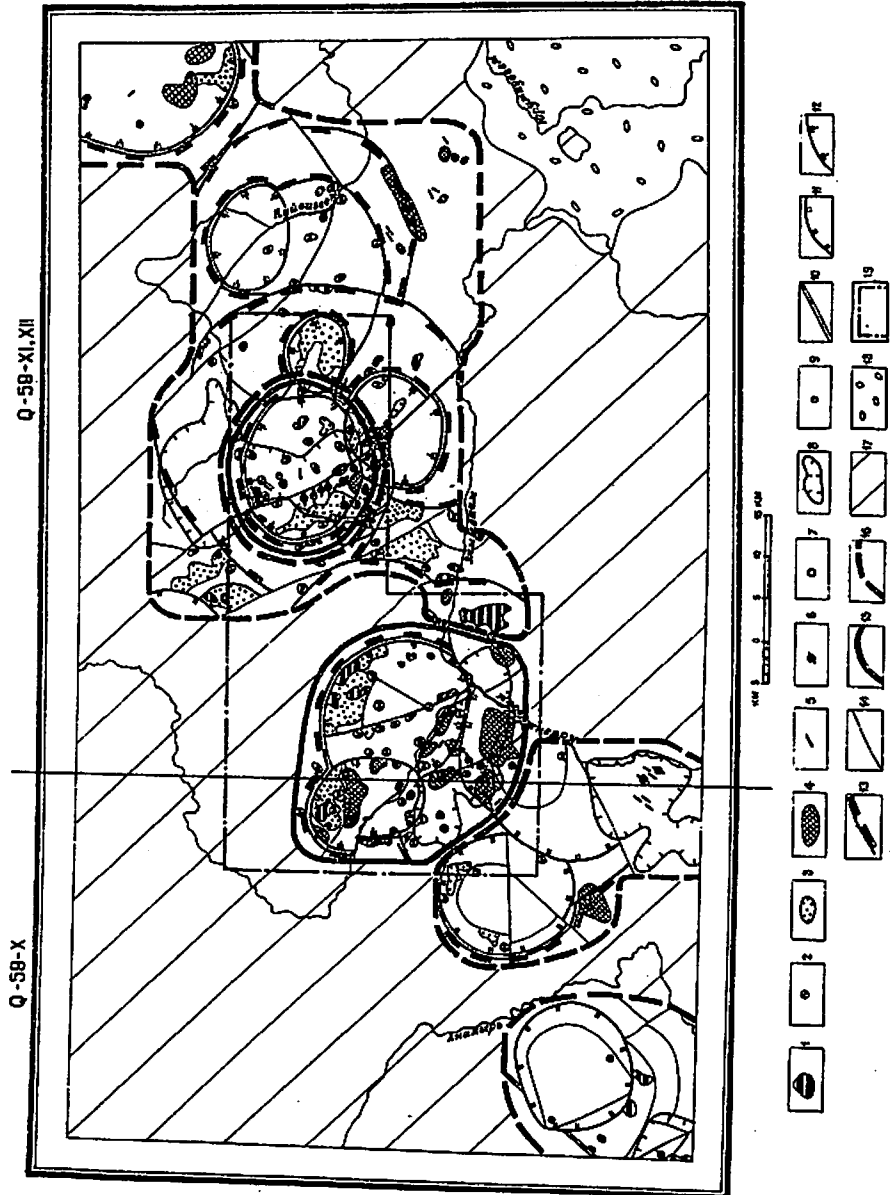


Рис. 5. Схема прогнозов и рекомендаций

1-14 - рудоконтролирующие факторы и признаки оруденения: 1 - поздненемеловые субзумкинические тела мелкого и среднего состава; 2 - грубыи экспозиционных брекчий; 3 - эвакуационные купола илового и среднего состава; 4 - аргиллитизированные и вторичные кварциты; 5 - кварцевые жилы; 6 - прожилки в пачки минерализации золота и серебра, связанные с кварцевыми жилами; 7 - геосхематические аномалии золота; 8 - никелевые ореолы золота; 9 - никелевые пробы с высоким содержанием золота; 10 - главный разрыв Оисайтского разлома; 11-13 - разрывные нарушения, ограниченные зонами: 11 - просадки, 12 - нальдера, 13 - хольцевые калпрессы; 14 - разрывные нарушения второстепенные: 15-16 - границы площадей: 15 - наиболее перспективных, 16 - менее перспективных; перспективных на золото и серебро: 17-18 - площаеди, перспективные: 17 - с неясными перспективами, 18 - малоперспективные, перекрытые рыхлыми четвертичными отложениями; 19 - граница площаеди, рекомендуемой для постановки грунтовой геологической съемки масштаба 1:50 000

Перспективы обнаружения коренных месторождений ртути неизвестны, о чем говорит отсутствие существенных скоплений киновари в шлиховых пробах из аллювиальных отложений.

Возможность обнаружения промышленных россыпей золота в горной части территории невелика. Шлиховое опробование не дало положительных результатов, в проявлениях и известных пунктах минерализации золото обнаруживается главным образом в тонкорассеянном состоянии. Однако не исключено нахождение набольших россыпей в непосредственной близости от коренных источников в пределах наиболее перспективной площади, особенно там, где имеется большое количество золотосодержащих кварцевых жил и выявлены высокие содержания золота в шлиховых пробах из аллювия и делювия.

Определенный интерес представляют вулканические стекла, которые могут быть перспективным объектом для выявления месторождений перлитов.

Учитывая низкие содержания полезных компонентов в известных проявлениях и пунктах минерализации золота и серебра, а также большую удаленность района от горнодобывающих предприятий и отсутствие дорог и топлива, площади листов не относятся к первоочередным объектам для более детальных работ. На территории, охватывающей наиболее перспективные площади ( $1300 \text{ км}^2$ ), рекомендуется постановка грунтовой геологической съемки масштаба I:50 000 с опережающими геохимическими работами: литохимическим поисками по потокам рассеяния в масштабе I:200 000 на всей территории листов, за исключением восточной части территории листа Q-59-XII, где широко распространены ледниковые отложения, и литохимическими поисками по вторичным ореолам рассеяния в масштабе I:50 000 на наиболее перспективных площадях. Кроме того, попутно при геологосъемочных работах масштаба I:50 000 рекомендуется провести изучение проявлений вулканического стекла.

#### ЛИТЕРАТУРА Опубликованная

1. Б е л ы й В.Ф. Главные типы вулканических поясов в области мезозойского тектогенеза Восточной Азии. - В жн.. Мезозойский тектогенез. Мат-лы УП сес. Научн. совета по тектонике Сибири и Дальнего Востока. - Тр.СВКНИИ ДВНЦ АН СССР. Магадан, 1971.

2. Б е л ы й В.Ф. Стратиграфия и структуры Охотско-Чукотского вулканогенного пояса. - Тр.СВКНИИ ДВНЦ АН СССР. Наука, 1971.

3. Б е л ы й В.Ф., К о т л я р И.Н., М и л о з А.П. Структурно-формационная карта Охотско-Чукотского вулканогенного пояса. масштаба I:I 500 000. - Тр.СВКНИИ ДВНЦ АН СССР. Магадан, 1977.

4. Б е л ы й В.Ф. Формация и тектоника Охотско-Чукотского вулканогенного пояса. - Тр.СВКНИИ ДВНЦ АН СССР. Наука, 1978.

5. В а с е ц к и й И.П. Государственная геологическая карта СССР масштаба I:I 000 000. Лист Q-59. Объяснительная записка. Госгеолтехиздат, 1962.

6. В я т к и н В.В. Геологическая карта СССР масштаба I:200 000. Серия Анадырская, листы Q-59-XVI, Q-59-XVII, XVI. Объяснительная записка. М., 1988.

7. Г е о л о г и я СССР, т.XXX. Северо-Восток СССР, геологическое описание, кн.2. Недра, 1979.

8. Г и д р о г е о л о г и я СССР, т.XXVI. Северо-Восток СССР. Недра, 1972.

9. Ж е л т о в с к и й В.Г. Геологическая карта СССР масштаба I:200 000. Серия Анадырская, лист Q-59-U, VI. Объяснительная записка. Недра, 1975.

10. Ж у п а х и н Е.И., Ж и т е ц к и й А.А., С к о р и к о в Р.А. Особенности геофизических полей и структуры Анадырского отрезка Охотско-Чукотского вулканогенного пояса. - "Геология и геофизика", 1977, № 7.

11. З а х а р о в В.А. Геологическая карта СССР масштаба I:200 000. Серия Анадырская, лист Q-60-XIII, XIU. Объяснительная записка. Магадан, 1979.

12. З о т о в Е.К. Геологическая карта СССР масштаба I:200 000. Серия Анадырская, лист Q-59-XV. Объяснительная записка. М., 1980.

13. К о р о т ы ч В.Г. Государственная геологическая карта СССР масштаба I:200 000. Серия Анадырская, лист Q-59-XVIII. Объяснительная записка.

14. Р а е в с к и й Ф.Б. Геологическая карта СССР масштаба I:200 000. Серия Чунская, лист Q-59-III, IV. Объяснительная записка.

15. Р е ш е н и я 2-го межведомственного регионального стратиграфического совещания по докембрию и фанерозое Северо-Востока СССР (Магадан, 1974-1975 гг.). Магадан, 1978.

16. Север Дальнего Востока. - Тр.СВКНИИ АН СССР. Наука, 1970.

17. Тильман С.М., Белый В.Ф., Николаев -  
ский А.А., Шило Н.А. Тектоника Северо-Востока СССР  
(объяснительная записка к тектонической карте Северо-Востока  
СССР масштаба 1:200 000). - Тр.СВКНИИ СО АН СССР. Магадан, 1969.

18. Трунов Б.Д. Геологическая карта СССР масштаба  
1:200 000. Серия Анадырская, лист Q-59-XXI, ХХII. Объяснительная  
записка. Магадан, 1977.

19. Филатова Н.И., Лебедев Е.Л. Сенонские  
отложения Охотско-Чукотского вулканогенного пояса. - Изв.  
АН СССР, 1982, № 10.

20. Чубаров В.И., Вяткин Б.В. Геологическая  
карта СССР масштаба 1:200 000. Серия Анадырская, листы  
Q-60-УП, УШ; Q-60-IX, X. Объяснительная записка.

Фондовая <sup>X/</sup>

21. Амерханов В.И. Отчет о работе Пыкарваамской  
аэромагнитной партии масштаба 1:50 000 за 1975 г., 1976,  
№ 018623.

22. Белый В.Ф., Адексон В.В., Сергеева  
Т.М. Отчет о работе Верхне-Эмзыаамской геологосъемочной партии  
масштаба 1:500 000 за 1958 г., 1959, № 012668.

23. Бобровников В.А., Яковлев В.П.,  
Лимонов С.А. Отчет о результатах гравиметрической съемки  
масштаба 1:200 000 в северной части Эвенской вулканической зоны.  
Листы: Q-59-IX, X, XI, XII, XУ, XII, XУП, XУШ, XXII (Эмзыаам-  
ский гравиметрический отряд, 1978-1980 гг.). 1980, № 020290.

24. Воропило А.А. Отчет о работе Чаумской аэро-  
магнитной партии масштаба 1:200 000 за 1961 г., 1962, № 0791.

25. Желтовский В.Г. Промежуточный отчет о работе  
I Эмзыаамской геологосъемочной партии масштаба 1:200 000 за  
1968 г., 1969, № 015572.

26. Карпичев В.Ф., Мосиягин Е.И. Отчет о ра-  
боте Чирковской геологосъемочной партии масштаба 1:500 000 за  
1957 г., 1958, № 012212.

27. Карпичев В.Ф. Отчет о работе Ермуквеемской  
геологосъемочной партии масштаба 1:500 000 за 1958 г., 1959,  
№ 012769.

28. Преловский А.П. Отчет о работе Кайэнзыаам-  
ской геологосъемочной партии масштаба 1:200 000 за 1965 г.,  
1966, № 14851.

29. Редкий Б.А. Отчет о работе Илернейской грави-  
метрической партии масштаба 1:1 000 000 за 1970 г., 1971,  
№ 1364.

30. Скориков Р.А. Отчет о работе Ермуквеемской  
аэромагнитной партии масштаба 1:50 000 за 1974 г., 1975,  
№ 018357.

31. Филатова Н.И. Отчет по космофотогеологическому  
картированию масштаба 1:1 000 000 северо-восточной части Охот-  
ско-Чукотского вулканогенного пояса и обрамляющих структур.  
Листы Q-59, 60, I; Q-57, 58, 59, 60, I; P-57-58, 59."Союзгеоз-  
фонд", 1981, № 020679.

32. Чубаров В.И. Отчет о геологической съемке мас-  
штаба 1:200 000 на листах Q-59-X, XI, XII, XУ, XУП, XУШ;  
Q-60-УП, УШ, IX, X за 1972-1977 гг. Мухоморинский групповой  
отряд. 1978. № 019631.

<sup>X/</sup> Работы хранятся в фондах Северо-Восточного ГГО.

## Приложение

## СПИСОК

проявлений, пунктов минерализации, геохимических аномалий и шлиховых ореолов, показанных на листах Q-59-X, Q-59-XI, XII карты полезных ископаемых масштаба 1:200 000

Индекс клетки на карте	№ на карте	Вид полезного ископаемого и его место-нахождение	Ссылка на литературу (номер по списку)	Примечание
I	2	3	4	5
<b>Лист Q-59-X</b>				
<b>МЕТАЛЛИЧЕСКИЕ ИСКОПАЕМЫЕ</b>				
<b>Ртуть</b>				
I-4	I	Бассейн р.Чануваам	32	Шлиховой ореол киновари
II-1	I	Междуречье Прав.Угат-хын - Анадырь	32	То же
II-4	3	Бассейн руч.Снежного	32	"
III-1	I	Верховье р.Кайырвыаам	32	"
<b>Золото, серебро</b>				
II-4	I	Левобережье р.Энмываам	32	Обломки жильного кварца в деловом (пункт минерализации)
II-4	2	Там же	32	То же
<b>Золото</b>				
III-4	I	Правобережье р.Энмываам	32	Шлиховой ореол
IV-1	2	Правобережье р.Анадырь	32	То же
IV-4	I	Правобережье р.Гытгыныльваам	32	"

I	2	3	4	5
IV-I	I	Серебро Правобережье р.Анадырь	32	Обломки жильного кварца в деловом (пункт минерализации)
<b>Лист Q-59-XI, XII</b>				
<b>МЕТАЛЛИЧЕСКИЕ ИСКОПАЕМЫЕ</b>				
<b>Ртуть</b>				
I-I	I	Верховье р.Энмываам	32	Шлиховой ореол киновари
<b>Золото, серебро</b>				
II-2	2	Верховье р.Куйвивеем	32	Обломки жильного кварца в деловом (пункт минерализации)
II-2	3	Там же	32	То же
II-2	4	"	32	Зона кварцевых жил (явление)
II-2	5	"	32	Обломки жильного кварца в деловом (пункт минерализации)
II-2	6	"	32	То же
III-I	2	Правобережье р.Энмываам	32	Вторичные кварциты, пронизанные сетью кварцевых прожилков (пункт минерализации)
III-I	4	Там же	32	Обломки жильного кварца в деловом (пункт минерализации)

I	2	3	4	5
III-3	I	Правобережье р.Глубокой	25	То же
III-4	I	Там же	25	"
IV-I	I	Левобережье р.Кайзымызаам	28	"
IV-I	2	Там же	28	"
Золото				
II-2	I	Верховье р.Куйвыеем	32	Шлиховой ореол
III-I	I	Бассейн р.Кайзымызаам	32	То же
III-I	3	Правобережье р.Энзызаам	32	Геохимическая аномалия
IV-I	3	Бассейн р.Кайзымызаам	28	Шлиховой ореол
Серебро				
II-2	7	Верховье р.Куйвынэрэт- веем	32	Обломки жиль- ного кварца в деловине (пункт мине- рализации)

В брошюре пронумеровано 113 стр.

Редактор И.С.Дудорова  
Технический редактор Т.А.Ушакова  
Корректор И.И.Богданович

Сдано в печать 22.10.87.

Подписано к печати 20.03.89.

Тираж 148 экз. Формат 60x90/16 Печ.л. 7,25 Заказ 79с

Центральное специализированное  
производственное хозрасчетное предприятие  
объединения "СоюзгеоЛФонд"